

UNIVERZA V LJUBLJANI
FAKULTETA ZA MATEMATIKO IN FIZIKO

Pedagoška matematika

Terezija Krečič

**ORIGAMI KONSTRUKCIJE IN REŠEVANJE
ENAČB S PREPOGIBANJEM PAPIRJA**

Magistrsko delo

Mentor: prof. dr. Aleš Vavpetič

Ljubljana, 2025

Zahvala

Neobvezno. Zahvaljujem se ... **DOPIŠI**

Kazalo

1	Uvod	1
2	Evklidske in origami konstrukcije	3
2.1	Evklidovi postulati in evklidske konstrukcije	3
2.2	Origami konstrukcije	4
2.2.1	Origami operacije	5
2.2.2	Zadostne in potrebne origami operacije	9
2.2.3	Zrcaljenje točke čez premico	10
2.3	Zakaj origami konstrukcije nadvladajo evklidske	12
2.3.1	Algebrski pogled na evklidske konstrukcije	13
2.3.2	Origami števila	14
3	Prepogibanje kvadrata	18
3.1	Nekaj kratkih in zanimivih konstrukcij za uvod	18
3.2	Hagovi izreki	19
3.2.1	Prvi Hagov izrek	19
3.2.2	Drugi Hagov izrek	22
3.2.3	Tretji Hagov izrek	23
3.3	Razdelitev daljice na n enakih delov	25
3.4	X -pregibi	27
3.5	Reševanje nerešljivih starogrških problemov	28
3.5.1	Podvojitev kocke	28
3.5.2	Trisekcija kota	31
4	Konstrukcija pravih n-kotnikov	36
5	Pregibanje tangent na stožnice	37
5.1	Krožnica	37
5.2	Parabola	38
5.3	Elipsa	40
5.4	Hiperbola	41
6	Reševanje enačb	44
6.1	Reševanje kvadratne enačbe preko tangente na parabolo	45
6.2	Lillova metoda in Belochin pregib	47
6.2.1	Reševanje kubične enačbe z Belochinim postopkom	47
6.2.2	Reševanje dveh starogrških problemov z Belochinim postopkom	53
6.2.3	Reševanje kvadratne enačbe z Lillovo metodo	54
6.2.4	Hatorijeva konstrukcija	54
6.3	Kubična in kvartična enačba v afini ravnini	55
6.4	Alperinova rešitev	60
7	Alhazenov problem	61
8	Origami konstrukcije z več hkratnimi prepogibi	62

9	Zaključek	63
	Literatura	65

Program dela

Mentor naj napiše program dela skupaj z osnovno literaturo. **ZA DOPISAT!**

Osnovna literatura

1. T. C. Hull, *Origametry: mathematical methods in paper folding*, Cambridge University Press, 2020, dostopno na <https://books.google.si/books?id=LdX7DwAAQBAJ>.

Podpis mentorja:

Origami konstrukcije in reševanje enačb s prepogibanjem papirja

POVZETEK

Tukaj napišemo povzetek vsebine. Sem sodi razlaga vsebine in ne opis tega, kako je delo organizirano. NAPIŠI!

Origami constructions and solving equations by paper-folding

ABSTRACT

An abstract of the work is written here. This includes a short description of the content and not the structure of your work. NAPIŠI!

Math. Subj. Class. (2020): 51M05, 11R04, 14N05

Ključne besede: prepogibanje papirja, origami operacije, origami konstrukcije, origami števila, Hagovi izreki, trisekcija kota, podvojitev kocke, prepogibanje tangent na stožnice, Belochin pregib, Lillova metoda, reševanje enačb

Keywords: Dopolni po slovensko in prevedi tukej

1 Uvod

Začnimo z odzivom mojih prijateljev in sorodnikov, ko so izvedeli, da bom v svoji magistrski nalogi pisala o origamiju. Velika večina jih je bila zelo presenečena, saj si sploh ni predstavljala, da se v prepogibanju papirja skriva matematika. Kar je razumljivo, saj običajno ljudje, ki se s to kraljico znanosti po srednješolskem izobraževanju prenehajo aktivneje ukvarjati, njenega vpliva na vse okoli nas ne opazijo.

In resnica je, da se v origamiju razkriva toliko matematike, da je v tej nalogi ni bilo mogoče zajeti v celoti. Ne da se niti oceniti, kolikšen delež je tu opisan, saj se origami ne dotika le – že tako izjemno širokega – področja geometrije, temveč tudi analize, teorije števil, abstraktne algebre, diferencialne topologije ... Prav tako njegova uporaba zajema široko polje znanosti in inženirstva – od arhitekture in robotike do fizike in astrofizike, če naštejemo le nekaj primerov. Kdo bi si mislil, da lahko origami uporabimo za zlaganje šotorov in ogromnih kupol nad športnimi stadioni ali celo za pošiljanje solarnih objektov v vesolje? [12, str. 3–5].

Origami je umetnost prepogibanja papirja, ki se razvija že več kot tisočletje (trdnih dokazov o zlaganju papirja, kot ga poznamo danes, do pred letom 1600 po Kr. ni). Oblikovanje oblik iz lista papirja se je do konca 20. stoletja hitro razširilo po vsem svetu [25]. Matematični vidik origamija je v ospredje prišel nekoliko kasneje. V 19. stoletju je nemški učitelj Friedrich Froebel (1782–1852) v prepogibanju papirja opazil visoko pedagoško vrednost, kar je uporabil pri poučevanju osnovne geometrije v vrtcu. Indijski matematik Tandalam Sundara Row je nato l. 1893 izdal obsežno knjigo *Geometric Exercises in Paper Folding* [30], v kateri popisuje konstrukcije raznolikih geometrijskih likov in celo krivulj. Velik prelom je dosegla italijanska matematičarka Margherita P. Beloch, ki je v 30-ih letih 20. st. odkrila, da lahko s prepogibanjem papirja rešujemo celo kubične enačbe. Vseeno je preteklo še pol stoletja, da je origami začel zanimati tudi širšo znanost, od takrat pa se je na tem področju odprlo veliko priložnosti za raziskovanje koncepta origamija in njegovo uporabo v najrazličnejših strokah [12, str. 10].

Ravno uporaba origamija v pedagoške namene je tista, ki nas v tej nalogi še posebej zanima. Prepričana sem, da lahko praktična izkušnja prepogibanja papirja za namen reševanja problemov učence bolj motivira, saj je to neka nova oblika dela, ki je niso vajeni, hkrati pa zahteva spretnost in natančnost. Poleg fine motorike z origamijem krepimo tudi raziskovalno delo učencev ter odkrivanje in uporabo geometrijskih načel in pravil v praksi. Še zdaleč ne bomo zajeli vsega, kar bi lahko v šoli s prepogibanjem papirja počeli, vendar je kljub vsemu v nalogi vključenih veliko primerov, predvsem tistih iz geometrijskega področja.

Največja motivacija za to nalogo je, da je literature v slovenskem jeziku, ki vključuje uporabo origamija pri pouku matematike, zelo malo. Na to temo je spisanih nekaj člankov, seminarskih nalog ter diplomskih in magistrskih del, strokovnih knjig v slovenščini iz tega področja pa nisem našla. Ta naloga zajema predvsem uporabo origamija za namene raziskovanja geometrije ter reševanja enačb in vključuje veliko slik z orisanimi konstrukcijami. Me ddrugim je namenjena uporabi pri pouku matematike ali matematičnem krožku. Opisane matematične teme so namreč dovolj enostavne, da se jih večinoma da predelati v eni šolski uri. Zato iskreno upam, da bo naloga koristila še kateremu pedagogu, ki bi si želel svoj pouk matematike popestriti na nov in zanimiv način.

V geometriji preko Evklidovih postulatov ter uporabe znamenitih evklidskih orodij raziskujemo, kaj vse lahko v evklidski ravnini skonstruiramo brez uporabe drugih pravil ali orodij. V prvem poglavju si bomo pogledali podobnosti med evklidskimi in origami konstrukcijami in ugotovili, da lahko z origamijem konstruiramo več, kot lahko z neoznačenim ravnilom in šestilom. To bomo pokazali tudi s spustom na algebrائیčno ozadje konstrukcij.

V drugem poglavju bomo v roke prijeli kvadraten list papirja in spoznali nekaj osnovnih konstrukcij – enakostraničnega trikotnika in kota 60° , kvadratnega korena poljubnega števila; pogledali si bomo tudi vse tri Hagove izreke, s katerimi njihov avtor raziskuje, v kakšnem razmerju lahko razdelimo stranice kvadrata, če opravimo določene prepogibe, potem pa bomo to posplošili na iskanje postopka razdelitve stranice na poljubno število enakih delov. Zaključili bomo z več konstrukcijami, ki nam rešijo dva starogrška problema, ki ju z evklidskim orodjem ne moremo rešiti – problem trisekcije kota ter podvojitve kocke, torej konstrukcije števila $\sqrt[3]{2}$. Izkaže se, da lahko problema rešimo celo na več različnih načinov!

Sledi kratko poglavje o konstrukcijah pravilnih n -kotnikov (tu še ne vem, a bom vključila ali ne). Potem sledi didaktično zanimivo področje, v katerem spoznamo (ali osvežimo spomin), kako s prepogibanjem papirja točke na določeno premico ali krožnico konstruiramo tangente na vse štiri stožnice in s tem na papirju dobimo njihov obris.

Najbolj zanimivo in obsežno poglavje pa je reševanje enačb s prepogibanjem papirja. Ko v prvem poglavju spoznamo, katera števila lahko konstruiramo z origamijem, tu znanje nadgradimo in spoznamo več metod, s katerimi lahko rešujemo splošne kvadratne in kubične enačbe ter celo nekatere enačbe četrte stopnje.

Potem je še poglavje o Alhazen's problem in 2-fold origami, ampak še ne vem, koliko bom tega vključila. Nekaj bi še, ker do zdaj ni neke pretežke matematike za FMF tukej noter, ampak bom še videla. Do zdaj se ukvarjamo samo z 1-fold origamijem, torej da prepogneš in takoj poravnáš papir nazaj.

Ker je naloga spisana z namenom morebitne uporabe pri pouku srednješolske (lahko tudi osnovnošolske) matematike, je v njej zajetih veliko tem, ki bi bile razumljive tudi bralcem, ki nimajo veliko znanja univerzitetne matematike. Vseeno se na nekaterih področjih dotaknemo tudi konceptom, ki dijakom načeloma niso znani (npr. afina in projektivna geometrija pri metodi reševanja enačbe četrte stopnje). (in mogoče še potem, če vključiš zadnji dve poglavji, ki res nista enostavni)

Zapustimo sedaj jezerce umetelno prepognjenih ladji in žerjavov ter se podajmo na širne vode globokega oceana matematičnega origamija.

2 Evklidske in origami konstrukcije

Kraj in čas izvora origamija nista jasno določena. Nekateri viri zatrjujejo, da izhaja iz Japonske, drugi ga pripisujejo Kitajski, tretji se ne strinjajo z nobeno od teh dveh možnosti. Verjetno so umetnost zlaganja odkrili še pred izumom papirja, za katerega je l. 105 po Kr. poskrbel kitajski dvorni uradnik Cai Lun, saj se da npr. zlagati tudi robce iz blaga [25]. Je pa papir idealen material za zlaganje. Japonska beseda *origami* kot umetnost zgibanja papirja (“oru” – prepogibati, “kami” – papir) se je na Daljnem vzhodu začela uporabljati proti koncu 19. stoletja.

Povečano zanimanje za origami v matematiki se je začelo v 2. pol. 20. stoletja in s seboj prineslo množično izhajanje literature o povezavi origamija z matematiko, fiziko, astronomijo, računalništvom, kemijo in še mnogimi drugimi vedami [31]. V angleščini je tako za matematično raziskovanje s prepogibanjem papirja nastalo poimenovanje “*origamics*”. V slovenščini uradnega prevoda še ni, Grahor pa v [21, str. 5] po zgledu poimenovanj veliko znanstvenih disciplin (*mathematics* – matematika, *physics* – fizika itd.) predlaga termin “origamika”.

2.1 Evklidovi postulati in evklidske konstrukcije

Preden si pogledamo, kaj lahko s prepogibanjem papirja konstruiramo, se spomnimo, na čem temelji evklidska geometrija. Za njenega očeta štejemo grškega matematika Evklida¹, ki je napisal zelo znano zbirko trinajstih knjig pod skupnim imenom *Elementi*. V njih obravnavana snov temelji na strogo logični izpeljavi izrekov iz definicij², aksiomov³ in postulatov⁴. Še danes večina osnovno- in srednješolske geometrije izvira prav iz prvih šestih knjig Elementov.

Prva knjiga nas še posebej zanima. V njej je Evklid najprej definirал osnovne pojme – točka, premica, površina, ravnina, ravninski kot, pravi kot, ostri kot, topi kot, krog, središče kroga, premer, enakostranični in enakokraki trikotnik, kvadrat ... ter nazadnje upeljal še pojem vzporednih premic [11]. Nato je zapisal znamenitih pet postulatov, iz katerih izhaja vsa evklidska geometrija:

Postulat P1. Med dvema poljubnima točkama je mogoče narisati ravno črto.

Postulat P2. Vsako ravno črto je mogoče na obeh koncih podaljšati.

Postulat P3. Mogoče je narisati krožnico s poljubnim središčem in poljubnim polmerom.

Postulat P4. Vsi pravi koti so med seboj skladni.

¹O življenju tega aleksandrijskega učenjaka ne vemo nič gotovega, je pa zelo verjetno živel za časa prvega Ptolemaja (faraon v času 306–283 pr. Kr.) [4, str. 61].

²*Definicija* je nedvoumno jasna opredelitev novega pojma.

³*Aksiom* je temeljna resnica ali načelo, ki ne potrebuje dokazov (oz. dokaz sploh ne obstaja) in vedno velja.

⁴*Postulat* je predpostavka oz. zahteva. Evklid med aksiomi in postulati ni postavil jasne razlike, Aristotel pa je postulat od aksioma ločil po tem, da gre pri prvem bolj za hipotezo kot temeljno resnico, vendar se njene veljavnosti ne dokazuje, temveč privzame kot veljavno [11, str. 122]. V primeru petega Evklidovega postulata se bomo spomnili, da nam to, ali ga privzamemo ali ne, poda različne geometrije. Danes med pojmomoma ne ločujemo [22, str. 2].

Postulat P5. Če poljubni ravni črti sekamo s tretjo ravno črto (prečnico) in je vsota notranjih kotov eni strani prečnice manjša od dveh pravih kotov, potem se dani premici, če ju dovolj podaljšamo, sekata na tej strani prečnice.

Opomba 2.1. Vemo že, da je postulat P5 ekvivalenten *aksiomu o vzporednicah*, ki pravi, da skozi dano točko, ki ne leži na dani premici, poteka natanko ena vzporednica k tej premici.

Definicija 2.2. *Evklidske konstrukcije* so konstrukcije točk, daljic, premic, krožnic in tistih geometrijskih objektov, ki jih je mogoče konstruirati le z uporabo t. i. *evklidskih orodij*:

- neoznačeno in neskončno dolgo ravnilo (angl. *straightedge*) in
- šestilo, ki ne prenaša razdalj (ko ga dvignemo od podlage, se njegova kraka zložita skupaj).

Opomba 2.3. Da se pokazati, da lahko za konstrukcije ekvivalentno uporabimo tudi šestilo, ki prenaša razdalje [22, str. 6–7]. Zato imamo odslej z izrazom *šestilo* v mislih kar moderno šolsko šestilo.

Konstrukcije iz definicije temeljijo na postulatih P1–P3. Vendar je to dovolj, da lahko le z neoznačenim ravnilom in šestilom konstruiramo premice, kote, simetrane kotov in daljic, krožnice, nekatere geometrijske like in še kaj.

Izkaže pa se, da z evklidskim orodjem ne moremo konstruirati česar koli – kot zelo znane primere lahko tu naštejemo tri starogrške probleme. Pri *kvadraturi kroga* nam evklidsko orodje ne zmore konstruirati razdalje $\sqrt{\pi}$, pri *podvojitvi kocke* razdalje $\sqrt[3]{2}$, pri *trisekciji kota* ne zmore poljubnega kota razdeliti na tri enake dele. Drugi in tretji problem sta, verjetno za marsikoga presenetljivo, rešljiva z origamijem. V razdelku 3.5 si bomo pogledali njuni rešitvi, sedaj pa podrobneje spoznajmo še konstrukcije, ki jih dobimo s prepogibanjem papirja.

2.2 Origami konstrukcije

V nalogi se bomo omejili le na prepogibanje v ravnini in se z trodimenzionalni modeli ne ukvarjamo. Bralec je ob branju povabljen, da opisane konstrukcije praktično preizkusi tudi sam. Pri izbiri papirja je priporočljiv rahlo prosojen papir, skozi katerega se vidijo morebitne označbe točk in premic s svinčnikom (npr. navaden kuhinjski papir za peko).

Bistvo origamija je, da prepogibamo list papirja, ki nam služi kot model evklidske ravnine, vendar si moramo določiti nekaj pravil:

- konstruiramo le *ravne* pregibe,
- pregibe opravljamo *po enega naenkrat*, torej po vsakem pregibu papir nazaj razgrnemo,
- ne uporabljamo drugih orodij, kot so škarje, lepilo ipd.,

- pomožne točke, za katere vemo, da jih znamo konstruirati, ampak bi nam pomožni pregibi zmanjšali preglednost konstrukcije, lahko označimo s pisalom (npr. zrcaljene točke v nadaljevanju). Prav tako lahko že konstruirane točke in premice s pisalom in s pomočjo ravnila močneje poudarimo.

Ker so pregibi ravni, nam služijo kot modeli premic, modeli točk pa so njihova presečišča. Dogovorimo se še, da ne opravljamo naključnih pregibov, temveč papir prepogibamo tako, da se objekti na njem (točke in premice) prekrijejo. Zato moramo na začetku imeti na listu že nekaj danih objektov (npr. dve različni točki ali premico in točko, ki ne leži na njej). Če poskusimo razmisliti, kaj so potem vsi možni dovoljeni prepogibi, pridemo do sledečih petih možnosti (za njihov slikovni prikaz gl. [12, str. 25–26]):

- točko prepognemo na drugo točko (en možen pregib),
- točko prepognemo samo vase (neskončno možnih pregibov),
- točko prepognemo na premico (neskončno možnih pregibov),
- premico prepognemo na drugo premico (en ali dva možna pregiba) in
- premico prepognemo samo vase (neskončno možnih pregibov).

Definicija 2.4. *Origami konstrukcije* so konstrukcije točk, premic in tistih geometrijskih objektov, ki jih je mogoče konstruirati le z ravnimi in enkratnimi prepogibi iz zgornjega seznama.

2.2.1 Origami operacije

V zadnjem stoletju se je preko več matematikov (Jacques Justin, Peter Messer, Benedetto Scimemi, Humiaki Huzita, Koshiro Hatori, George E. Martin idr.; nekateri so med seboj sodelovali, drugi so delovali neodvisno) skozi čas izoblikoval seznam t. i. *origami operacij*⁵, ki zajamejo vseh pet možnosti prepogibanja. Da so to zadostne operacije za katerokoli origami konstrukcijo, si bomo pogledali v razdelku 2.2.2.

Seznam se je med avtorji razlikoval v številu (gl. [12, str. 29–30]), kot končen seznam pa bomo tu navedli vseh osem naštetih – na prvi pogled različnih – operacij. Najprej jih naštejmo, potem pa si ob sledečih slikah pogledjmo še prikaz opisanih konstrukcij. Videli bomo, da moramo pri nekaterih operacijah ločiti več primerov [26, 31].

Operacija O1. Za poljubni točki A in B obstaja natanko en pregib p , ki gre skozi nj.

Operacija O2. Za poljubni premici lahko določimo njuno presečišče, če obstaja.

Operacija O3. Za poljubni točki A in B obstaja natanko en pregib p , da se točki pokrijeta.

⁵Najbolj znanih pod imenom *Huzita-Hatori aksiomi*, vendar izraz *aksiom* tu ni primeren, saj bomo kmalu pokazali, da se med seboj prepletajo so nekateri izmed njih kombinacija drugih. Prav tako v nalogi opustimo ime avtorjev, ker je seznam delo veliko več matematikov kot le Hatorije in Huzite.

Operacija O4. Za poljubni premici a in b obstaja pregib p , ki ju položi eno na drugo.

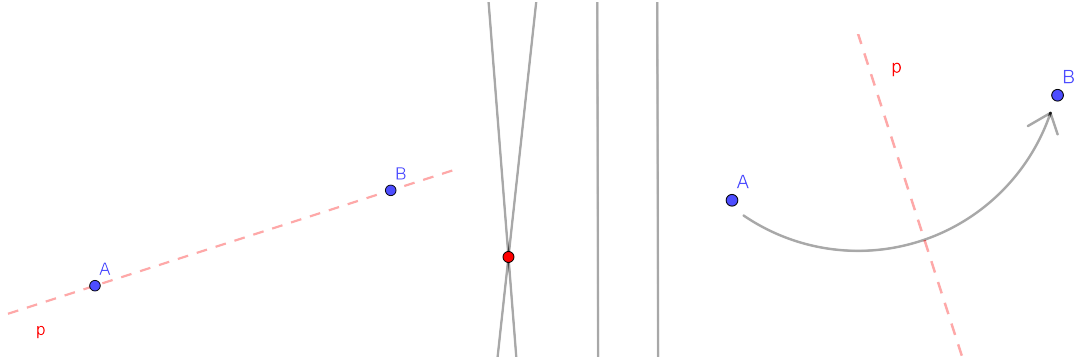
Operacija O5. Za poljubno točko A in premico a obstaja natanko en pregib p skozi točko A , ki je pravokoten na premico a .

Operacija O6. Za primerno izbrani točki A in B ter premico a obstaja pregib p skozi točko B , ki točko A položi na premico a .

Operacija O7. Za primerno izbrani točki A in B ter premici a in b obstaja pregib p , ki točko A položi na premico a in točko B na premico b .

Operacija O8. Za poljubno točko A ter nevzporedni premici a in b obstaja pregib p , ki je pravokoten na premico b in točko A položi na premico a .

Sedaj za vsako operacijo posebej pogledimo njeno konstrukcijo. Takoj opazimo, da je operacija O1 ekvivalentna postulatu P1, kar nam lahko vzbudi zanimanje za povezavo med evklidskimi in origami konstrukcijami. Operacija O2 je izvedljiva v vsakem primeru nevzporednih pregibov in nam omogoča določitev novih točk v našem modelu ravnine. Operacija O3 pa nam poda konstrukcijo simetrale daljice AB (slika 1) – ko opravimo pregib in pustimo papir še zapognjen, je očitno, da so točke na pregibu enako oddaljene od točk A in B .

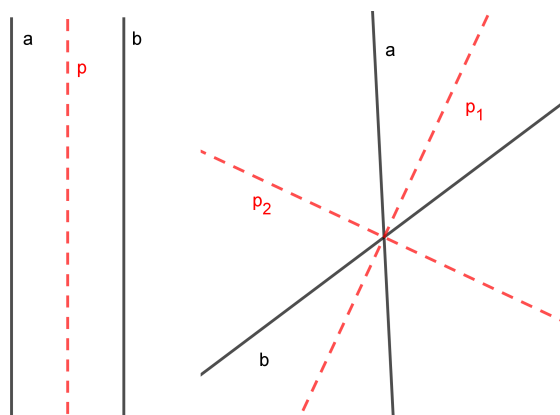


Slika 1: Operacije (od leve proti desni) O1, O2 in O3.

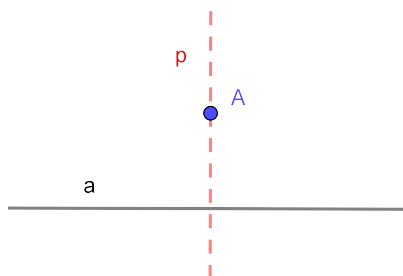
Nadalje opazimo, da nam operacija O4 konstruira obe simetrali kota, ki ga določata premici in njuno presečišče, v primeru vzporednih premic pa dobimo tretjo vzporednico, ki leži na sredi med njima (slika 2). Zato sta tu možna po dva ali, v posebnem primeru, en pregib.

Operacija O5 nam podaja konstrukcijo pravokotnice na premico skozi dano točko (slika 3). Pri tem je vseeno, ali točka leži na premici ali ne. Pregib opravimo tako, da premico položimo samo nase in pazimo, da je točka A v pregibu. Zaradi simetrije je pregib res pravokoten na premico in tako tudi en sam.

Operacija O6 je še posebej zanimiva. Najprej si pogledimo njeno konstrukcijo. Vzemimo točki A in B ter premico a . Iščemo pregib skozi B , ki A položi na premico a . Ker točka B leži na pregibu, je enako oddaljena tako od točke A kot tudi njene slike A' na premici a , torej je A' ravno presečišče premice a in krožnice s središčem v B ter polmerom AB . Pregib je simetrala daljice AA' , ki po konstrukciji poteka skozi točko B . Če velja $d(A, B) > d(B, a)$, sta presečišči s premico a dve (in s tem

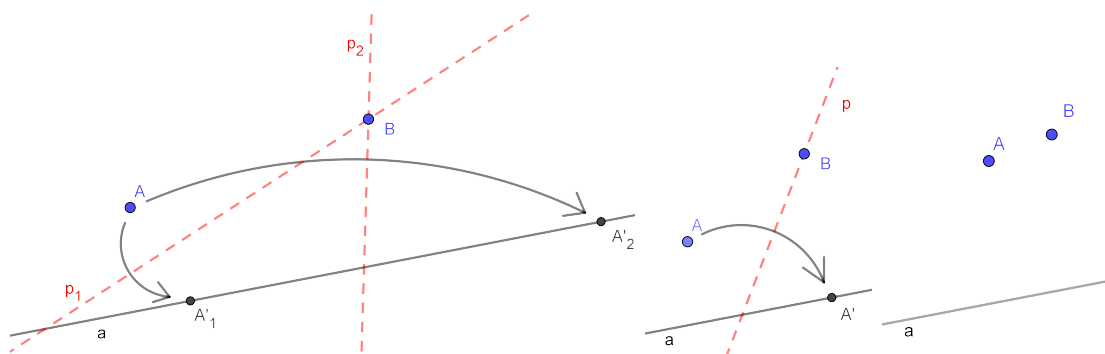


Slika 2: Operacija O4 v obeh možnih primerih.



Slika 3: Operacija O5.

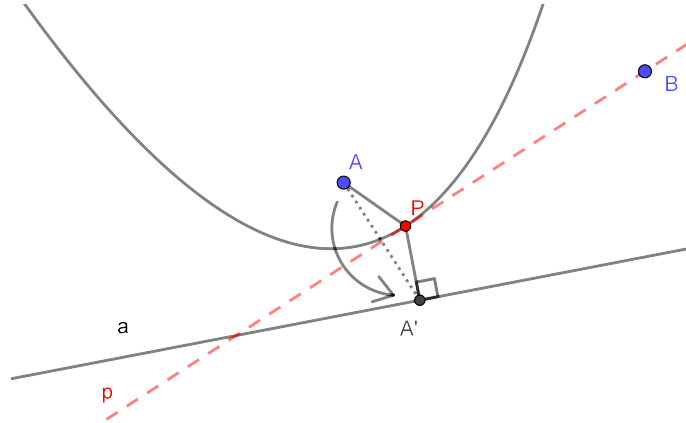
tudi dva možna pregiba, gl. sliko 4 levo), v primeru $d(A, B) = d(B, a)$ je presečišče eno samo (in s tem en možen pregib, gl. sliko 4 na sredi) in je premica a takrat tangenta na omenjeno krožnico, v zadnjem primeru, ko velja $d(A, B) < d(B, a)$, pa presečišč ni (in s tem tudi pregiba, gl. sliko 4 desno).



Slika 4: Operacija O6 v vseh treh primerih.

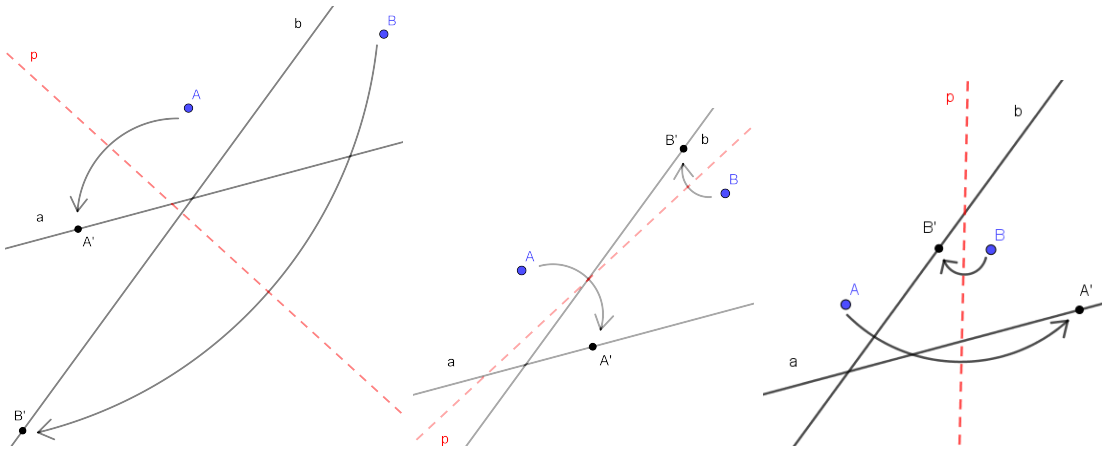
Zgodba operacije O6 se tu še ne zaključí. Ker na pregibu ležijo vse točke, ki so enako oddaljene od točke A in A' , to velja tudi za točko P , ki jo dobimo kot presečišče pregiba in pravokotnice na premico a skozi A' (slika 5). Zanja velja $d(A, P) = d(P, a)$ in je enolično določena (v srednjem primeru na sliki 4 je to kar točka B). Torej točka P leži na paraboli z goriščem A in premico vodnico a . Bralec lahko sam premisli, da je P edina točka na pregibu, ki je enako oddaljena od gorišča in premice vodnice. Pregib torej seka parabolo le v eni točki, kar pomeni, da je to

tangenta na to parabolo. V levem primeru na sliki 4 smo dobili dve tangenti.



Slika 5: Operacija O6 kot konstrukcija tangente na parabolo z goriščem v A in premico vodnico a .

Poglejmo si naslednjo operacijo. Konstrukcijo O7 začnemo z upogibom papirja, ki točko A položi na premico a , potem pa točko premikamo po premici, dokler se tudi točka B ne stakne s premico b . Takrat naredimo pregib. Na sliki 6 so prikazani trije pregibi, kar je tudi največje možno število pregibov za iste točke in premice. Več o številu pregibov sledi v razdelku 6.2.

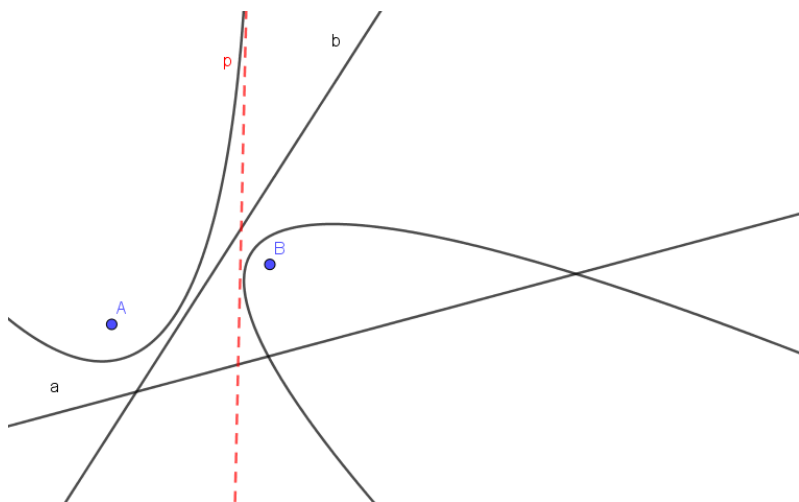


Slika 6: Operacija O7 (primer treh pregibov za isti točki in premici).

Kaj je geometrijski pomen te operacije? Če smo pri operaciji O6 dobili tangento na parabolo, potem lahko takoj vidimo, da pri operaciji O7 dobimo *skupno tangento na dve paraboli* – ena ima gorišče v točki A in premico vodnico a , druga pa gorišče v točki B ter premico vodnico b (slika 7).

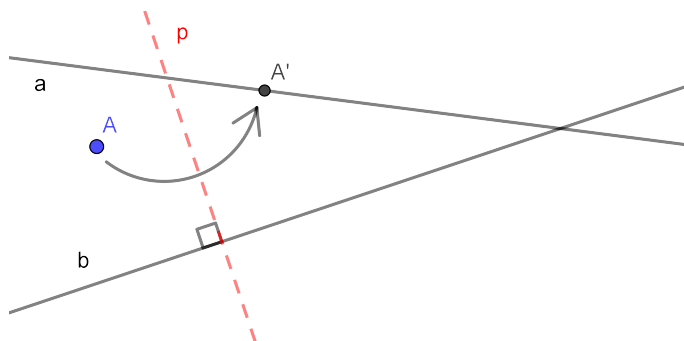
Opomba 2.5. O operaciji O7 naj bi prva pisala italijanski matematičarki Margherita P. Beloch, po kateri operacijo imenujemo tudi *Belochin pregib*.

Zadnja operacija O8 zahteva nevzporedni premici, saj v nasprotnem primeru ne moremo konstruirati pregiba, ki bi bil pravokoten na obe premici in točko A položil na premico a (razen če le-ta že leži na njej). Premislimo geometrijsko konstrukcijo:



Slika 7: Operacija O7 kot konstrukcija skupne tangente na dve paraboli.

ker mora biti pregib pravokoten na premico b , bo slika točke A (označena z A') ležala na vzporednici skozi točko A k premici b . Prav tako mora točka A' ležati na premici a , torej je slika ravno presečišče omenjene vzporednice in premice a . Iskan pregib je simetrala daljice AA' , ki je po konstrukciji pravokoten na premico b (slika 8).



Slika 8: Operacija O8.

Opomba 2.6. Natančen bralec lahko opazi, da nam origami operacije ne podajajo konstrukcije slik točk, temveč samo pregibe, ki točke preslikajo na premice. Sliko točke konstruiramo šele po uporabi operacije O5 – skozi originalno točko naredimo pregib, pravokoten na prvi pregib (iz O6), in slika je potem presečišče pravokotnice in premice, na katero smo prepognili originalno točko.

2.2.2 Zadostne in potrebne origami operacije

Omenili smo že, da je teh osem operacij zadostnih za katerokoli origami konstrukcijo.

Izrek 2.7. Če dovolimo le enkratne in ravne pregibe, so edine možne operacije prepogibanja operacije O1–O8.

Ideja dokaza je, da za vsak možen prepogib, ki prekrije točko ali premico s točko ali premico (gl. seznam petih možnosti na začetku razdelka 2.2) pogledamo

vse možnosti. Izkaže se, da res dobimo prepogibe iz operacij O1–O8. Za natančen dokaz s slikovno ponazoritvijo gl. [12, str. 24–26 (izrek 1.1)] (**Lahko tu dokažeš?**).

Vendar ali so vse te operacije tudi potrebne ali lahko kakšno izpustimo? Operacija O2 je očitno potrebna, saj nam določa nove točke. Če podrobneje opazujemo ostale konstrukcije, pa opazimo, da so vse posebni primeri operacije O7 (t. j. konstrukcija pregiba, ki točko A položi na premico a in točko B na premico b), ko premici a in b sovpadata ali ko ena ali obe izmed točk A in B ležita na premici:

- Operacija O1: Naj točka A leži na premici a , točka B pa na premici b . Pregib skozi točki A in B točko A ohrani na premici a in točko B na premici b .
- Operacija O3: Naj točka A leži na premici b , točka B pa na premici a . Pregib, ki položi točki drugo na drugo, točko A položi na premico a in hkrati točko B na premico b .
- Operacija O4: Naj točka A leži na premici b , točka B pa na premici a . Simetrala kota v presečišču premic (ali vmesna vzporednica, če sta premici a in b vzporedni), točko A položi na premico a in hkrati točko B na premico b .
- Operacija O5: Naj točka A leži na premici a , točka B pa na premici b . Pregib skozi točko A (ali B), ki je pravokoten na premico b (ali a), točko A ohrani na premici a in točko B na premici b .
- Operacija O6: Naj točka B leži na premici b . Pregib skozi točko B , ki točko A preslika na premico a (če tak pregib obstaja), točko B ohrani na premici b .
- Operacija O8: Naj točka B leži na premici b . Pregib, ki točko A položi na premico a in je pravokoten na premico b , točko B ohrani na premici b .

Ker lahko vse konstrukcije po izreku 2.7 opišemo z operacijami O1–O8, smo s tem dokazali spodnji izrek:

Izrek 2.8. *Če imamo dani vsaj dve točki in dve nevzporedni (lahko tudi identični) premici, ki vsebujeta dane točke, potem lahko vse origami konstrukcije z enkratnimi in ravnimi pregibi opišemo s kombinacijo operacij O2 in O7.*

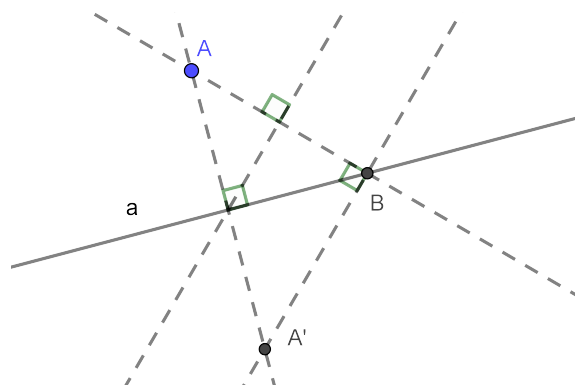
Vseeno bomo ohranili vseh osem aksiom operacij, saj bomo kakšen pregib lažje razložili preko ene od ostalih petih operacij kot pa opisovali, na kakšen način je to operacija O7.

2.2.3 Zrcaljenje točke čez premico

Operacija O3 nam poda simetralo daljice AB . Torej je točka B zrcalna slika točke A čez to premico. Kaj pa, če imamo za neko točko A že dano premico a in iščemo njeno zrcalno sliko? Naravna rešitev je, da naredimo pregib po premici in s svinčnikom označimo zrcalno sliko. A definicija 2.4 pravi, da lahko točke dobimo le kot presečišča pregibov, poleg tega pa je uporaba pisala dovoljena le za vidnejšo označbo že konstruiranih točk.

Zato moramo najti zaporedje pregibov, kjer na koncu kot presečišče nekih dveh premic dobimo želeno točko. Za dano premico a in točki A , ki ne leži na tej premici (sicer je točka A zrcalna slika sama sebi), lahko zrcalno sliko točke konstruiramo z naslednjimi koraki (prikazani na sliki 9, postopek vzet iz [12, str. 28]):

1. Z operacijo O5 prepognemo pravokotnico na premico a skozi točko A .
2. Z operacijo O4 prepognemo simetralo kota, ki ga oklepata premica a in pravokotnica iz prvega koraka.
3. Z operacijo O5 prepognemo pravokotnico na simetralo skozi točko A . Njeno presečišče s premico a označimo z B .
4. Z operacijo O5 prepognemo pravokotnico na pregib iz tretjega koraka skozi točko B . Presečišče novega pregiba in pravokotnice iz prvega koraka označimo z A' .



Slika 9: Zrcaljenje točke A čez premico a s prepogibanjem papirja.

Trditev 2.9. *Točka A' iz opisane konstrukcije je zrcalna slika točke A .*

Dokaz. Trikotnik, ki ga dobimo po 3. koraku, je pravokoten in enakokrak, saj je simetrala (pravega kota) iz 2. koraka pravokotna na njegovo osnovnico. Zato kot ob točki A znaša 45° . Ker je trikotnik $\triangle A'BA$ pravokoten, je zato tudi enakokrak, torej premica a razpolavlja daljico AA' , torej je A' res zrcalna slika točke A . \square

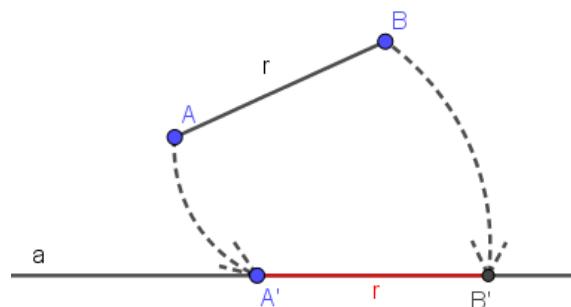
Ker lahko čez premico zrcalimo točke, lahko čeznjo zrcalimo tudi daljice oz. premice – to storimo tako, da zrcalimo dve točki z daljice in naredimo pregib čez njuni sliki. Zrcaljenje pa nam omogoča še nekaj več, kar nam pove naslednja trditev.

Trditev 2.10. *Z upoštevanjem pravil iz 2.2 in origami operacij lahko s prepogibanjem papirja prenašamo razdalje.*

Dokaz. V ravnini si izberimo poljubni točki A in B , ki določata daljico z neko dolžino r . Naj bo a poljubna premica in A' poljubna točka na njej. Trditev pravi, da lahko z origami operacijami konstruiramo točko $B' \in a$, da je $d(A', B') = r$ (slika 10). Pri tem ni pomembno, na kateri strani točke A' leži točka B' , saj jo lahko vedno zrcalimo čeznjo.

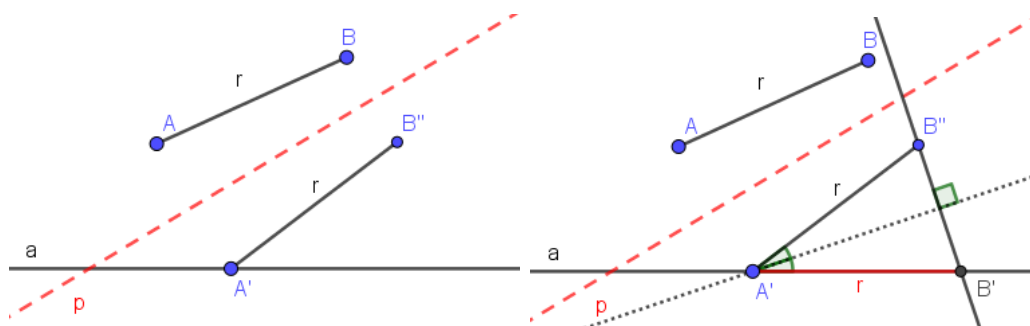
Prenos razdalje razdelimo na dva koraka:

1. Če $A \neq A'$, daljico AB zrcalimo čez tisto premico p , ki točko A preslika v točko A' (po O3 je tak pregib oz. premica ena sama). Zrcalno sliko točke B označimo z B'' (slika 11 levo). V posebnem primeru, ko daljica AB leži na premici a , je to že konec konstrukcije.



Slika 10: Prenos dolžine daljice AB na premico a k izbrani točki A' .

2. Daljico $A'B''$ rotiramo okoli točke A' , da se točka B'' preslika na premico a . To storimo tako, da z operacijo O4 konstruiramo simetralo kota med daljico $A'B''$ in premico a in čeznjo zrcalimo točko B'' (slika 11 desno). S tem dobimo točko $B' \in a$, ki je po konstrukciji od točke A' oddaljena za dolžino r .



Slika 11: Zrcaljenje daljice AB (levo) in rotacija daljice čez eno krajišče (desno).

S tem smo razdaljo r prenesli na poljubno mesto v ravnini. \square

Tako lahko s prepogibanjem papirja zrcalimo točke (in premice), prenašamo razdalje pa tudi – po 2. koraku iz zgornjega dokaza – rotiramo točke (in premice). To novo znanje bomo uporabili v razdelku 2.3.2, od sedaj naprej pa bomo pri konstrukcijah, ki vključujejo zrcaljenje točk, zaradi preglednosti izpustili potrebne pregibe in zrcaljene točke označili kar s svinčnikom skozi papir.

2.3 Zakaj origami konstrukcije nadvladajo evklidske

Prišli smo do ključnega dela poglavja – reševanje vprašanja, zakaj se nam z origami konstrukcijami sploh splača ukvarjati.

Tako z evklidskim orodjem kot s prepogibanjem papirja lahko konstruiramo premice in točke ter prenašamo razdalje. Le evklidskim orodjem lahko konstruiramo tudi krožne loke, ker pa znamo rotirati točke okoli druge točke, lahko tudi s prepogibanjem papirja konstruiramo katerokoli točko na krožnici z danim središčem in polmerom. Tako lahko vse evklidske konstrukcije opravimo tudi z origamijem (za natančnejši dokaz gl. [6]).

Bralec je ob zgornjih opisih posamezne operacije povabljen, da premisli, kako je mogoče operacije O1, O3, O4, O5, O6 in O8 opraviti tudi z evklidskim orodjem (operacija O2 le določa nove točke, zato tu o konstrukciji ne moremo govoriti). Do tu nam torej origami konstrukcije niso dale ničesar novega.

Ključna je sedma operacija. Izkaže se namreč, da operacije O7 oz. Belochinega pregiba ne moremo opraviti z evklidskim orodjem. Kako lahko to dokažemo? V razdelku 3.5.2 bomo spoznali več origami postopkov, ki nam poljuben kot razdelijo na tri skladne dele, pri tem pa uporabimo pregib iz operacije O7. Ker *trisekcija kota z evklidskim orodjem ni mogoča* (dokaz v [15, str. 77–78]), posledično tudi konstrukcija operacije O7 s tem orodjem ne obstaja. Prav tako bomo v poglavju 6 videli več načinov uporabe operacije O7 za reševanje kubične enačbe, za katero prav tako vemo, da je v splošnem z evklidskim orodjem ne moremo rešiti.

Sedaj vemo, da je množica evklidskih konstrukcij *prava* podmnožica origami konstrukcij. V naslednjem razdelku si bomo pogledali, kako lahko evklidske in origami konstrukcije prevedemo v jezik algebre in tudi na algebrski način pokažemo premoč origamija nad evklidskim orodjem. Raziskovali bomo, katere dolžine (in s tem katera števila) lahko z obema orodjema konstruiramo. Tak pogled je imel že Evklid, ki je na števila gledal kot končni rezultat niza konstrukcij z evklidskim orodjem pri dani daljici enotske dolžine [26, str. 164].

2.3.1 Algebrski pogled na evklidske konstrukcije

Definicija 2.11. Na listu papirja, ki nam služi kot model ravnine \mathbb{C} , imejmo dano izhodišče O in število 1 na realni osi. Če lahko z neoznačenim ravnilom in šestilom s končnim številom potez konstruiramo kompleksno število α , rečemo, da je α *evklidsko-konstruktibilno* število.

Opomba 2.12. Ker lahko z neoznačenim ravnilom in šestilom konstruiramo le daljice, poltrake in premice skozi dani točki (postulata P1 in P2) ter krožnice z danim središčem in polmerom (postulat P3), lahko nove točko konstruiramo le kot presečišče dveh premic, dveh krožnic ali premice in krožnice.

Jerman bralca v [15] (zelo nazorna je tudi izpeljava v [26, str.165–170]) na zelo strukturiran in nazoren način popelje čez dokaz, da lahko z evklidskim orodjem na realni osi konstruiramo natanko vsa racionalna števila, njihove vsote, razlike, zmnožke, količnike, kvadratne korene ter linearne kombinacije vsega naštetega. To je množica

$$\mathbb{Q}(r) = \{a + b\sqrt{r}; a, b, r \in \mathbb{Q}; r > 0 \text{ in } \sqrt{r} \notin \mathbb{Q}\},$$

ki je komutativen obseg oz. polje in hkrati tudi dvorazsežni vektorski prostor nad obsegom \mathbb{Q} z bazo $\{1, \sqrt{r}\}$.

Da pokažemo, da so to vsa možna realna evklidsko-konstruktibilna števila, je potrebna obravnava vseh možnih enačb, ki jih dobimo pri iskanju presečišč dveh krožnic, dveh premic ter krožnice in premice, potem pa je potrebno še dokazati, da nam vse nadaljne rabe konstruiranih presečišč res podajo najmanjšo razširitev polja racionalnih števil, ki je zaprta za operacijo kvadratnega korenjenja. Jerman s tem dokaže naslednji izrek.

Izrek 2.13. Število $r \in \mathbb{R}$ se da konstruirati le s pomočjo ravnila in šestila natanko tedaj, ko je r algebraičen nad \mathbb{Q} in je razsežnost obsega $\mathbb{Q}(r)$, kot vektorskega prostora nad obsegom \mathbb{Q} , enaka 2^n za nek $n \in \mathbb{N}_0$.

Opomba 2.14. Razsežnosti obsega $\mathbb{Q}(r)$ pravimo tudi *stopnja razširitve obsega* \mathbb{Q} . Izkaže se, da je enaka stopnji minimalnega polinoma števila r nad \mathbb{Q} [15, str. 77].

Izreku takoj sledita dokaza, da trisekcija kota v splošnem ter konstrukcija števila $\sqrt[3]{2}$ z evklidskim orodjem nista mogoči [15, str. 77–78].

Iz izreka sledi tudi, da lahko vsa realna evklidsko-konstruktibilna števila analitično zapišemo kot rešitve kvadratne enačbe z racionalnimi koeficienti. O reševanju enačb se bomo natančneje ukvarjali v poglavju 6.

Ker med kompleksno in evklidsko ravnino obstaja bijekcija, lahko tako konstruiramo poljubno število $\alpha = x + yi$, kjer sta $x \in \mathbb{Q}(r)$ in $y \in \mathbb{Q}(s)$ za neka $r, s \in \mathbb{Q}^+$; $\sqrt{r}, \sqrt{s} \notin \mathbb{Q}$. S tem lahko zapišemo tudi kompleksne rešitve kvadratne enačbe. Torej lahko z evklidskim orodjem konstruiramo rešitve poljubne kvadratne enačbe.

2.3.2 Origami števila

Poiščimo še množico števil, ki jih lahko konstruiramo z origamijem. Definiramo jih na enak način kot *evklidsko-konstruktibilna* števila.

Definicija 2.15. Na listu papirja, ki nam služi kot model ravnine \mathbb{C} , imejmo dano izhodišče O in število 1 na realni osi. Premice predstavljajo pregibi papirja, nove točke pa njihova presečišča. Če lahko s končnim številom enkratnih ravni prepogibov in upoštevanjem operacij O1– O8 konstruiramo kompleksno število α , rečemo, da je α *origami število*. Množico origami števil označimo z \mathcal{O} .

Opomba 2.16. Po izreku 2.7 operacije O1– O8 zajamejo vse možne pregibe, zato so origami števila dobro definirana.

Definicija 2.17. Če lahko v evklidski ravnini z origamijem po zgornjih pravilih konstruiramo točko A , pravimo, da je A *origami-konstruktibilna točka*. Če lahko z origamijem konstruiramo premico p , pravimo, da je premica p *origami-konstruktibilna premica*.

Preko sledečih izrekov in trditev bomo še na algebrski način pokazali, da je množica števil, ki jih lahko konstruiramo z evklidskim orodjem, prava podmnožica množice origami števil.

Trditev 2.18. Naj bo $\alpha = a + bi \in \mathbb{C}$, kjer $a, b \in \mathbb{R}$. Potem je $\alpha \in \mathcal{O}$, če in samo če $a, b \in \mathcal{O}$.

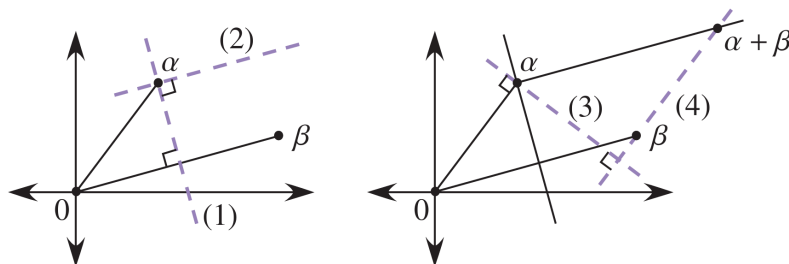
Dokaz. Ker sta a in b pravokotni projekciji števila α na realno in imaginarno os (operacija O5), je trditev očitna. \square

Izrek 2.19. Množica \mathcal{O} je podpolje polja \mathbb{C} .

Dokaz. Za dokaz izreka moramo pokazati, da je $1 \in \mathcal{O}$ (kar velja že po definiciji), da za poljubna $\alpha, \beta \in \mathcal{O}$ velja $\alpha - \beta, \alpha\beta \in \mathcal{O}$ in da je $1/\alpha \in \mathcal{O}$ za vsak $\alpha \in \mathcal{O} \setminus \{0\}$. Spomnimo se, da lahko kompleksna števila ponazorimo z vektorji in zato lahko računske operacije grafično izvajamo kar preko njih.

Vzemimo poljubna $\alpha, \beta \in \mathcal{O}$. Ker število $-\beta$ dobimo po zaporednem zrcaljenju čez obe osi, velja $-\beta \in \mathcal{O}$. Ker je odštevanje v resnici seštevanje nasprotnega elementa, je za dokaz $\alpha - \beta \in \mathcal{O}$ dovolj pokazati, da je množica \mathcal{O} zaprta za seštevanje.

Če α, β in 0 ležijo na isti premici, ni veliko za dokazovati, temveč samo prenesemo razdaljo na primerno mesto na premici. Predpostavimo sedaj, da α, β in 0 ne ležijo na isti premici in s paralelogramskim pravilom konstruirajmo število $\alpha + \beta$ (slika 12). Štirikrat uporabimo operacijo O5: preko pravokotnice (1) na vektor $\overrightarrow{O\beta}$ skozi α konstruiramo vzporednico (2) k taistemu vektorju skozi α in na enak način preko pravokotnice (3) konstruiramo vzporednico (4) k vektorju $\overrightarrow{O\alpha}$ skozi β . V presečišču vzporednic dobimo $\alpha + \beta$.



Slika 12: Konstrukcija $\alpha + \beta$.

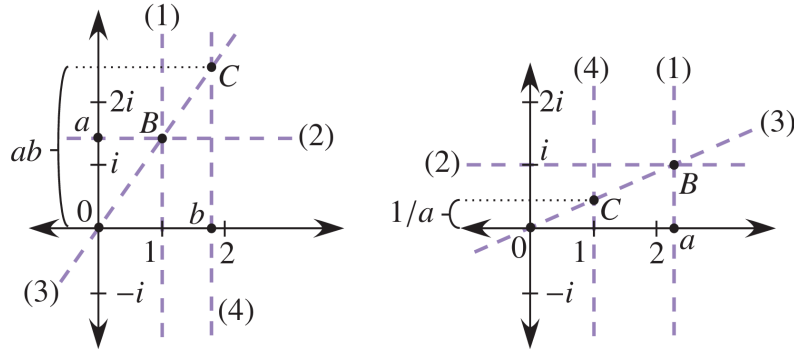
Za dokaz preostalih dveh zahtev najprej dokažimo, da za neničelna $a, b \in \mathcal{O} \cap \mathbb{R}$ velja $ab, 1/a \in \mathcal{O}$, potem pa s pomočjo trditve 2.18 to dokažemo še za poljubna $\alpha, \beta \in \mathcal{O}$.

Naj bosta $a, b \in \mathcal{O} \cap \mathbb{R}$ poljubna in neničelna (če je katerikoli od njiju enak 0, je produkt ničeln in že po definiciji origami število). Ker sta a in b origami števili, ju lahko konstruiramo. Naj b leži na realni osi, ai pa na imaginarni (slika 13 levo). Z dvakratno uporabo operacije O5 konstruiramo origami število $1 + ai$ (točka B). Konstruiramo pregib skozi O in B (premica z naklonom a) ter v presečišču s pravokotnico skozi b dobimo število $b + abi$ (točka C). Pravokotnica skozi C na imaginarno os na njej konstruira origami število ab .

Podobno konstruiramo še število $1/a$. Na realni osi konstruiramo število a (slika 13 desno), s pomočjo O5 pa še število $a + i$ (točka B). Pregib skozi O in B ima naklon ravno $1/a$. V presečišču tega pregiba s pravokotnico na realno os v točki $!$ dobimo število $1 + (1/a)i$ (točka C). Tako nam pravokotnica na imaginarno os skozi točko C konstruira origami število $1/a$.

Vzemimo sedaj poljubna $\alpha, \beta \in \mathcal{O}$. Če je $\alpha = a + bi, \beta = c + di$, potem po trditvi 2.18 velja $a, b, c, d \in \mathcal{O}$. Število $\alpha\beta = (ac - bd) + (ad + bc)i$ ima v svojem realnem in imaginarnem delu njihove vsote, razlike in produkti, za katere že vemo, da so v \mathcal{O} . Torej je $\alpha, \beta \in \mathcal{O}$.

Za neničeln $\alpha = a + bi \in \mathcal{O}$ je $1/\alpha = a/(a^2 + b^2) + (-b)/(a^2 + b^2)i$. Ker sta po trditvi 2.18 $a, b \in \mathcal{O}$, sta zopet realni in imaginarni del tega števila origami števili,



Slika 13: Konstrukcija ab in $1/a$ za neničelna $a, b \in \mathcal{O} \cap \mathbb{R}$.

torej $1/\alpha \in \mathcal{O}$. □

Trditev 2.20. Naj bo $\alpha \in \mathcal{O}$. Potem $\sqrt{\alpha}, \sqrt[3]{\alpha} \in \mathcal{O}$.

Dokaz. Naj bo $\alpha = re^{i\theta}$ za neka $r \in \mathbb{R} \setminus \{0\}$ (v ničelnem primeru ni kaj dokazovati) in θ poljuben kot. Torej imamo za kvadratni in kubični koren števila α skupno pet rešitev:

- $\sqrt{\alpha} = \pm \sqrt{r}e^{i\frac{\theta}{2}}$ in
- $\sqrt[3]{\alpha}_1 = \sqrt[3]{r}e^{i\frac{\theta}{3}}, \sqrt[3]{\alpha}_2 = \sqrt[3]{r}e^{i(\frac{\theta}{3} + \frac{2\pi}{3})}, \sqrt[3]{\alpha}_3 = \sqrt[3]{r}e^{i(\frac{\theta}{3} + \frac{4\pi}{3})}$.

Torej moramo dokazati, da $\sqrt{r}, \sqrt[3]{r} \in \mathcal{O}$, da znamo razpolavljati in tretjiniti kote ter rotirati origami število za kot 60° okoli izhodišča O . Potem bomo po izreku 2.19 lahko konstruirali zgornjih pet števil in tako dokazali to trditev.

Najprej se še prepričajmo, da $r \in \mathcal{O}$. Ker je to ravno razdalja števila α do izhodišča, jo lahko prenesemo na realno os in tako konstruiramo realno število r , torej je res $r \in \mathcal{O}$.

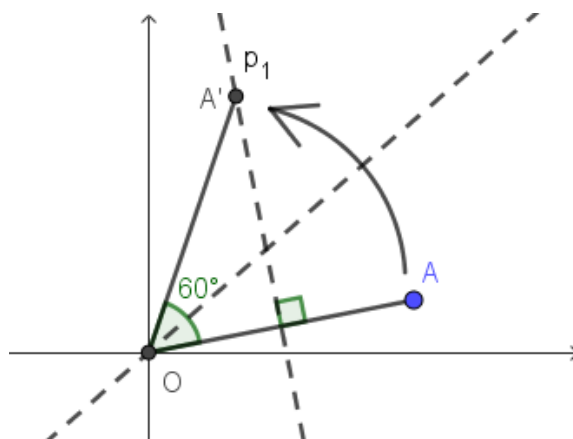
V razdelku 6 bomo pogledali, kako z origamijem rešujemo splošne kvadratne in kubične enačbe, torej bomo znali konstruirati tudi rešitve enačb $x^2 - r = 0$ in $x^3 - r = 0$. Konkretna konstrukcija števil \sqrt{r} in $\sqrt[3]{r}$ opisane tudi v poglavju 3. Z operacijo O4 znamo razpoloviti kot, postopek tretjinjenja kota pa je, kot že omenjeno, opisan v razdelku 3.5.2. Ostane nam samo še rotacija točke za kot 60° okoli izhodišča. Na sliki 14 je prikaz enostavne konstrukcije – najprej prepognemo simetralo p_1 daljice OA in konstruiramo pregib p_2 skozi O , ki točko A preslika v točko A' na simetrali p_1 . Trikotnik $\triangle OAA'$ je enakostraničen. □

Množica origami števil \mathcal{O} je tako zaprta za seštevanje, odštevanje, množenje, deljenje ter za kvadratno in kubično korenjenje. Ker so cela števila očitno origami števila (po definiciji imamo dano enoto, ki jo znamo prenašati po realni osi), so zaradi zaprtosti za deljenje origami števila tudi vsa racionalna števila. Zato za vsak $r \in \mathbb{Q}^+$, $\sqrt{r} \notin \mathbb{Q}$ in vsaka $a, b \in \mathbb{Q}$ velja $a + b\sqrt{r} \in \mathcal{O}$, torej za vsak tak r velja

$$\mathbb{Q}(r) \subseteq \mathcal{O}.$$

S tem je dokazana naslednja trditev.

Trditev 2.21. Vsa evklidsko-konstruktibilna števila so origami števila.



Slika 14: Rotacija točke za kot 60° okoli izhodišča.

Da so evklidsko-konstruktibilna števila *prava* podmnožica origami števil, je potrebno najti samo en $r \in \mathcal{O} \cap \mathbb{Q}^+$, $\sqrt{r} \notin \mathbb{Q}$, za katerega velja $\sqrt[3]{r} \notin \mathbb{Q}(r)$. Bralec je povabljen k enostavnemu dokazu, da že za $r = 2$ ne obstajata $a, b \in \mathbb{Q}$, da bi veljalo $\sqrt[3]{2} = a + b\sqrt{2}$ – če začnemo reševati to enačbo za a in b , se hitro izkaže, da nima niti realnih rešitev.

Izrek 2.22. *Množica evklidsko-konstruktibilnih števil je prava podmnožica množice origami števil, t. j.*

$$\bigcup_{r \in \mathbb{Q}^+, \sqrt{r} \notin \mathbb{Q}} \mathbb{Q}(r) \subset \mathcal{O}$$

Tako smo še na algebraičen način dokazali prevlado origamija nad evklidskim orodjem.

(a potem so origami števila enaka množici $\{a + b\sqrt{r} + c\sqrt[3]{q}\}$ za poljubne $a, b, c, r, q \in \mathbb{Q}$? Je kakšna oznaka?) ■

A vključimo še ta izrek, da bo podobno kot 2.13? Lahko gledajo Alperin [1]

Izrek 2.23. *Število $r \in \mathbb{R}$ se da konstruirati z origamijem natanko tedaj, ko je r algebraičen nad \mathbb{Q} in je razsežnost obsega $\mathbb{Q}(r)$, kot vektorskega prostora nad obsegom \mathbb{Q} , enaka $2^n 3^m$ za neka $n, m \in \mathbb{N}_0$.*

3 Prepogibanje kvadrata

Vzemimo v roke kvadraten list papirja in pogledjmo, kaj lahko z njegovim prepogibanjem dobimo. V tem poglavju se bomo ukvarjali s preprostimi konstrukcijami, kot so konstrukcija enakostraničnega trikotnika in števila \sqrt{r} za poljuben $r \in \mathcal{O}$. Pogledali si bomo vse tri Hagove izreke o razmerjih, na katere specifični pregibi kvadratnega lista papirja razdelijo njegove stranice, nato pa to posplošili na iskanje metod za razdelitev daljice na poljubno število skladnih delov. Na koncu pa bomo končno preko več različnih konstrukcij rešili dva starogrška problema, zaradi katerih smo se sploh začeli ukvarjati s temo origamija.

3.1 Nekaj kratkih in zanimivih konstrukcij za uvod

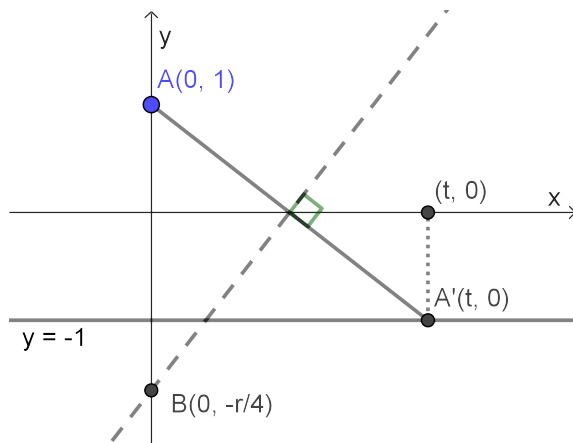
Konstrukcija enakostraničnega trikotnika

- kot 60° (smo že pri algebri) - enakostranični trikotnik (smo že pri algebri, ma lahko še enkrat, pa več načinov)

Konstrukcija števila \sqrt{r}

Tu ne rabiš kvadratnega lista!

Vzemimo $r \in \mathbb{Q}^+$ in si pogledjmo naslednjo konstrukcijo (vzeto iz [13, str. 58]): Imejmo točko $A(0, 1)$ in premico $y = -1$. Na ordinatni osi označimo točko $B(0, -r/4)$ in z operacijo O6 skozi točko B naredimo pregib, ki točko A položi na premico $y = -1$. Njena zrcalna slika je $A'(t, 0)$ za nek $t \in \mathbb{R}$ (slika 15).



Slika 15: Konstrukcija števila \sqrt{r} za poljuben $r \in \mathbb{Q}^+$.

Pregib po konstrukciji poteka skozi točko B in razpolovišče daljice AA' , torej je njegov koeficient $k_B = \frac{r}{2t}$ (izpeljavo prepuščamo bralcu). Ker je pregib simetrala daljice AA' , njena nosilka pa ima koeficient $k_A = -\frac{2}{t}$, dobimo

$$\begin{aligned} k_B &= -\frac{1}{k_A}, \\ \frac{r}{2t} &= \frac{t}{2}, \\ r &= t^2 \text{ oz. } t = \sqrt{r}. \end{aligned}$$

Na koncu le še prepognemo pravokotnico na abscisno os skozi točko A' in tako dobimo točko $(\sqrt{r}, 0)$. Torej smo konstruirali število \sqrt{r} za poljuben $r \in \mathbb{Q}^+$.

Še kakšna konstrukcija?

3.2 Hagovi izreki

S prepogibanjem kvadratnega lista papirja se je veliko ukvarjal Kazuo Haga, sicer japonski profesor biologije. V svojem delu *Origamics: Mathematical Explorations Through Paper Folding* [9] je tako med drugim formuliral tri izreke, ki jih poznamo pod imenom *Hagovi izreki*. Pri vsakem od njih gre za konstrukcijo specifičnega pregiba, ki povzroči delitev stranic kvadrata v različnih razmerjih. Vsak izrek posebej bomo najprej formulirali, si slikovno ogledali konstrukcijo in ga dokazali, nato pa si pogledali še nekaj dodatnih lastnosti, ki sledijo iz njega.

Da si olajšamo računanje, predpostavimo, da ima kvadrat, ki predstavlja naš list papirja, stranico dolžine 1. Njegova oglišča označimo s črkami A, B, C in D , začnši v zgornjem desnem oglišču in sledečimi v pozitivni smeri, torej nasprotni smeri urinega kazalca.

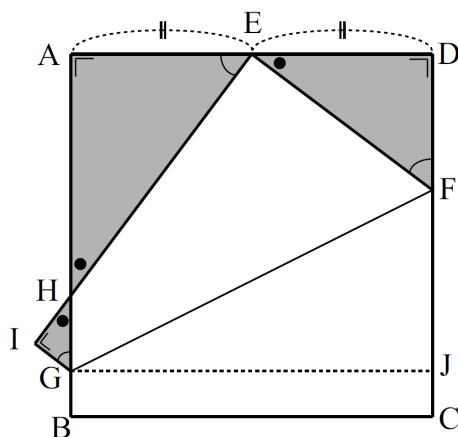
Konstrukcija poljubnega $a/b \in \mathbb{Q}$ [17, str. 20–21]

Hull2013, activity 11 (str. 103–)

3.2.1 Prvi Hagov izrek

Izrek 3.1 (Prvi Hagov izrek). *Zgornjo stranico AD kvadrata $ABCD$ razpolovimo v točki E in s pregibom nanjo položimo oglišče C . S tem na levi in desni stranici kvadrata dobimo tri točke, ki jih označimo z F, G in H (slika 16). Za te točke velja:*

- točka F deli desno stranico v razmerju $3 : 5$,
- točka H deli levo stranico v razmerju $2 : 1$,
- točka H deli spodnjo stranico v razmerju $1 : 5$,
- točke G deli levo stranico v razmerju $7 : 1$.



Slika 16: Konstrukcija pregiba iz prvega Hagovega izreka. Vzeto iz [9, str. 4].

Dokaz. Kot kaže slika 16, označimo še točki I in J . Najprej lahko opazimo, da pregib iz izreka povzroči nastanek treh podobnih pravokotnih trikotnikov, ki so na sliki 16 pobarvani sivo. Za vsakega od njih lahko določimo dolžine njegovih stranic.

Začnimo s trikotnikom $\triangle DEF$. Ker je E razpolovišče stranice AD , je $|DE| = 1/2$. Če drugo kateto DF označimo z a , je hipotenuza EF dolga $1 - a$, saj $|DF| + |EF| = |DF| + |FC| = 1$ po konstrukciji. Iz Pitagorovega izreka nato izračunamo $a = 3/8$. Torej točka F res deli stranico CD v razmerju $3 : 5$.

Iz razmerja podobnih trikotnikov $\triangle DEF$ in $\triangle AHE$ dobimo

$$\frac{|AH|}{|AE|} = \frac{|DE|}{|DF|}, \text{ torej } |AH| = \frac{|AE| \cdot |DE|}{|DF|} = \frac{1/2 \cdot 1/2}{3/8} = \frac{2}{3}.$$

Točka H res deli stranico AB v razmerju $2 : 1$. Drugače povedano – s prvim Hagovim izrekom znamo poljubno daljico razdeliti na tri skladne dele.

Sedaj lahko izračunamo dolžino hipotenuze EH trikotnika $\triangle AHE$. Iz Pitagorovega izreka sledi $|EH| = 5/6$ (in posledično iz $|EI| = 1$ še $|HI| = 1/6$), torej točka H res deli spodnjo stranico v razmerju $1 : 5$.

Za izračun dolžine daljice BG , ki je po konstrukciji enaka dolžini katete GI , si spet pomagamo z razmerji podobnih trikotnikov; tokrat vzamemo trikotnika $\triangle IHG$ in $\triangle AHE$. Iz razmerja

$$\frac{|GI|}{|HI|} = \frac{|AE|}{|AH|} \text{ sledi } |BG| = |GI| = \frac{|AE| \cdot |HI|}{|AH|} = \frac{1/2 \cdot 1/6}{2/3} = \frac{1}{8},$$

torej točka G res deli stranico AB v razmerju $7 : 1$. □

Za vajo lahko izračunamo še preostale dolžine daljic:

$$\begin{aligned} |GH| &= |AB| - |AH| - |BG| = 1 - \frac{2}{3} - \frac{1}{8} = \frac{5}{24}, \\ |CJ| &= |BG| = \frac{1}{8}, \\ |FJ| &= |CD| - |DF| - |CJ| = 1 - \frac{3}{8} - \frac{1}{8} = \frac{1}{2}, \\ |FG| &= \sqrt{|GJ|^2 + |FJ|^2} = \sqrt{1^2 + \left(\frac{1}{2}\right)^2} = \frac{\sqrt{5}}{2}. \end{aligned}$$

S tem so znane vse dolžine daljic, na katere pregib iz prvega Hagovega izreka razdeli stranice enotskega kvadrata. Na sliki 17 je tako povzetek naših ugotovitev.

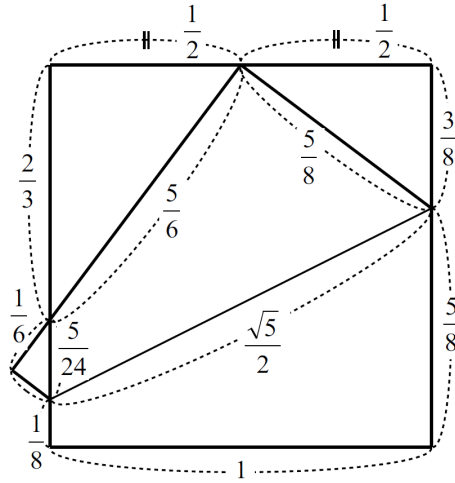
Izrek lahko tudi posplošimo, če za točko E ne vzamemo razpolovišča, temveč poljubno točko na daljici AD . Naj bo $x = |ED|$. Nastale točke označimo kot prej, dolžine nastalih daljic pa z y_1 do y_6 , kot kaže slika 18.

Za vsak $i \in \{1, 2, 3, 4, 5, 6\}$ poiščimo sedaj vrednost y_i v odvisnosti od x . Kot prej najprej opazimo, da imamo zopet tri podobne pravokotne trikotnike. Iz Pitagorovega izreka za pravokotni trikotnik $\triangle EDF$ sledi

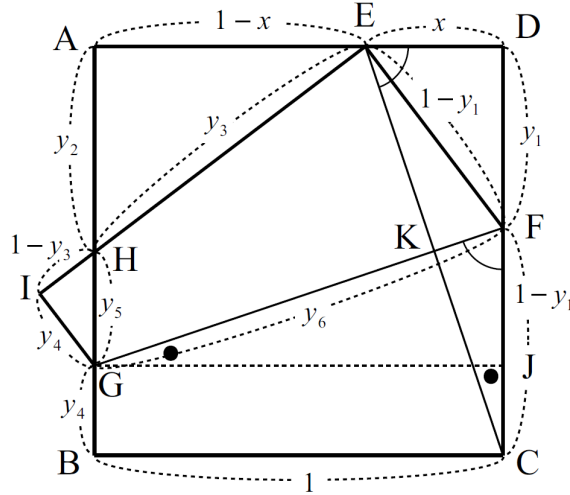
$$y_1 = (1 - x^2)/2,$$

iz razmerja podobnih pravokotnih trikotnikov $\triangle EDF$ in $\triangle HAE$ pa izračunamo

$$y_2 = \frac{x(1 - x)}{y_1} = \frac{2x}{1 + x} \text{ in } y_3 = \frac{(1 - y_1)(1 - x)}{y_1} = \frac{1 + x^2}{1 + x}.$$



Slika 17: Dolžine daljic po prvem Hagovem izreku. Vzeto iz [9, str. 7].



Slika 18: Oznake dolžin iz prvega Hagovega izreka v splošnem. Vzeto iz [9, str. 9].

Pregib FG je po konstrukciji simetrala daljice CE , torej pravokotna nanjo, iz česar sledi, da sta trikotnika $\triangle CKF$ in $\triangle CDE$ podobna in kota $\angle DEC$ in $\angle KFC$ skladna. Zato sta skladna tudi trikotnika $\triangle CDE$ in $\triangle GJF$, torej $|FJ| = x$. Posledično je

$$y_4 = |CJ| = 1 - (y_1 + x) = \frac{(1-x)^2}{2} \quad \text{in} \quad y_5 = 1 - y_2 - y_4 = \frac{(1-x)(1+x^2)}{2(1+x)}.$$

Na koncu še s ponovno uporabo Pitagorovega izreka izračunamo

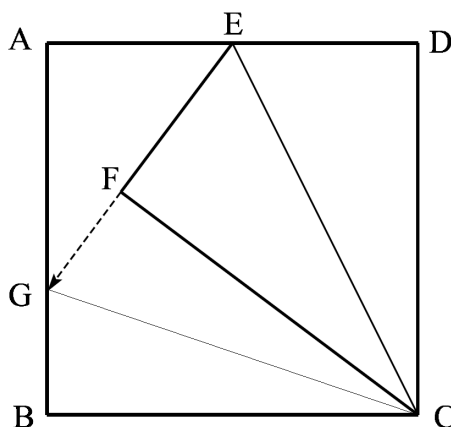
$$y_6 = \sqrt{|GJ|^2 + |FJ|^2} = \sqrt{1+x^2}.$$

Splošne vrednosti dolžin y_i mogoče niso najlepše, vendar pri marsikateri izbiri števila $x \in (0, 1)$ dobimo lepe številke. Najbolj so zanimiva recipročna števila naravnih števil. Vemo že, da pri izbiri $x = 1/2$ lahko dobimo števila $1/3, 1/6, 1/8$, pri izbiri $x = 1/4$ in $x = 3/4$ dobimo še $2/5$ (in iz tega z razpolovitvijo $1/5$) in $1/7$. Računanje prepuščamo bralcu, se pa na tej točki lahko vprašamo, ali za vsak $n \in \mathbb{N}$

obstaja primeren x , da lahko preko neke dolžine y_i ali $1 - y_1$ in preko postopkov za konstrukcijo že znanih razmerij konstruiramo dolžino $1/n$. **dokaz, da se da??? al
pej spusti, če se ti ne da ...**

3.2.2 Drugi Hagov izrek

Izrek 3.2 (Drugi Hagov izrek). *Zgornjo stranico AD kvadrata $ABCD$ razpolovimo v točki E in opravimo pregib skozi točko E ter oglišče C . Točka D se tako preslika v točko F (slika 19). Če stranico EF podaljšamo do leve stranice kvadrata, jo presečišče G razdeli v razmerju $2 : 1$.*



Slika 19: Konstrukcija pregiba iz drugega Hagovega izreka. Vzeto iz [9, str. 12].

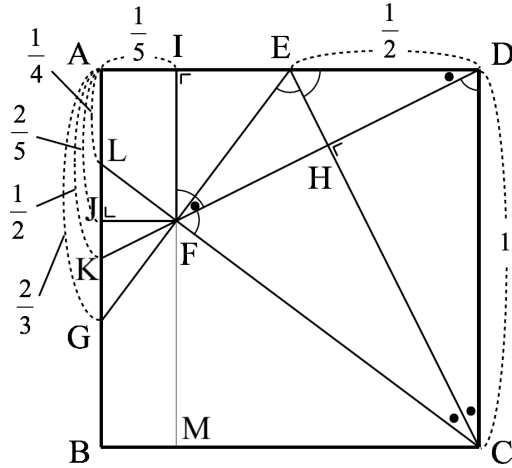
Dokaz. Opazimo lahko, da sta trikotnika $\triangle BCG$ in $\triangle FCG$ skladna, saj imata skladni daljšo kateto in hipotenuzo ter pravi kot nasproti hipotenuze. Označimo $x = |GB| = |GF|$. Zapišimo Pitagorov izrek za pravokotni trikotnik $\triangle AGE$:

$$\left(x + \frac{1}{2}\right)^2 = (1 - x)^2 + \left(\frac{1}{2}\right)^2 \text{ in izračunamo } x = \frac{1}{3},$$

torej točka G res deli stranico AB v razmerju $2 : 1$. □

S tem smo zopet dobili način razdelitve daljice na tri enake dele, a tu zanimivih razmerij še ni konec. Poglejmo si še, v kakšen razmerju nam stranice deli točka F in točke, ki jih dobimo s podaljšanjem daljic FD in FC do leve stranice. Označimo nove točke H, I, J, K in M , kot kaže slika 20.

Po konstrukciji pregiba velja $FD \perp CE$, iz česar dobimo podobne pravokotne trikotnike $\triangle CDE$, $\triangle CFE$, $\triangle DAK$, $\triangle DHE$, $\triangle FHE$, $\triangle DIF$. Prvi trije od naštetih so celo skladni, prav tako je skladen tudi sledeči par. Le trikotnik $\triangle DIF$ nima



Slika 20: Dolžine daljic po drugem Hagovem izreku. Vzeto in preurejeno iz [9, str. 15].

skladnega para. Iz sledečih razmerij izračunamo

$$\begin{aligned}
 |DH| &= \frac{|DE| \cdot |CD|}{|CE|} = \frac{1}{\sqrt{5}}, \text{ torej } |DF| = 2|FH| = \frac{2}{\sqrt{5}}, \\
 |DI| &= \frac{|DF| \cdot |CD|}{|CE|} = \frac{4}{5}, \text{ torej } |AI| = \frac{1}{5}, \\
 |FI| &= \frac{|DI| \cdot |DE|}{|CD|} = \frac{2}{5} \text{ in} \\
 |AK| &= |DE| = \frac{1}{2}.
 \end{aligned}$$

Iz podobnih trikotnikov $\triangle BCL$ in $\triangle MCF$ sledi še

$$|BL| = \frac{|BC| \cdot |FM|}{|CM|} = \frac{3}{4}, \text{ torej } |AL| = |AB| - |BL| = \frac{1}{4}.$$

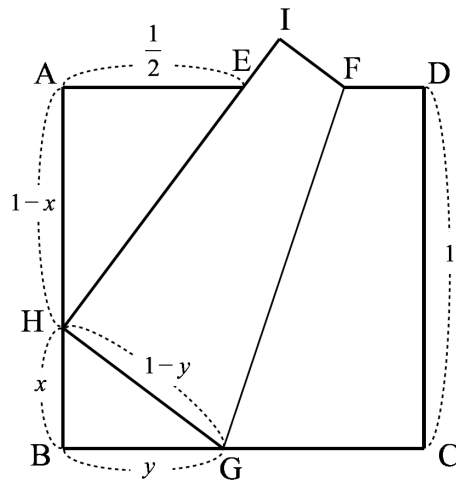
Torej nam drugi Hagov izrek poleg konstrukcije števil $1/3, 2/3$ poda tudi direktno konstrukcijo števil $1/5, 2/5, 3/5$ in $4/5$.

3.2.3 Tretji Hagov izrek

Izrek 3.3 (Tretji Hagov izrek). *Zgornjo stranico AD kvadrata ABCD razpolovimo v točki E in opravimo pregib, ki točko E položi na desno stranico in hkrati oglišče C na levo stranico (slika 21). Njena slika H levo stranico deli v razmerju 2 : 1.*

Dokaz. Označimo še točke E, F, G , in I ter uvedimo $x = |BH|$ in $y = |BG|$, kot kaže slika 21. Zaradi prepogiba je $|GH| = |CG| = 1 - y$. Iz Pitagorovega izreka za pravokotni trikotnik $\triangle BGH$ ter razmerja za podobna trikotnika $\triangle BGH$ in $\triangle AHE$ dobimo sistem enačb

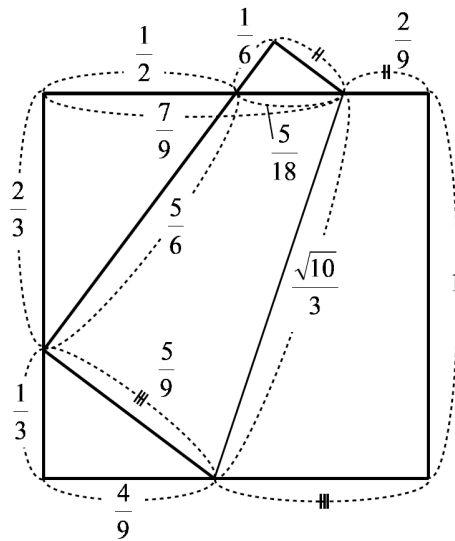
$$x^2 + y^2 = (1 - y)^2 \text{ in } \frac{1/2}{1 - x} = \frac{x}{y},$$



Slika 21: Konstrukcija pregiba iz tretjega Hagovega izreka. Vzeto iz [9, str. 18].

iz katerih izračunamo $x = \frac{1}{3}$ in $y = \frac{4}{9}$. Torej točka H res deli stranico AB v razmerju $2 : 1$. \square

Kot pri prejšnjih dveh izrekih bi lahko poračunali še preostale dolžine daljic. To za vajo prepuščamo bralcu, ki se lahko o svojih rezultatih prepriča s sliko 22.



Slika 22: Dolžine daljic po tretjem Hagovem izreku. Vzeto iz [9, str. 19].

Kakšen zaključek teh treh izrekov? Skupno – vsi trije uporabljajo središče E zgornje stranice AD . Prvi izrek nanj položi oglišče C , drugi izrek naredi pregib skozi točko in oglišče C , tretji pa nanjo položi desno stranico tako, da C leži na levi stranici. Kej skupnega, bi se dalo še kakšen drug pregib blablaba.

Lahko omeniš še srebrne pravokotnike (npr. A4 list papirja, stranici sta v razmerju $1 : \sqrt{2}$ in vsakič, ko daš pravokotnik po kratki stranici na pol, dobiš spet srebrn pravokotnik; pač isti princip kot pri zlatem pravokotniku za zlati rez), pa da se da tudi na njih narediti te Hagove izreke. Katere razdelitve dobiš? Na 9, 14, 16 delov itd., pogledaj vir. Ampak to ne gledaj v [9, str. 21–32].

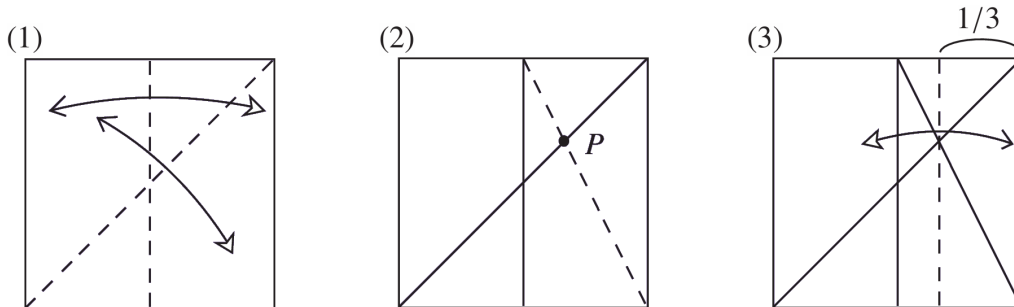
3.3 Razdelitev daljice na n enakih delov

Stranico kvadrata želimo razdeliti na n enakih delov, kjer je $n \in \mathbb{N}$ poljuben. Za $n = 2^t, t \in \mathbb{N}_0$ je to čisto enostavno, saj samo prepolavljamo razdalje med pregibi, dokler ne dosežemo cilja. Če je n sod, vendar ni potenca 2, torej $n = 2^t(2m + 1)$, kjer sta $t, m \in \mathbb{N}$, stranico najprej razdelimo na 2^t delov, nato pa moramo vsakega izmed njih razdeliti na $2m + 1$ (liho število) delov. Izziv tega problema je torej v razdelitvi daljice na liho število delov. Ko bomo zo zmogli, jo bomo znali razdeliti na n delov za vsak $n \in \mathbb{N}$.

V prejšnjem razdelku so nam Hagovi izreki podali razdelitev stranice kvadrata na tri, pet, sedem in devet delov. Vendar iščemo metodo, ki nam stranico razdeli na n delov za splošen lih $n \in \mathbb{N}$. Spomnimo se, da smo en tak postopek že spoznali – v dokazu izreka 2.19 smo za poljuben $a \in \mathbb{R}$ znali konstruirati razdaljo $1/a$, kar bi lahko uporabili za razdelitev neke daljice na a enakih delov – konstruirano razdaljo $1/a$ bi a -krat prenesli naprej. Načinov reševanja tega problema pa se je skozi zadnja desetletja oblikovalo še veliko več; tu si bomo pogledali še **koliko?** metode.

Metoda križajočih se diagonal

Metoda nima uradnega prevoda niti uradnega imena, jo pa tako imenuje Robert J. Lang v svojem članku [16]. Njena konstrukcija je prikazana na sliki 23. Najprej kvadrat dvakrat prepognemo na pol – enkrat po diagonali skozi oglišči A in C in drugič po vertikali. Nato prepognemo po diagonali (skozi oglišče B) še desni pokončen pravokotnik. Presečišče obeh diagonal označimo s točko P in naredimo skoznjo prepogib, ki je pravokoten na horizontalno stranico kvadrata.



Slika 23: Konstrukcija po metodi križajočih se diagonal za $n = 3$.

Trditev 3.4. *Zadnji pregib iz zgornjega opisa konstrukcije razdeli horizontalno stranico kvadrata v razmerju 2 : 1.*

Dokaz. Dokazujemo lahko na več načinov:

1. *Analitičen pristop:* Kvadrat postavimo v evklidsko ravnino tako, da je spodnje levo oglišče kvadrata v koordinatnem izhodišču in spodnje desno v točki $(1, 0)$. Obe diagonalama izrazimo z enačbama premic. Glavna diagonala ima enačbo $y = x$, diagonala pravokotnika pa $y = -2x + 2$. Točka P je njuno presečišče in ima tako koordinati $(2/3, 2/3)$.

2. *Preko podobnih trikotnikov:* Z opisanimi prepogibi v tem kvadratu konstruiramo več trikotnikov. Njihova oglišča označimo tako, kot kaže slika [naredi in referiraj sliko, str. 38 v hull2013; ampak predrugači imena oglišč \(glej nadaljevanje tega dokaza\)](#). Iz podobnosti trikotnikov $\triangle AGP$ in $\triangle ABC$ sledi, da je trikotnik $\triangle AGP$ enakokrak. Naj bo dolžina njegovih krakov x . Potem je $|AG| = |GP| = x$ in $|GB| = 1 - x$. Iz podobnosti trikotnikov $\triangle EFB$ in $\triangle PGB$ sledi

$$\begin{aligned}\frac{|EF|}{|FB|} &= \frac{|PG|}{|GB|}, \\ \frac{1}{\frac{1}{2}} &= \frac{x}{1-x}, \\ x &= \frac{2}{3}.\end{aligned}$$

□

Po konstrukciji pregiba, ki zgornjo stranico kvadrata razdeli v razmerju 2 : 1, desni pravokotnik (s stranico DE) po vertikali prepognemo še na pol. S tem smo stranico kvadrata razdelili na tri enake dele.

Razdelitev stranice kvadrata na štiri dele je očitna – kvadrat v vertikalni smeri dvakrat prepognemo na pol.

Stranico razdelimo na pet delov na podoben način kot na tri. Naredimo enak pregib po glavni diagonali, nato pa zgornjo stranico razdelimo v razmerju 3 : 1 (to znamo storiti). S tem smo na desni strani kvadrata dobili pokončen pravokotnik s horizontalno stranico, dolgo četrto stranice kvadrata. Naslednji pregib je, kot prej, diagonala tega pravokotnika (tista skozi oglišče B). Presečišče te in glavne diagonale je točka, ki je od desne stranice oddaljena za $1/5$ (dokaz je analogen tistemu za trditev 3.4). Naredimo vertikalni pregib skozi točko P in s tem zgornjo stranico kvadrata razdelimo v razmerju 4 : 1. Na koncu še levi del te stranice razdelimo na štiri dele. S tem smo celotno stranico razdelili na pet skladnih delov.

Zgornji postopek lahko posplošimo na poljuben $n \in \mathbb{N}$. Kot smo videli v konkretnih primerih za $n = 3, 4$ in 5 , smo si pomagali z vnajprejšnjo razdelitvijo stranice na $n - 1$ številu enakih delov (kar smo zmogli storiti). Dokaz naslednje trditve bo tako temeljil na indukciji.

Trditev 3.5 (Metoda križajočih se diagonal za splošen n). *Naj bo $n \in \mathbb{N}, n > 2$. Kvadrat $ABCD$ s stranico dolžine 1 prepognemo po diagonali AC , potem pa stranico DC s točko E razdelimo v razmerju $(n - 2) : 1$. Naredimo pregib novonastalega pravokotnika skozi točki B in E . Presečišče te in glavne diagonale je točka P , ki je od desne stranice kvadrata oddaljena za $1/n$.*


Dokaz. Za $n = 1$ in $n = 2$ ni kaj dokazovati – v prvem primeru pregiba sploh ni, v drugem primeru stranico prepolovimo.

Baza indukcije: Vemo že, da trditev drži za $n = 3, 4, 5$.

Indukcijska predpostavka: Predpostavimo, da znamo stranico razdeliti na n enakih delov.

Indukcijski korak: Dokazujemo, da znamo stranico razdeliti na $n+1$ enakih delov. Po navodilih za konstrukcijo najprej stranico DC s točko E razdelimo v razmerju

$(n - 1) : 1$ (kot če bi jo razdelili na n skladnih delov, ampak označimo le zadnji prpogib). To po indukcijski predpostavki znamo storiti. S prepogibom skozi oglišče B in točko E dobimo, kot presečišči obeh diagonal, točko P . Potem pa podobno kot pri dokazu trditve 3.4 dokažimo, da leži točka P na želeni razdalji od desne stranice kvadrata:

1. *Analitičen pristop:* Naj bo oglišče A koordinatno izhodišče in oglišče B točka $(1, 0)$. Premica, ki je nosilka diagonale AC , ima tako enačbo $y = x$, nosilka diagonale CE pa $y = -nx + n$. Točka P je njuno presečišče in ima tako koordinate $(n/(n + 1), n/(n + 1))$. Torej je od desne stranice kvadrata res oddaljena za $1/(n + 1)$.
2. *Preko podobnih trikotnikov:* Označimo oglišča trikotnikov, kot kaže slika **SLIKA**  **plus REFERENCA**. Trikotnik $\triangle AGP$ je enakokrak in njegova kraka označimo z x . Iz razmerij dolžin stranic podobnih trikotnikov $\triangle EFB$ in $\triangle PGB$ sledi

$$\frac{|EF|}{|FB|} = \frac{|PG|}{|GB|} \Rightarrow \frac{1}{\frac{1}{n}} = \frac{x}{1 - x} \Rightarrow n - nx = x \Rightarrow x = \frac{n}{n + 1}.$$

Točka P je od desne stranice kvadrata res oddaljena za $x - 1 = 1/(n + 1)$.

□

Posledica 3.6. *Poljubno daljico znamo razdeliti na n skladnih delov za vsak $n \in \mathbb{N}$.*

Dokaz. Vzemimo neko daljico poljubne dolžine. Ker znamo konstruirati pravokotnice skozi točke in prenašati razdalje, lahko konstruiramo kvadrat, katereda zgornja stranica dana daljica (**spet kakšna slika več korakov**). Po zgornji trditvi jo znamo razdeliti v razmerju $(n - 1) : 1$ za vsak $n \in \mathbb{N}$. Potem moramo njen daljši del razdeliti na $n - 1$ skladnih delov. To storimo na enak način kot prej – konstruiramo manjši kvadrat s to novo stranico in ponovimo postopek. Ustavimo se, ko na nekem koraku stranico kvadrata razdelimo v razmerju $1 : 1$. Takrat bo zgornja stranica oz. dana daljica razdeljena na n skladnih delov. □

Metoda2

Metoda3

Metoda4

Več metod (vsaj tri?), Hull2013 (str. 36–40).

Do zdaj smo imeli metode z razdelitvijo preko prepogibanja kvadratnega lista papirja. Za razdelitev preko pravokotnika pa glej [9, str. 107–134].

3.4 X-pregibi

Glej [9, str. 33–44]

3.5 Reševanje nerešljivih starogrških problemov

Z evklidskimi konstrukcijami se je seveda pojavilo konstruktibilnih ugank – vprašanj, ali je specifično število konstruktibilno (in na kakšen način) ali ne. Zelo znani so trije t. i. “starogrški” problemi, ki so matematike bremenili več kot tisočletje, začeni s časom Evklida (300 pr. Kr.), končno pa sta nanje dokončno odgovorila Niels Henrik Abel (1802–1829) in Evariste Galois (1811–1832) v začetku 19. stoletja. Gre za sledeče tri probleme:

- **Podvojitev kocke** Imejmo že konstruktibilno kocko. Konstruiraj novo kocko, ki ima dvakrat večji volumen od prve (problem se poenostavi na iskanje konstrukcije števila $\sqrt[3]{2}$).
- **Trisekcija kota** Dan je poljuben konstruktibilen kot. Konstruiraj kot, ki prvega deli na tri skladne dele.
- **Kvadratura kroga** Za dan konstruktibilen krog konstruiraj kvadrat, ki ima enako ploščino kot dani krog (problem se poenostavi na konstrukcije števila $\sqrt{\pi}$).

Z znanjem, ki sta ga znanosti posredovala Abel in Galois, se da pokazati, da ti trije problemi z evklidskim orodjem niso rešljivi. V nalogi smo do sedaj že večkrat omenili, da pa obstajajo origami konstrukcije (celo več metod za isti problem!), ki nam konstruirajo kubični koren origami števila ter razdelijo kot na tri skladne dele. Vse metode, ki bodo sedaj našteje, zahtevajo uporabo Belochinega pregiba (operacije O7), kar je logično, saj so vse ostale origami operacije dovolj za vse evklidske konstrukcije. Žal pa tudi tu ostajamo nemočni glede konstrukcije števila $\sqrt{\pi}$, saj je transcendentno.

3.5.1 Podvojitev kocke

Po legendi iz grške mitologije je bog Apolon po oraklju prebivalcem svojega rojstnega otoka Delosa sporočil, da mu morajo, če se želijo znebiti smrtonosne kuge, zgraditi nov oltar v obliki kocke, ki je enak prejšnjemu, le da mora biti dvakrat večji po prostornini. Torej je bilo potrebno konstruirati kocko s stranico, ki je za faktor $\sqrt[3]{2}$ večja od stranice originalne kocke. Po drugi legendi pa naj bi Platon izjavil, da je ta problem, ki so ga prejeli na njegovi Akademiji v Atenah, poslan od bogov samih z namenom osramotiti Grke zaradi njihovega zanemarjanja in prezira do matematike (ker z evklidskim orodjem niso znali konstruirati poljubnih dolžin) [22, str. 29].

Ne vemo, ali so bili Grki prepričani, da se problema z neoznačenim ravnilom in šestilom ne da rešiti. Vsekako pa jim je manjkalo algebrsko znanje. Če je stranica kocke dolga 1, je stranica podvojene kocke dolga $\sqrt[3]{2}$ in ker je obseg $\mathbb{Q}(\sqrt[3]{2})$ vektorski prostor razsežnosti 3 nad obsegom \mathbb{Q} (enačba $x^3 - 2 = 0$ nima racionalne rešitve), podvojitev kocke po izreku 2.13 z evklidskim orodjem res ni mogoča [15, str. 78].

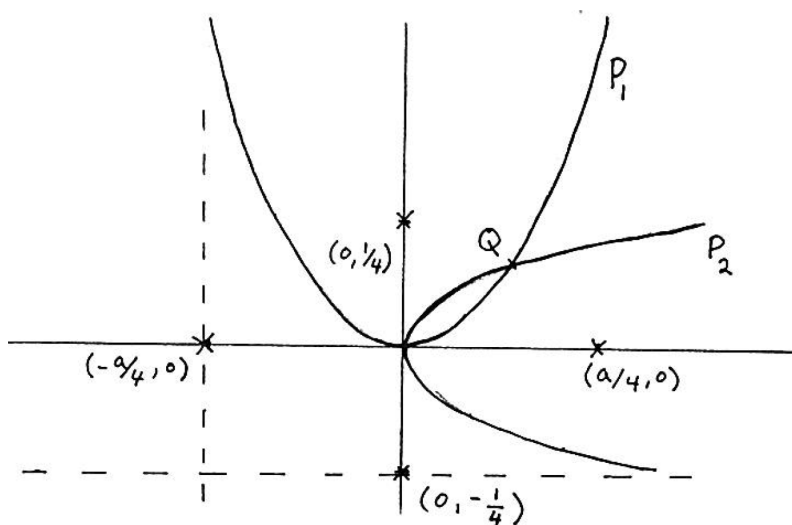
Starogrška rešitev preko presečišča dveh parabol

Mogoče Grkom ni uspelo priti do tega premisleka, vendar so problem vseeno uspeli rešiti, čeprav po drugi poti; uporabili so še eno močno matematično orodje – stožnice.

Videla v [28] dokaže izrek, ki je identičen izreku 2.23 (ki govori, katera števila so origami števila), le da namesto origamija uporabi stožnice. V bistvu s tem dokaže, da so origami konstrukcije ekvivalentne konstrukcijam s stožnicami!

V istem viru Videla tudi navaja konstrukcijo s parabolami, ki za dano dolžino a podajo dolžino c , za katero velja $c^3 = a$. Njen avtor je Menehmo (prb. 350 pr. Kr.), tutor Aleksandra Velikega. Vzel je sledeči paraboli (slika 24):

- $\mathcal{P}_1 : y = x^2$ z goriščem v točki $(0, \frac{1}{4})$ in premico vodnico $y = -\frac{1}{4}$ in
- $\mathcal{P}_2 : x = \frac{y^2}{a}$ z goriščem v točki $(\frac{a}{4}, 0)$ in premico vodnico $x = -\frac{a}{4}$.



Slika 24: Menehmova konstrukcija števila $\sqrt[3]{2}$ preko parabol. Vzeto iz [28, str. 6].

Presečišči teh dveh parabol dobimo preko enakosti

$$y = x^2 = y^4/a^2,$$

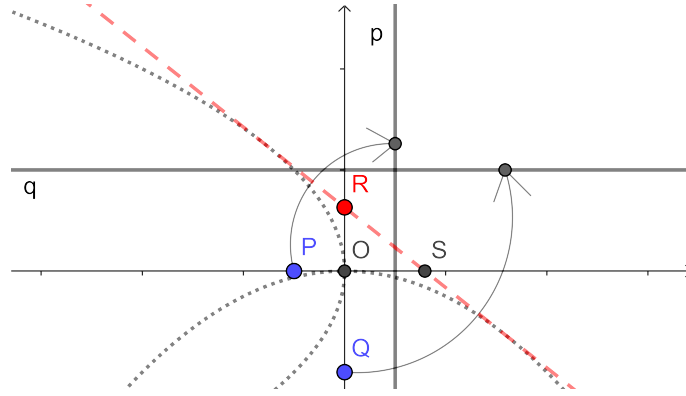
kar nam da enačbo $y(a^2 - y^3) = 0$ z rešitvama $y = 0$ in $y = \sqrt[3]{a^2}$. Presečišči sta torej koordinatno izhodišče in točka $Q = (\sqrt[3]{a}, \sqrt[3]{a^2})$. Njena abscisa je naša rešitev.

Opomba 3.7. Čeprav je konstrukcija enostavna in logična, je praktično težje izvedena, saj z roko ne znamo natančno risati parabol. **mal lepše to napiši. Pa bodi zih**er da se ne da. Pač elipso se da mehanično.

Martinova konstrukcija

George E. Martin v [22, str. 156–157] poda preprosto konstrukcijo števila $\sqrt[3]{k}$ za poljubno origami število k . Tudi on pri tem uporabi dve paraboli, vendar pri postopku potrebujemo le njuni gorišči in premici vodnici. Ne bomo iskali njunih presečišč, temveč bomo z Belochinim pregibom konstruirali njuno skupno tangento, ki nam bo podala željeni rezultat.

Naj bo $k \in \mathcal{O}$ poljuben. Vzemimo paraboli z goriščema v točkah $P = (-1, 0)$ in $Q = (0, -k)$ ter premici vodnici $p : x = 1$ in $q : y = k$. Paraboli imata skupno gorišče v koordinatnem izhodišču in sta pravokotni druga na drugo, torej imata eno samo skupno tangento. Prepognimo točko P na premico p in točko Q na premico q . Pregib seka y -os v točki R (slika 25).



Slika 25: Martinova konstrukcija števila $\sqrt[3]{k}$.

Trditev 3.8. Točka R iz zgornje konstrukcije ima koordinate $(0, \sqrt[3]{k})$.

Dokaz. Označimo z O koordinatno izhodišče in s S presečišče pregiba z x -osjo. Točki R in S sta zaradi take izbire gorišč in premic vodnic ravno središči daljic z enim krajiščem v točkah P in Q ter drugim krajiščem v njunih slikah. Torej velja $PR \perp RS \perp SQ$. Zato so trikotniki $\triangle POR$, $\triangle ROS$ in $\triangle SOQ$ podobni. Iz tega ob upoštevanju $|OP| = 1$ in $|OQ| = k$ dobimo razmerje

$$\frac{|OR|}{|OP|} = \frac{|OS|}{|OR|} = \frac{|OQ|}{|OS|} \implies |OR| = \frac{|OS|}{|OR|} = \frac{k}{|OS|},$$

iz česar sledi

$$|OR|^3 = |OR| \cdot \frac{|OS|}{|OR|} \cdot \frac{k}{|OS|} = k \implies |OR| = \sqrt[3]{k}.$$

□

Opomba 3.9. V razdelku 6.2.1 bomo spoznali konstrukcijo števila $\sqrt[3]{2}$ preko Belochinega kvadrata, ki je v bistvu poseben primer Martinove konstrukcije.

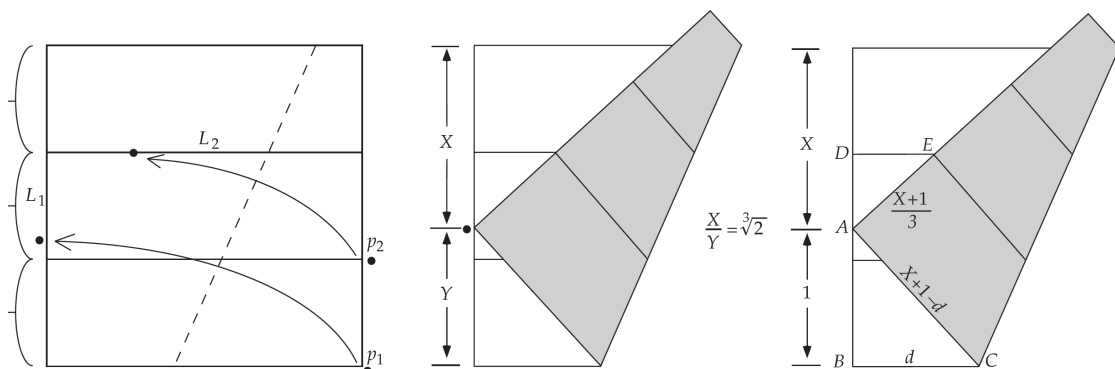
Messerjeva konstrukcija

Peter Messer je v [23] podal naslednjo preprosto konstrukcijo, ki ne konstruira števila $\sqrt[3]{2}$ kot razdaljo, temveč kot razmerje: kvadrat po horizontali razdelimo na tri dele (to sedaj že znamo storiti) ter točki p_1 in p_2 s prepogibom položimo na premici L_1 in L_2 , kot kaže slika 26 (levo).

Trditev 3.10. Slika točke p_1 deli levo stranico kvadrata v razmerju $\sqrt[3]{2}$.

Dokaz. Vpeljimo oznake X, Y, A, B, C, D, E ter $d = |BC|$, kot kaže slika 26. Dokazati moramo $X/Y = \sqrt[3]{2}$, za lažje računanje pa brez škode privzemimo $Y = 1$. Stranica kvadrata je tako dolga $X + 1$, zato je $|AC| = X + 1 - d$ in $|AE| = (X + 1)/3$.

Opazimo podobna pravokotnika $\triangle ABC$ in $\triangle ADE$. Iz trikotnika $\triangle ABC$ s pomočjo Pitagorovega izreka izrazimo $d = (X^2 + 2X)/(2X + 2)$, preko leve stranice



Slika 26: Messerjeva konstrukcija razmerja $\sqrt[3]{2}$. Vzeto iz [13, str. 67–68].

pa še $|AD| = X - (X + 1)/3 = (2X - 1)/3$. Iz podobnosti omenjenih trikotnikov izrazimo razmerje katete in hipotenuze z enačbo $|BC|/|AC| = |AD|/|AE|$. Ko vstavimo noter vse vrednosti, odvisne od X , dobimo enačbo

$$\frac{X^2 + 2X}{X^2 + 2X + 2} = \frac{2X - 1}{X + 1},$$

ki se nam poenostavi prav v $X^3 = 2$. Torej je $X = \sqrt[3]{2}$. □

Še ena konstrukcija $\sqrt[3]{a/b}$ je v [7, str. 366–367].

3.5.2 Trisekcija kota

Kot 90° znamo tretjiniti z neoznačenim ravnilom in šestilom, saj znamo konstruirati kot 30° . Težava je, da ne obstaja konstrukcija, s katero na tri skladne kote razdelimo *poljuben* kot. V [15, str. 77–78] je dokaz o neobstoju konstrukcije za trisekcijo kota 60° . Avtor se pri tem sklicuje na izrek 2.13 in opombo 2.14 iz razdelka 2.3.1. Na kratko – iz zveze $1/2 = \cos 60^\circ = \cos(3 \cdot 20^\circ) = 4 \cos^3 20^\circ - 3 \cos 20^\circ$, z zamenjavo $x = \cos 20^\circ$ dobimo enačbo $8x^3 - 6x - 1 = 0$, ki nima racionalne rešitve. Razsežnost prostora $\mathbb{Q}(x)$ nad obsegom \mathbb{Q} je tako enaka 3 in števila $\cos 20^\circ$ se ne da narisati le z ravnilom in šestilom. Zato trisekcija z evklidskim orodjem v splošnem ni mogoča.

Starogrška rešitev preko presečišča krožnice in hiperbole

Grki so tudi ta problem uspeli rešiti s stožnicami. Videla v [28, str. 6–7] opisuje Pappusovo konstrukcijo iz 3. stoletja po Kr., ki je tu ne bomo dokazali. Gre za sledeč postopek: Na kraku BA poljubnega kota $\angle ABC$ izberemo poljubno točko F in zarišemo krožnico s središčem v točki B in polmerom BF . Naj bo BD simetrala kota $\angle ABC$. Naj bo presečišče krožnice in hiperbole z ekscentričnostjo 2, ki ima gorišče v točki F in premico vodnico BD , točka E (slika 27). Potem poltrak BE tretjini kota $\angle ABC$.

Abejeva metoda

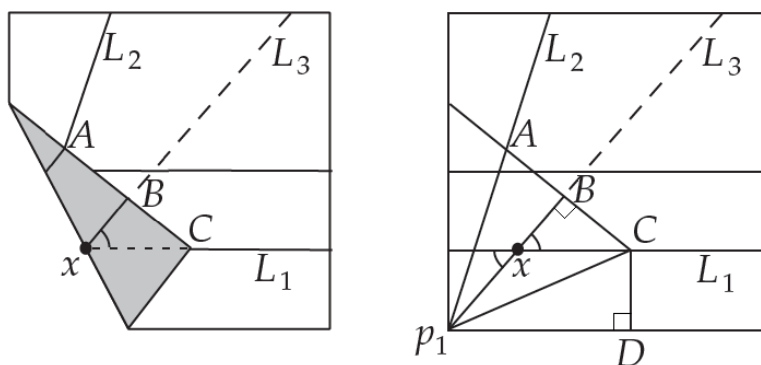
Sledeča metoda ima ime po japonskem matematiku Hisashiju Abeju, ki jo je zapisal v svojem članku leta 1980. Postopek vključuje Belochin pregib, torej se ga ne da

Opomba 3.11. V 3. koraku opravimo pregib še preden smo razgrnili prvega. To je za nas načeloma prepovedana poteza, vendar bi se dalo L_3 konstruirati tudi po klasični poti z enkratnimi prepogibi – označili bi sliko točke, ki leži hkrati na L_1 in levi stranici kvadrata, ter točko v pregibu iz 2. koraka, ki leži na L_1 in skozinju naredili pregib L_3 – zato zaradi lažje izvedbe brez škode dopustimo tak postopek.

Trditev 3.12. *Pregib L_3 poteka skozi točko p_1 . Kot s krakoma L_2 in L_3 ter vrhom v točki p_1 je velik $\theta/3$.*

Posledica 3.13. *Ko spodnji rob kvadrata prepognemo na pregib L_3 , razdelimo kot θ na tri skladne kote.*

Dokaz. Posledica logično sledi, zato dokazujemo le trditev. Označimo z x točko, ki leži na presečišču pregiba L_1 in pregiba iz 2. koraka Abejeve metode. Z A, B , in C označimo še slike točk z leve stranice kvadrata, kot kaže slika 29. Ker je točka



Slika 29: Dokazovanje Abejeve metode. Vzeto in predelano iz [13, str. 65].

C slika točke p_1 in x leži na L_1 , daljica xC leži na L_1 . Po konstrukciji daljica xB leži na L_3 , zato sta kota ob x , ko papir razgrnemo, skladna. Zaradi sovršnosti kotov daljica p_1x leži na L_3 , s čimer je prvi del trditve dokazan.

Na razgrnjenem papirju zarišemo (ali prepognemo) še nekaj daljic (slika 29 desno). Ker velja $|AB| = |BC| = |CD|$ in imata pravokotna trikotnika $\triangle p_1AB$ in $\triangle p_1BC$ skupno še drugo kateto, trikotnika $\triangle p_1BC$ in $\triangle p_1CD$ pa skupno hipotenuzo, so vsi trije trikotniki skladni z enakim kotom v točki p_1 , torej nam pregiba skoz daljici p_1B (kar je ravno L_3) in p_1C kot θ razdelijo na tri skladne kote. \square

Ker ta postopek deluje le za ostre kote, si pogledjmo naslednjo metodo, ki jo lahko uporabljamo tako za ostre kot tudi tope kote.

Justinova metoda

dopolni Avtor Justin:

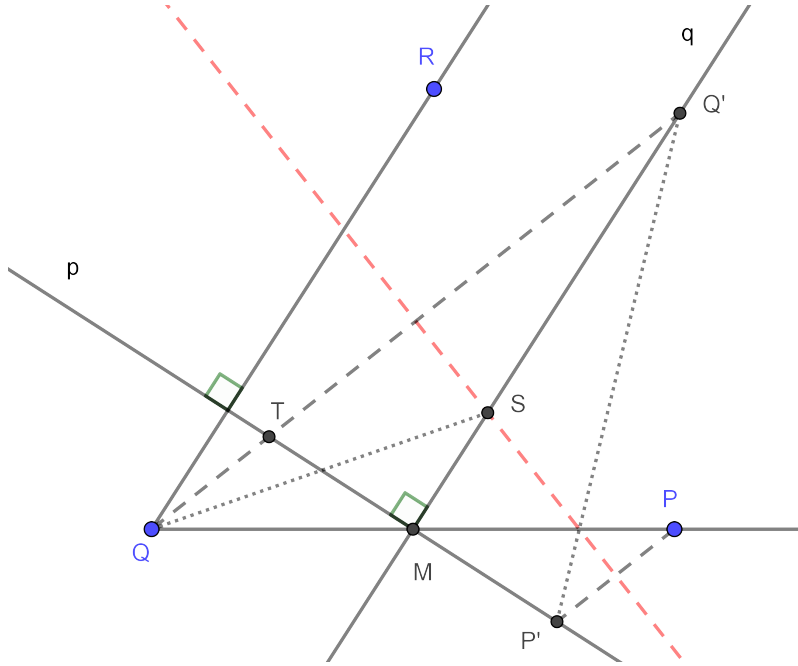
- [17, str. 34]

Še nekaj metod brez znanih avtorjev

Gleason's trisection [8], ma mogoče ne teve

Martin v [22, poglavje 10] navaja še dve metodi za trisekcijo ostrega kota.

Pri prvi metodi vzamemo oster kot $\angle PQR$ in s točko M označimo središče daljice PQ . Skozi M konstruiramo pravokotnico p na QR , nato pa še pravokotnico na p . Opravimo tisti Belochin pregib (od treh možnih), ki seka daljico PM in točko Q položi na premico q (v točko Q'), točko P pa na premico p (v točko P'). S T označimo presečišče daljice QQ' s premico p in s S presečišče pregiba s premico q (slika 30).



Slika 30: Postopek za trisekcijo kota iz [22, str. 154].

Trditev 3.14. *Daljici QT in QS tretjinita kot $\angle PQR$.*

Dokaz. Ker velja $|QM| = |MP|$, $\angle PMP' = \angle TMQ$ in $QT \parallel PP'$, sta trikotnika $\triangle QMT$ in $\triangle PMP'$ skladna in je $|TM| = |MP'|$. Potem sta skladna tudi pravokotna trikotnika $\triangle TMQ'$ in $\triangle P'MQ'$, zato je $\angle MQ'P' = \angle TQ'M = \angle RQQ'$ (zaradi izmeničnih kotov ob vzporednicah QR in q) = $\angle Q'QS$ (ker je trikotnik $\triangle QSQ'$ enakokrak).

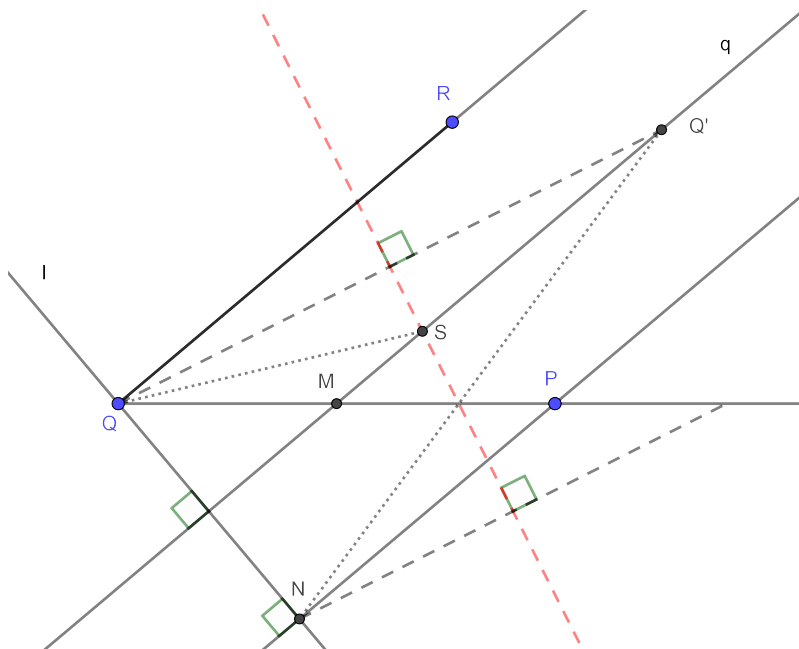
Bralec se lahko hitro prepriča, da daljica $Q'P'$ seka pregib ravno v njegovem presečišču z daljico MP (vsi koti ob tem presečišču so zaradi konstrukcija pregiba in sovršnosti skladni). Zato velja še $\angle PQQ' = \angle P'Q'Q$, iz česar sledi

$$\angle MQS = \angle SQT = \angle TQR.$$

□

Druga metoda je prvi zelo podobna. Zopet vzamemo oster kot $\angle PQR$ in s točko M označimo središče daljice PQ . Naj bo l pravokotnica na QR skozi točko Q , točka

N nožišče pravokotnice na premico l skozi točko P , s q označimo pa še pravokotnico na premico l skozi točko M . Opravimo tisti Belochin pregib, ki točko Q položi na premico q (v točko Q') in točko N na poltrak QR . Naj bo točka S presečišče pregiba s premico q (slika 31).



Slika 31: Postopek za trisekcijo kota iz [22, str. 158–159].

Trditev 3.15. *Daljici QQ' in QS tretjinita kot $\angle PQR$.*

Dokaz. Zopet premislimo, da se pregib, poltrak QP in daljica NQ' sekajo v isti točki. Zato je $\angle QQ'N = \angle PQQ'$. Zaradi vzporednosti kraka QR in premice q sta skladna tudi izmenična kota $\angle RQQ'$ in $\angle QQ'S$, z njima pa je zaradi enakokrakosti trikotnika $\triangle QSQ'$ skladen tudi kot $\angle SQQ'$.

Ker velja $|QM| = |MP|$ in $q \parallel NP$, je premica q simetrala daljice QN , torej tudi simetrala kota $\angle QQ'N$. Iz tega sledi

$$\angle MQS = \angle SQQ' = \angle Q'QR.$$

□

4 Konstrukcija pravilnih n -kotnikov

Izrek: Pravilni n -kotnik lahko narišemo le s šestilom in ravnilom natanko tedaj, ko je število n oblike $n = 2^r(2^{2^s} + 1)$, kjer sta r in s nenegativni celi števili, število $2^{2^s} + 1$ pa je praštevilo.

Fermat je domneval, da je vsako število oblike $2^{2^s} + 1$ praštevilo. To pa ni res. Že Euler je ugotovil, da je število $2^{2^5} + 1$ sestavljeno. Deljivo je s številom 641.

To vse je iz [15, str. 78].

5 Pregibanje tangent na stožnice

Iz didaktičnega vidika zelo zanimivo poglavje nam predstavlja konstrukcije tangent na stožnice s prepogibanjem papirja. Vsebina je tu predstavljena tako, da je bralec najprej povabljen, da vzame list papirja in ga prepogiba po navedenih korakih. Po opazanju, kaj se na papirju pri tem prikaže, preidemo na matematični del, kjer dokažemo, da so prepogibi res tangente na določeno stožnico.

Učitelji matematike so povabljeni, da si pri obravnavi stožnic vzamejo čas in izvedejo spodnje aktivnosti. Dijaki bodo z veliko verjetnostjo presenečeni nad rezultati zgibanja, kar jih lahko bolj motivira za obravnavo geometričnih lastnosti stožnic. Priporočljiva je tudi izvedba ure v računalniški učilnici, kjer lahko vsak dijak z ustreznim programskim orodjem (npr. Geogebra) sam poskusi zgraditi opisano konstrukcijo. S tem lahko znanje o stožnicah le še bolj utrdi.

Z origamijem ne moremo konstruirati gladkih krožnih lokov. Kljub temu pa lahko z upoštevanjem določenih korakov konstruiramo premice, ki so tangentne na neko krivuljo. Več takih tangent nam poda nekakšno lomljenko, če pa bi konstrukcije pregibov ponavljali v nedogled, bi teoretično v limiti res dobili gladko krivuljo.

Definicija 5.1. Naj bo dana družina krivulj s parametrizacijo $F(t, x, y) = 0$, kjer je t njen parameter in F diferenciable za vsak t . *Ovojnica* te družine je krivulja, ki je tangenta na vsako krivuljo iz družine v neki točki, unija točk tangentnosti pa je ravno cela ovojnica.

Opomba 5.2. Vsaka krivulja iz družine mora biti diferenciable in med krivuljami mora biti gladek prehod (**kako to bolj strokovno napisat?**). Vendar to ni zadosten pogoj, da ovojnica te družine obstaja – protiprimer je družina krožnic s skupnim središčem in polmerom, ki se zvezno povečuje [29]. Ovojnica je dana kot rešitev enačb

$$F(t, x, y) = 0 \quad \text{in} \quad \frac{\partial}{\partial t} F(t, x, y) = 0,$$

kjer je $\partial F / \partial t$ parcialni odvod funkcije F po parametru t .

Opomba 5.3. Ker so pregibi ravni, bodo v našem primeru krivulje v družini kar premice. Te premice so torej ravno tangente na ovojnico te družine.

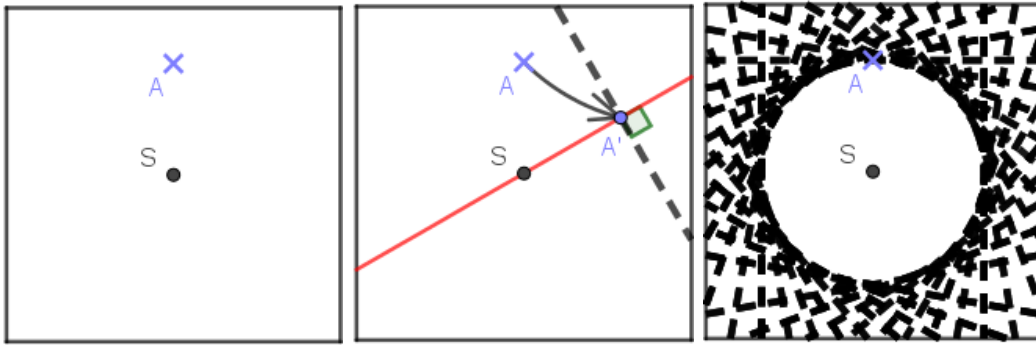
Pa si pogledajmo, kako s prepogibi dobimo tangente na vse štiri stožnice.

5.1 Krožnica

Aktivnost: Vzemi list papirja in svinčnik ter na sredi označi točko S . Nato drugje označi še točko A . Skozi točko S prepogni poljubno premico in na njej označi točko A' , da velja $|SA| = |SA'|$. Nato skozi točko A' prepogni pravokotnico na premico SA' . To je iskan pregib. To ponovi čimvečkrat za različno izbiro premice skozi točko S (gl. sliko 32). Kaj opaziš?

Opomba 5.4. V podpoglavju 2.2.3 smo se naučili prenašati razdalje, zato je zgornja konstrukcija mogoča, zahteva pa še nekaj dodatnih vmesnih pregibov (gl. dokaz trditve 2.10).

Iz konstrukcije pregiba kot pravokotnice na premico SA' skozi točko A' je naslednja trditev očitna in ne potrebuje zapisanega dokaza.



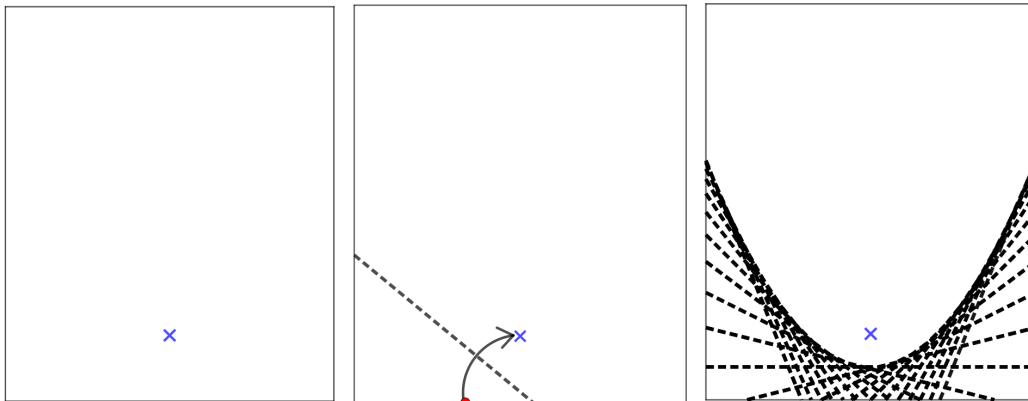
Slika 32: Sukanje izbrane točke okoli središča.

Trditev 5.5. Konstrukcija iz zgornje aktivnosti nam poda pregib, ki je tangento na krožnico s središčem v točki S in polmerom SA .

Za različno izbiro premic skozi točko S dobimo različne tangente. S ponavljanjem konstrukcije tangente v neskončnost dobimo družino tangents, katere ovojnica je krožnica s središčem v točki S in polmerom SA .

5.2 Parabola

Aktivnost: Vzemi pravokoten list papirja in svinčnik ter nekje sredi spodnje polovice lista s pisalom označi točko. Nato si izberi točko še na spodnji stranici lista in ga prepogni tako, da se obe izbrani točki prekrijeta. To ponovi čimvečkrat za različno izbiro točke na spodnji stranici papirja (gl. slika 33). Kaj opaziš?



Slika 33: Prepogibanje spodnje stranice papirja na izbrano točko.

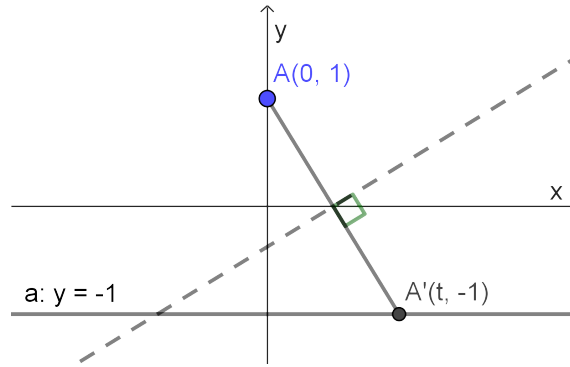
Omenjen pregib je origami operacija O3, lahko pa nanjo gledamo tudi kot na operacijo O6. Za le-to smo v poglavju 2 že premislili, da nam pregib, ki poteka skozi dano točko B in točko A položi na premico a , poda tangento na parabolo z goriščem A in premico vodnico a (gl. slika 5 in premislek nad njo). Tukaj pa take točke B ni, kar pomeni le to, da smo s pregibom konstruirali neko tangento – pregib je namreč simetrala daljice, ki ima za krajišči obe izbrani točki iz navodila aktivnosti, torej obstaja točka (točka P na sliki 5), ki je enako oddaljena od spodnje stranice lista in prve izbrane točke. Nadaljni premislek, da je to edino presečišče pregiba in parabole, je enak kot prej. Spodnja trditev je tako že dokazana.

Trditev 5.6. *Konstrukcija iz zgornje aktivnosti nam poda pregib, ki je tangento na parabolo z goriščem v izbrani točki in premico vodnico, ki jo predstavlja spodnja stranica lista.*

Ker je vsak pregib tangento na isto parabolo, je obris, ki bi nastal po neskončno pregibih, res ta parabola.

To je bil intuitiven premislek. Poglejmo si, kako lahko to dokažemo na bolj matematični način.

Začnimo kar s parametrizacijo družine konstruiranih pregibov. V ta namen v model poljubne točke in spodnje stranice lista vpeljimo nekaj oznak. Naj bo $c \in \mathcal{O}$. Vzemimo točko $A(0, c)$ in premico $a : y = -c$, ki sta origami-konstruktibilni, in naredimo pregib, ki točko A preslika na premico a v točko $A'(t, -c)$ za nek $t \in \mathbb{R}$ (slika 34 v primeru $c = 1$).



Slika 34: Pregib točke $A(0, 1)$ na premico $a : y = -1$ (primer za $c = 1$).

Ker je pregib oz. konstruirana premica simetrala daljice AA' , lahko hitro določimo njeno enačbo. Koeficient nosilke daljice AA' je $k_A = -\frac{2c}{t}$, središče pa $(\frac{t}{2}, 0)$. Tako hitro določimo enačbo pregiba:

$$y = \frac{t}{2c}x - \frac{t^2}{4c}. \quad (5.1)$$

Dobili smo iskano parametrizacijo družine pregibov z enačbo

$$F(t, x, y) = \frac{t}{2c}x - y - \frac{t^2}{4c} = 0.$$

Za vsak $t \in \mathbb{R}$ torej dobimo drugo tangento na parabolo z goriščem v točki A in premico vodnico a z zgornjo enačbo 5.1. Izrazimo sedaj enačbo ovojnice preko sistema enačb iz opombe pod definicijo 5.1. Iz enačbe $(\partial/\partial t)F(t, x, y) = 0$ dobimo $x/(2c) - 0 - (2t)/(4c) = 0$ oz. $x = t$. Ko to vstavimo v enačbo $F(t, x, y) = 0$, dobimo

$$y = \frac{x^2}{4c}, \quad (5.2)$$

torej je ovojnica res parabola. Njeno enačbo lahko dobimo tudi brez definicije ovojnice. Ker so vse točke na pregibu enako oddaljene od točk A in A' , na pregibu obstaja le ena točka T , za katero velja $d(T, A) = d(T, a)$. Njena abscisa je $x = t$ (točka T leži na pregibu točno nad točko A') in iz enačbe 5.1, dobimo še ordinato

$y = t^2/(4c)$. Ker točka T za vsak $t \in \mathbb{R}$ leži na paraboli, pri menjavi $x = t$ dobimo ravno enačbo 5.2.

Preden gremo na naslednji način dokaza, si pogledjmo še vpliv parametra c na parabolo. Razdalja med njenim goriščem in premico vodnico je $2c$ in iz enačbe 5.2 je razvidno, da bo z manjšanjem c parabola vedno ožja.

Hull v [13, str. 55–56] poda prefinjen dokaz preko kvadratne formule. Vemo, da pregib $O6$ ne obstaja vedno (slika 4 desno). Pogledjmo, ali obstajajo v ravnini našega modela kakšne točke, skozi katere ne moremo konstruirati pregiba oz. tangente. Vzemimo našo parametrizacijo družine tangent (enačba 5.1) in za lažje reševanje privzemimo $c = 1$. Če jo rešimo za t , nam dobljena formula pove, za katere vrednosti t pregib poteka skozi točko (x, y) :

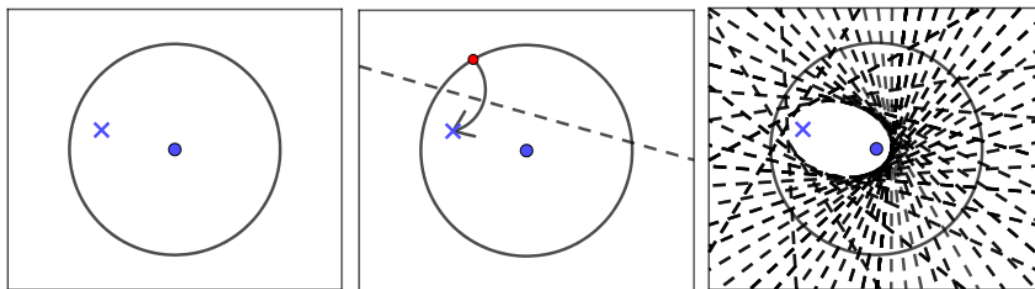
$$\frac{1}{4}t^2 - \frac{x}{2}t + y = 0 \Rightarrow t_{1,2} = \frac{\frac{x}{2} \pm \sqrt{\frac{x^2}{4} - y}}{\frac{1}{2}}.$$

Enačba ima dve realni rešitvi pri pogoju $x^2/4 - y > 0$, kar pomeni, da vsako točko (x, y) , za katero ta pogoj velja, sekata dva pregiba. To so ravno točke pod parabolo $y = x^2/4$. Za točke na paraboli velja $y = x^2/4$, iz česar dobimo eno rešitev $t = x$, torej to točko seka natanko en pregib. Nazadnje nam ostane še območje, za katerega velja $y > x^2/4$, t. j. območje nad parabolo $y = x^2/4$, kar nam ne poda realnih rešitev za t , torej ga ne seka noben izmed konstruiranih pregibov. Tako je obris, ki ga dobimo v nalogi, res parabola $y = x^2/4$.

Aktivnosti za naslednji dve podpoglavji sta enaki kot v tem, le da namesto spodnje tranice lista v izbrano točko prepogibamo krožnico.

5.3 Elipsa

Aktivnost: Vzemi list papirja in svinčnik ter na sredini nariši poljubno krožnico. Označi njeno središče. Na notranji strani krožnice si izberi poljubno točko. Izberi si točko na krožnici in list prepogni tako, da se obe izbrani točki prekrijeta. To ponovi čimvečkrat za različno izbiro točke na krožnici (gl. sliko 35). Kaj opaziš?



Slika 35: Prepogibanje krožnice na izbrano točko znotraj nje.

Opomba 5.7. Za izris poljubne krožnice tu lahko uporabimo šestilo. Prej smo videli, da znamo lomljeno krožnico prepogniti tudi z origamijem, vendar imamo potem na listu papirja veliko pregibov, ki nam ovirajo pogled na ciljno sliko. Zato je uporaba šestila v ta namen dovoljena predvsem iz praktičnega vidika.

Izgleda, kot da se nam izriše elipsa, ki ima za gorišči središče krožnice in izbrano točko znotraj nje. Spomnimo se, da na elipsi ležijo vse točke, katerih vsota razdalj do obeh gorišč je konstantna in enaka dolžini velike osi (t. j. dvakratnik velike polosi). V našem primeru je elipsa natančno določena, kar nam pove naslednja trditev [13, str. 60–61].

Trditev 5.8. *Konstrukcija iz zgornje aktivnosti nam poda pregib, ki je tangento na elipso z goriščema v obeh izbranih točkah in veliko osjo, enako polmeru izbrane krožnice.*

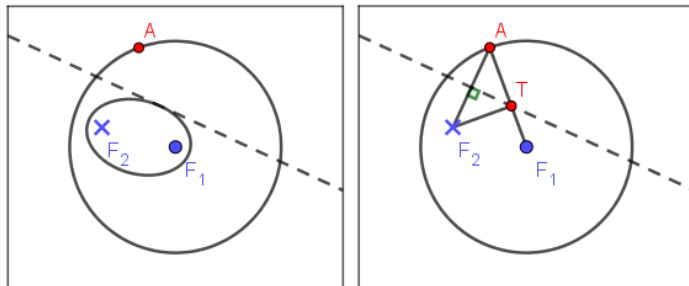
Dokaz. Naj bo točka F_1 središče krožnice s polmerom r in točka F_2 poljubna točka znotraj krožnice. Potem je elipsa, ki ima ti dve točki za svoji gorišči in veliko os enako r , natančno določena. Po navodilih iz aktivnosti konstruiramo en pregib, pri čemer na krožnici izberemo poljubno točko A (slika 36 levo). Dokazujemo, da je tangento na to elipso.

Označimo s T presečišče pregiba in daljice AF_1 (slika 36 desno). (Ali presečišče vedno obstaja? Ja, samo še dokaži to) Ker je pregib simetrala daljice AF_2 , velja $|TA| = |TF_2|$, torej je

$$|TF_1| + |TF_2| = |TF_1| + |TA| = |F_1A| = r$$

za vsako izbiro točke A . Ker je r velika os elipse, točka T leži na njej.

Pokažimo še, da je pregib tangento na elipso. Opazimo, da so vsi trije koti z vrhom v točki T , ki imajo za enega od krakov pregib, skladni. Značilnost tangent na elipso pa je ravno ta, da se žarek, ki ga izstrelimo iz enega gorišča v rob elipse, vedno pod istim kotom odbije v drugo gorišče. Torej je pregib tangento na dano



Slika 36: Dokaz tangenčnosti pregibov na elipso.

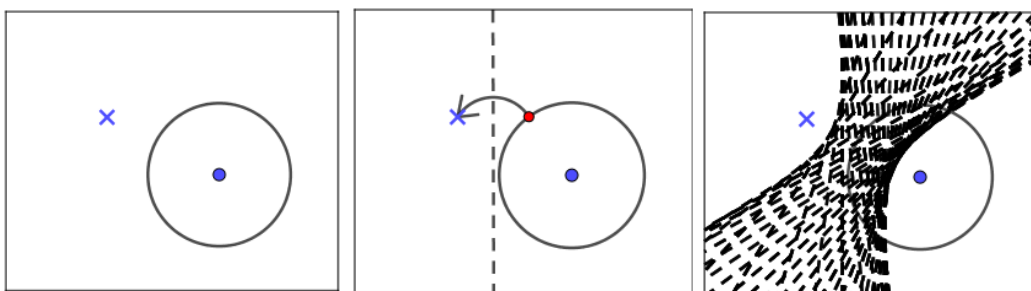
elipso v točki T . □

Bi se dalo dobit enačbo preko ovojnice?

Kaj se zgodi, če točko izberemo *zunaj* krožnice, pa si pogledamo v naslednjem razdelku.

5.4 Hiperbola

Aktivnost: Vzemi list papirja in svinčnik ter na sredini nariši poljubno krožnico. Označi njeno središče. Na zunanji strani krožnice si izberi poljubno točko. Izberi si točko na krožnici in list prepogni tako, da se obe izbrani točki prekrijeta. To ponovi čimvečkrat za različno izbiro točke na krožnici (gl. sliko 37). Kaj opaziš?



Slika 37: Prepogibanje krožnice na izbrano točko zunaj nje.

Podobno kot prej lahko sklepamo, da se nam izriše obris hiperbole. Spomnimo se, da na hiperboli ležijo vse točke, katerih absolutna vrednost razlike razdalj do obeh gorišč je konstantna in enaka dolžini velike osi. Tako kot pri elipski je tudi tu hiperbola natančno določena. Naslednja trditev in dokaz sta zato zelo podobna kot za elipso.

Trditev 5.9. *Konstrukcija iz zgornje aktivnosti nam poda pregib, ki je tangento na hiperbolo z goriščema v obeh izbranih točkah in veliko osjo (t. j. dvakratnik velike polosi), enako polmeru izbrane krožnice.*

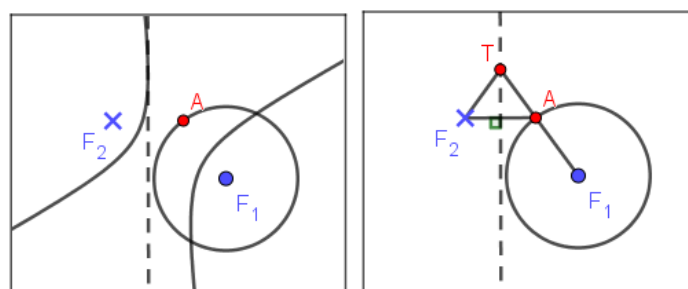
Dokaz. Naj bo točka F_1 središče krožnice s polmerom r in točka F_2 poljubna točka zunaj krožnice. Potem je hiperbola, ki ima ti dve točki za svoji gorišči in veliko os enako r , natančno določena. Po navodilih iz aktivnosti konstruiramo en pregib, pri čemer na krožnici izberemo poljubno točko A (slika 38 levo). Dokazujemo, da je tangento na to hiperbolo.

Označimo s T presečišče pregiba in nosilke daljice AF_1 (slika 38 desno). (Ali presečišče vedno obstaja? NE, V 2 PRIMERIH DOBIMO ASIMPTOTO - ko je premica vzporedna k pregibu) Ker je pregib simetrala daljice AF_2 , velja $|TA| = |TF_2|$, torej je

$$||TF_1| - |TF_2|| = ||TF_1| - |TA|| = |F_1A| = r$$

za vsako izbiro točke A . Ker je r velika os hiperbole, točka T leži na njej.

Pokažimo, da je to res tangenta. Ker je pregib simetrala daljice F_2A , prepolavlja kot $\angle ATF_2$, ki je enak kotu $\angle F_1TF_2$. Torej pregib skozi točko T na hiperboli prepolavlja kot, ki ga ta točka oklepa z goriščema, to pa je ravno značilnost tangent na hiperbolo (zase: pokazi de je to rejs).



Slika 38: Dokaz tangentsnosti pregibov na hiperbolo.

Torej je pregib tangento na dano hiperbolo v točki T . □

Bi se dalo dobit enačbo preko ovojnice?

Bolj analitičen dokaz, kjer se izračuna splošno enačbo elipse in hiperbole glede na izbrano krožnico in točko znotraj oz. zunaj nje, najdemo v [27, str. 204–206]. Tudi Lotka v [20] iz opisane konstrukcije izpelje splošno enačbo elipse in tudi nastavi popravek, ki nam da splošno enačbo hiperbole. S tem oba dokažeta, da je ogrinjača teh pregibov res elipsa oz. hiperbola. Nekaj je tudi v [12, str. 34 spodaj].

6 Reševanje enačb

popravi da so captioni slik, ki so v več kot eni vrstici, poravnani na sredini

Zapustimo deloma področje geometrije in si pogledjmo, kako lahko s prepogibanjem papirja rešujemo enačbe z racionalnimi koeficienti.

Spomnimo se še, da smo origami števila definirali kot vsa števila, ki jih lahko s prepogibanjem konstruiramo preko na začetku danega izhodišča O in števila 1 na realni osi (definicija 2.15). V evklidski ravnini (ki je v bijekciji s kompleksno ravnino, dano v definiciji) bomo konstruirali rešitve naših enačb, da pa bo pregibov čim manj in s tem preglednost večja, za označbo pomožnih točk in premic dopuščamo uporabo pisala (saj bi jih tako ali tako znali konstruirati s pregibi).

Začnimo z najbolj osnovno, t. j. linearno enačbo. Enačba $ax + b = 0$, kjer $a, b \in \mathbb{Q}$ in $a \neq 0$ ima rešitev $x = -b/a$, ki je racionalno število, torej origami število in samo po sebi konstruktibilno. Če bi želeli rešitev konstruirati geometrijsko preko pregibov, v ravnini prepognemo premico $y = ax + b$ (napravimo pregib npr. skozi točki $(0, b)$ in $(1, a+b)$) in njeno presečišče z abscisno osjo nam da iskano rešitev.

Uporaba origamija je za reševanje linearne enačbe očitno manj praktična kot računanje rešitve. Bolj zanimivo je reševanje kvadratne in kubične enačbe. Ker za njune rešitve obstajata splošni formuli, bi jih lahko najprej izračunali in nato preko operacij seštevanja, odštevanja, množenja, deljenja in korenjenja konstruirali s prepogibanjem, vendar je to časovno preveč potratno. Pogledali si bomo, kako se z origamijem lahko temu izognemo in rešitev konstruiramo brez uporabe računskih operacij.

Ključno vlogo bosta v nadaljevanju odigrali origami operaciji O6 in O7. Prva nam hkrati s konstrukcijo tangente na parabolo določi tudi točko na paraboli, skozi katero je pregib tangenten na stožnico, to pa je ekvivalentno reševanju kvadratne enačbe. Druga s konstrukcijo skupne tangente na dve paraboli omogoča reševanje kubične enačbe. Alperin v [1, str. 129] pokaže, kako izpeljati koeficient skupne tangente na dani paraboli in izkaže se, da je iskani koeficient rešitev kubične enačbe. Število skupnih tangent je torej enako številu rešitev kubične enačbe, kar pomeni, da imata paraboli v evklidski ravnini največ tri skupne tangente.

V teoriji bi nam prepogibanje papirja pomagalo tudi pri reševanju kvartičnih enačb, saj zanje še obstaja splošna formula (vendar zaradi dolžine praktično neuporabna) in tudi vemo, da lahko enačbo četrte stopnje prevedemo na enačbe nižje stopnje (gl. [5], [2]). Geometrično pa je to reševanje potem težje izvedljivo in zato manj motivacijsko, saj bi postopek reševanja zahteval veliko več pregibov kot pri reševanju ene kubične ali kvadratne enačbe, pa tudi vmesne rezultate bi morali računati. Tako bi se lahko tu z reševanjem enačb preko origamija ustavili, vendar obstajajo alternativne rešitve. V [3] je opisan postopek, ki preko **projektivne geometrije in dualnih stožnic** ter z Belochinim pregibom reši splošno kubično in nato tudi kvartično enačbo neke določene oblike. Postopek si bomo tudi sami pogledali, saj je zelo zanimiv iz vidika projektivne geometrije.

Za enačbe pete in višjih stopenj pa splošna formula za rešitve ne obstaja več (*Abel-Ruffinijev* izrek, gl. [24]). Kljub temu se da z origamijem še vedno konstruirati rešitve nekaterih enačb višjih stopenj, vendar ne obstaja postopek z enkratnimi prepogibi – potrebno se je poslužiti dvojnih (*two fold*) ali večkratnih (*multi-fold*) prepogibov (gl. poglavje 8).

6.1 Reševanje kvadratne enačbe preko tangente na parabolo

Rešujemo enačbo oblike

$$ax^2 + bx + c = 0,$$

kjer so $a, b, c \in \mathbb{Q}$ in velja $a \neq 0$. Njeni splošni rešitvi sta

$$x_{1,2} = \frac{-b \pm \sqrt{b^2 - 4ac}}{2a}.$$

Postopek, ki si ga bomo pogledali v nadaljevanju, predpostavlja $a = 1$. Ker je vodilni koeficient neničeln, lahko z njim enačbo delimo in pri tem še vedno dobimo racionalne koeficiente, zato lahko predpostavko brez škode za splošnost sprejmemo. Nova oblika enačbe je tako

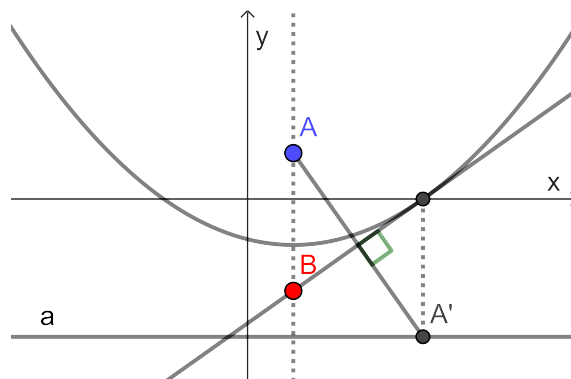
$$x^2 + bx + c = 0. \quad (6.1)$$

Predpostavimo, da ima enačba dve različni realni rešitvi oz. da je diskriminanta enačbe pozitivna, t. j. $D = b^2 - 4c > 0$. Če realnih ničel ni, o origami konstrukciji rešitev namreč nima smisla razpravljati. Če je rešitev ena, je podana kot $x = -b/2$, kar je origami-konstruktibilno število in se ga lahko takoj konstruira.

Enačba 6.1 nam poda pokončno parabolo $y = x^2 + bx + c$ z vodoravno premico vodnico in dvema ničloma, ki sta rešitvi naše enačbe. Iščemo absciso presečišča parabole z abscisno osjo.

Zopet se bomo poslužili dosedanjega znanja o operaciji O6. Ta nam s pregibom skozi dano točko B , ki točko A položi na premico a , konstruira tangento na parabolo z goriščem v točki A in premico vodnico a .

Naša parabola je z enačbo seveda natančno določena. Ideja iskane konstrukcije rešitev enačbe je določiti tako točko B (najlažje kar na osi parabole), da bi nam izvedba operacije O6 podala tangento na parabolo ravno v njeni ničli. Želeni pregib mora potekati skozi točko B in gorišče A položiti na tisto točko A' na premici vodnici a , ki ima enako absciso kot ničla parabole. (gl. sliko 39). Taka točka B je z osjo parabole in katerokoli izmed ničloma (zaradi simetrije) natanko določena.



Slika 39: Operacijo O6 skozi iskano točko B poda rešitev kvadratne enačbe.

Edina nevarnost, da ta konstrukcija ne bo delovala, je možnost, da točka B kdaj ne bo origami-konstruktibilna točka. Zato sedaj izračunajmo njene koordinate in se prepričajmo, da se to nikoli ne bo zgodilo.

Najprej iz dane enačbe parabole določimo njeno gorišče A in premico vodnico a . Spomnimo se, da iz enačbe parabole oblike

$$(x - x_0)^2 = 2p(y - y_0)$$

takoj razberemo koordinati gorišča (x_0, y_0) in enačbo premice vodnice $y = y_0 - p$. V našem primeru enačbo $y = x^2 + bx + c$ preoblikujemo v

$$\left(x - \left(-\frac{b}{2}\right)\right)^2 = 2 \cdot \frac{1}{2} \left(y - \left(c - \frac{b^2}{4}\right)\right).$$

S tem sta gorišče A in premica vodnica a določena:

$$A\left(-\frac{b}{2}, c - \frac{b^2 - 1}{4}\right) \text{ in } a : y = c - \frac{b^2 + 1}{4}.$$

Naj bo t ena izmed rešitev enačbe 6.1. Na premici a z A' označimo točko z absciso t . Poiščimo enačbo pregiba, ki gorišče A položi v točko A' . Ta pregib bo tangento na parabolo ravno v njeni ničli, njegovo presečišče z osjo parabole $x = -b/2$ pa nam bo določilo točko B .

Koeficient nosilke daljice AA' je $-1/(2t+b)$, torej je koeficient pregiba $k = 2t+b$. Pregib je po konstrukciji tangento na parabolo v ničli $(t, 0)$, torej je njegova enačba

$$y = (2t + b)(x - t) = (2t + b)x - 2t^2 - bt = (2t + b)x - t^2 + c.$$

Pri tem smo upoštevali, da velja $t^2 + bt + c = 0$. Presečišče pregiba in osi parabole je tako točka B z absciso $x = -b/2$ in ordinato

$$y = (2t + b)\left(-\frac{b}{2}\right) - t^2 + c = -t^2 - tb + c - \frac{b^2}{2} = c + c - \frac{b^2}{2} = 2c - \frac{b^2}{2}.$$

Obe koordinati sta racionalni, torej je točka B konstruktibilna točka. Ker leži na osi parabole, nam poda obe rešitvi enačbe – pregiba sta si simetrična glede na os. Povzemimo sedaj postopek konstrukcije rešitve kvadratne enačbe 6.1:

1. V koordinatnem sistemu označimo gorišče $A\left(-\frac{b}{2}, c - \frac{b^2}{4} + \frac{1}{4}\right)$, premico vodnico $a : y = c - \frac{b^2+1}{4}$ in točko $B\left(-\frac{b}{2}, 2c - \frac{b^2}{2}\right)$.
2. Z operacijo O6 naredimo pregib skozi točko B , ki točko A položi na premico a (če je diskriminanta enačbe pozitivna, sta možna pregiba dva).
3. Skozi sliko točke A naredimo vertikalni pregib in abscisa njegovega presečišča z abscisno osjo je ničla dane enačbe.

Primer: Poiščimo rešitve enačbe $x^2 - x - 1 = 0$. Določimo obe točki in premico: $A(\frac{1}{2}, -1)$, $B(\frac{1}{2}, -\frac{5}{2})$ in $a : y = -\frac{3}{2}$. Opravimo operacijo O6 in označimo presečišče abscisne osi in pravokotnice nanjo skozi sliko točke A . Če smo bili pri pregibanju natančni, dobimo presečišči pri $x_{1,2} = \frac{1 \pm \sqrt{5}}{2}$ (gl. sliko v [12, str. 37]).

To še zdaleč ni edini postopek za reševanje kvadratne enačbe. Kot še en lep primer Hull v [12, str. 38] navaja Lillovo konstrukcijo preko krožnice, lahek dokaz pa je

prepuščen bralcu. Hkrati je to primer, kako za rešitev nekega problema najprej najdemo (bolj domačo) evklidsko konstrukcijo, ki jo lahko nato preko origami operacij preobrazimo v origami konstrukcijo – saj že vemo, da lahko s prepogibanjem papirja konstruiramo vse in še več, kar se da z evklidskim orodjem. Pri obravnavi kubične enačbe bomo spoznali Belochino metodo, ki se jo da aplicirati tudi na kvadratno enačbo, in prilagojen postopek je tako opisan v razdelku 6.2.3.

6.2 Lillova metoda in Belochin pregib

V tem poglavju se bomo spoznali z Lillovo metodo, s katero lahko v teoriji rešimo enačbo poljubne stopnje. V središču naše pozornosti bo origami postopek za reševanje kubične enačbe, ki ga je odkrila že večkrat omenjena Belocheva, vendar se da po Lillovi metodi z uporabo operacije O6 rešiti tudi kvadratno enačbo, kar si bomo tudi na hitro pogledali proti koncu razdelka. Poleg tega bomo spoznali tudi več sadov Belochinega pregiba.

Sedaj pa vzemimo enačbo oblike

$$ax^3 + bx^2 + cx + d = 0,$$

kjer so $a, b, c, d \in \mathbb{Q}$ in velja $a \neq 0$. Tu je navedena ena oblika zapisa njene splošne rešitve:

$$\begin{aligned} Q &= \sqrt{(2b^3 - 9abc + 27a^2d)^2 - 4(b^2 - 3ac)^3} \\ C &= \sqrt[3]{\frac{1}{2}(Q + 2b^3 - 9abc + 27a^2d)} \\ x_1 &= -\frac{b}{3a} - \frac{C}{3a} - \frac{b^2 - 3ac}{3aC} \\ x_2 &= -\frac{b}{3a} + \frac{C(1 + i\sqrt{3})}{6a} + \frac{(1 - i\sqrt{3})(b^2 - 3ac)}{6aC} \\ x_3 &= -\frac{b}{3a} + \frac{C(1 - i\sqrt{3})}{6a} + \frac{(1 + i\sqrt{3})(b^2 - 3ac)}{6aC} \end{aligned}$$

Operacija O6 nam je preko konstrukcije tangente na parabolo pomagala rešiti kvadratno enačbo. Spomnimo se, da je Belocheva to v tridesetih letih prejšnjega stoletja nadgradila z operacijo O7, ki nam konstruira skupno tangento na dve paraboli hkrati. Po njej jo tudi imenujemo *Belochin pregib*. Z njim je kot prva odkrila resnično moč origami konstrukcij, a je žal trajalo več kot pol stoletja, da so matematiki začeli ceniti njeno odkritje.

6.2.1 Reševanje kubične enačbe z Belochinim postopkom

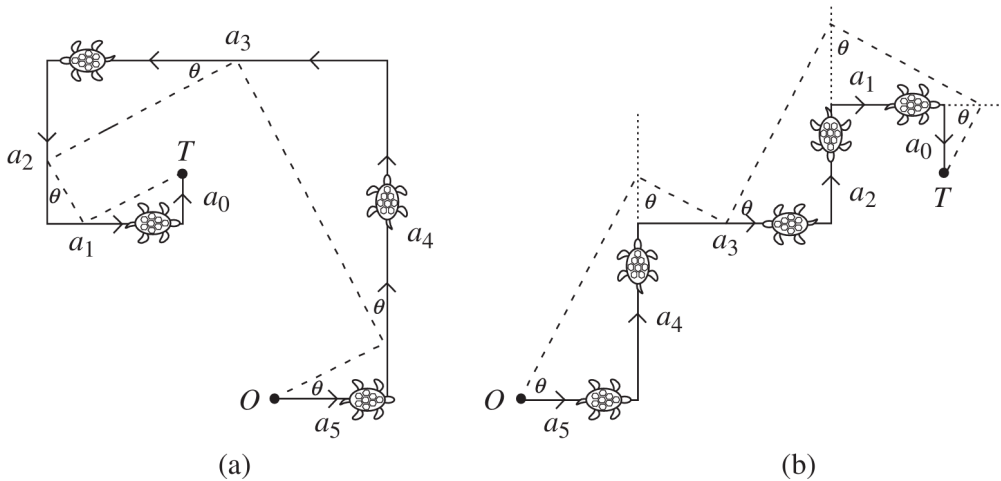
Belocheva je sama odkrila naslednjo metodo reševanja kubične enačbe, kjer nam vsak Belochin pregib poda eno izmed rešitev. Iz začetka poglavja že vemo, da je število rešitev enako številu skupnih tangent, torej številu možnih Belochinih pregibov.

Belocheva v svojem postopku izhaja iz Lillove genialne metode iskanja ničel poljubnih polinomov z realnimi koeficienti, ki si jo bomo v naslednjem razdelku podrobneje pogledali, za njeno aplikacijo pa uporabi avtorsko konstrukcijo – Belochin kvadrat.

Lillova metoda

Njen avtor je avstrijski inženir Eduard Lill, ki jo je l. 1867 opisal v svojem članku [19]. Gre za inovativen postopek, ki je v svoji osnovi čisto enostaven. Imejmo poljuben polinom $p(x) = a_n x^n + a_{n-1} x^{n-1} + \dots + a_2 x^2 + a_1 x + a_0$ z realnimi koeficienti in iščemo njegove realne ničle, če obstajajo. Lill je iz njegovih koeficientov s sledečim postopkom v ravnini ustvaril enolično pot. Običajno se za njeno konstrukcijo uporablja figuro želve, ki nam kaže, v katero smer se premika pa tudi kam je usmerjena.

Na začetku želvo postavimo v koordinatno izhodišče O tako, da gleda v pozitivno smer x -osi. Želva najprej v to smer prehodi razdaljo, enako koeficientu a_n . Nato se obrne za 90° v nasprotno smer urinega kazalca in prehodi naslednjo razdaljo a_{n-1} . To ponovi za vsak koeficient polinoma in po prehojeni razdalji a_0 se ustavi v neki točki T (slika 40). Če je kateri od koeficientov negativen, želva hodi ritensko (primer (b) na sliki 40 za koeficiente a_3, a_2 in a_0), v primeru ničelnega koeficienta pa obstoji na mestu in se samo obrne. S potjo želve dobimo lomljeno črto iz največ $n+1$ daljic, ki jih brez škode označujemo kar z njihovimi "pripadajočimi" koeficienti.



Slika 40: Primera želvine poti za polinoma pete stopnje. Vzeto iz [14, str. 311].

Sedaj se v izhodišče O postavimo še mi in z laserskim žarkom poskusimo zadeti želvo v točki T . Žarek najprej usmerimo daljico a_{n-1} , od katere se odbije v daljico a_{n-2} , od te v daljico a_{n-3} in tako naprej. (slika 40). Pri tem upoštevamo troje:

- laserski žarek ne upošteva odbojnega zakona in se od daljice vedno odbije pod kotom 90° , zato so vpadni koti žarka na vse daljice med seboj enaki in prav tako to velja za odbojne kote;
- žarek se lahko odbije tudi od nosilke daljice;
- vsakič sta možni dve smeri odboja – na isto ali drugo stran daljice oz. njene nosilke – izberemo pa tisto, ki nam omogoči, da sploh lahko zadenemo naslednjo daljico.

Recimo, da smo zmogli zadeti želvo. Kot, ki ga v točki O oklepata laserski žarek in abscisna os, označimo z θ .

Trditev 6.1. Število $x_\theta = -\tan \theta$ je ničla polinoma $p(x)$.

Dokaz. Vzemimo primer, ko so vsi koeficienti polinoma $p(x)$ pozitivni. Želvena pot je v tem primeru sestavljena iz $n+1$ daljic, pot laserskega žarka (ki se vedno odbije od daljice in ne njene nosilke) pa iz n daljic. Slednje so ravno hipotenuze pravokotnih trikotnikov. Za vsako od njih je nasprotna kateta kota θ del daljice a_i , priležno kateto pa označimo z y_i ($n \geq i \geq 1$). dobimo

$$\begin{aligned} y_n &= \tan \theta \cdot a_n = -x_\theta a_n \\ y_{n-1} &= \tan \theta \cdot (a_{n-1} - y_n) = -x_\theta (a_{n-1} + x_\theta a_n) = -(a_{n-1} x_\theta + a_n x_\theta^2) \\ y_{n-2} &= \tan \theta \cdot (a_{n-2} - y_{n-1}) = -x_\theta (a_{n-2} + a_{n-1} x_\theta + a_n x_\theta^2) = \\ &= -(a_{n-2} x_\theta + a_{n-1} x_\theta^2 + a_n x_\theta^3) \\ &\vdots \\ y_1 &= -(a_1 x_\theta + a_2 x_\theta^2 + \dots + a_{n-1} x_\theta^{n-1} + a_n x_\theta^n). \end{aligned}$$

V zadnji enakosti desno stran premaknimo na levo in upoštevamo $y_1 = a_0$. Dobimo ravno $p(x_\theta) = 0$, torej je $x_\theta = -\tan \theta$ res ničla tega polinoma.

Primer negativnih koeficientov: [31, str. 36].

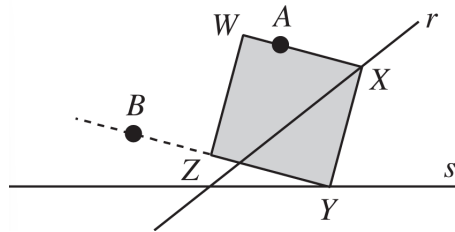
Primer ničelnih koeficientov: isto kot prej, samo se spusti y_i za tisti i , za katerega je $a_i = 0$. (???) □

Če pod nobenim kotom θ ne moremo zadeti želve, je polinom $p(x)$ brez realnih ničel.

Pojavi se nam vprašanje, kako določiti kot θ . Za polinom tretje stopnje je Belocheva preko svojega pregiba našla zelo preprosto rešitev, ki si jo bomo sedaj pogledali.

Belochin kvadrat

Imejmo dani točki A in B ter premici r in s . Z origamijem konstruirajmo kvadrat $WXYZ$, kjer oglišče X leži na premici r , njegovo sosednje oglišče Y pa na premici s . Velja še, da točka A leži na stranici WX (ali njeni nosilki), točka B pa na stranici ZY (ali njeni nosilki, slika 41).



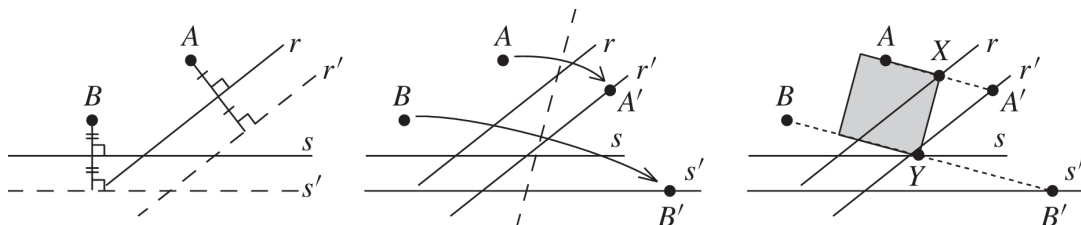
Slika 41: Belochin kvadrat. Vzeto iz [14, str. 309].

Belocheva je iznašla naslednji postopek, ki nam konstruira ta kvadrat:

- Najprej konstruiramo premico r' , ki je vzporedna premici r in od nje enako oddaljena kot točka A , tako da premica r leži med točko A in premico r' . Na

enak način premici s konstruiramo njeno vzporednico s' (slika 42 levo). To konstrukcijo opravimo s prepogibi iz operacije O5, zrcaljenja točke čez premico ter ponovne uporabe operacije O5. Zaradi preglednosti seveda dopuščamo, da namesto zrcaljenja preprosto prepognemo po premici in s svinčnikom označimo sliko točke.

- Nato opravimo Belochin pregib, ki točko A slika v točko A' na premici r' , točko B pa v točko B' na premici s' (slika 42 na sredi).
- Naj bo točka X središče daljice AA' in točka Y središče daljice BB' . Ker je pregib simetrala teh dveh daljic AA' in BB' , sta njuni središči po konstrukciji⁶ ravno presečišči pregiba s premicama r in s (slika 42 desno).
- Daljica XY – ena izmed stranic kvadrata – je po konstrukciji pravokotna na daljici AX in BY , zato samo še določimo točki W in Z na daljicah ali njunih nosilkah in tako dobimo Belochin kvadrat.



Slika 42: Konstrukcija Belochinega kvadrata z origamijem. Vzeto iz [14, str. 310].

Konstrukcija $\sqrt[3]{2}$ z Belochinim kvadratom

Preden ravno naučeno znanje uporabimo za reševanje kubičnih enačb, si še na hitro pogledjmo, kako lahko tudi z Belochinim kvadratom rešimo starogrški problem podvojitve kocke.

Za premico r vzemimo ordinatno os, za premico s pa abscisno os. Določimo še $A = (-1, 0)$ in $B = (0, -2)$. Vzporednici sta torej $r' : x = 1$ in $s' : y = 2$. Belochin pregib seka premico r v točki X , premico s pa v točki Y (slika 43). Z O označimo koordinatno izhodišče in opazimo podobne pravokotne trikotnike OAX , OXY in OYB . Z upoštevanjem $|AO| = 1$ in $|OB| = 2$ dobimo sledeča razmerja:

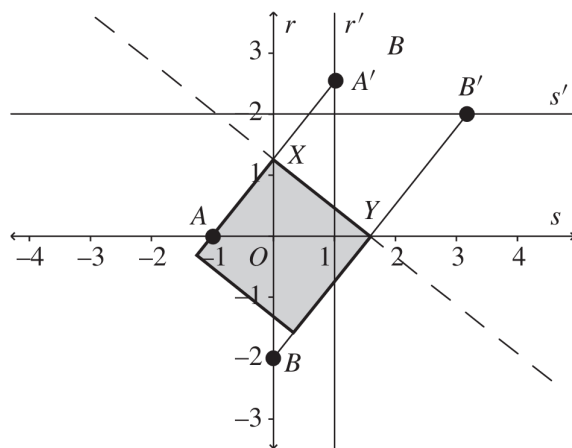
$$\frac{|OX|}{|AO|} = \frac{|OY|}{|OX|} = \frac{|OB|}{|OY|} \implies |OX| = \frac{|OY|}{|OX|} = \frac{2}{|OY|},$$

iz česar sledi

$$|OX|^3 = |OX| \cdot \frac{|OY|}{|OX|} \cdot \frac{2}{|OY|} = 2 \implies |OX| = \sqrt[3]{2}.$$

Vidimo lahko, da je to enaka konstrukcija, kot jo je 50 let kasneje neodvisno od Belocheve odkril G. Martin (razdelek 3.5.1), le da je za točko B vzel točko $(0, -k)$ in s tem konstruiral dolžino $\sqrt[3]{k}$ za poljubno origami število k .

⁶Gledamo lahko dva podobna pravokotna trikotnika s skupnim ogliščem v točki A (oz. B), enega dvakrat večjega od drugega



Slika 43: Konstrukcija $\sqrt[3]{2}$ preko Belochinega kvadrata. Vzeto iz [14, str. 310].

Združitev Lillove metode in Belochinega kvadrata

Za poljubno enačbo $ax^3 + bx^2 + cx + d = 0$, kjer $a \neq 0$, povežimo sedaj Lillovo metodo s konstrukcijo primernega Belochinega kvadrata, ki nam bo natančno določil kot θ . Postopek je sledeč (gl. tudi sliko 44):

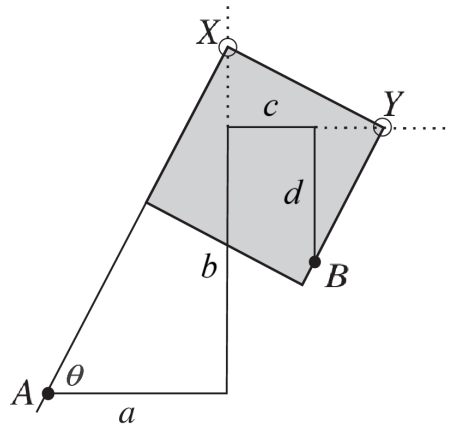
1. Za točko A vzemimo izhodišče O . Začrtamo želvino pot za polinom $p(x) = ax^3 + bx^2 + cx + d$, ki se začne v točki A in konča v točki B . V primeru neničelnih koeficientov je pot sestavljena iz štirih stranic, pot laserskega žarka pa iz treh.
2. Premica r naj bo nosilka daljice b ($r : x = a$), premica s pa nosilka daljice c ($s : y = b$).
3. Določimo premici $r' : x = 2a$ in $s' : y = b + d$ ter opravimo Belochin pregib, ki točko A položi na premico r' in točko B na premico s' .
4. Presečišči pregiba s premicama r in s zaporedoma označimo s točkama X in Y .
5. Zarišemo daljice AX , XY in YB .

Ker po konstrukciji velja $AX \perp XY \perp YB$, je to iskana pot laserskega žarka, ki se odbija pod pravim kotom in zadene želvo. Kot θ je kot, ki ga oklepata daljici a_3 in AX . Rešitev je torej $x_\theta = -\tan \theta$.

Če ima enačba še dve realni rešitvi, sta možna tudi še dva Belochina pregiba (enačba namreč ne more imeti točno dveh realnih rešitev, saj kompleksne rešitve nastopajo v konjugiranih parih).

Opomba 6.2. V resnici nikoli do sedaj nismo potrebovali konstruirati celega kvadrata; potrebovali smo le stranico XY in dejstvo, da je pregib pravokoten na daljici AX in BY .

Opomba 6.3. Enačbe premic r, s, r' in s' so univerzalne in zgornja konstrukcija tako deluje tudi v primeru, ko je kakšen od koeficientov b, c, d ničeln.



Slika 44: Konstrukcija želvine poti za Lillovo metodo preko Belochinega kvadrata. Vzeto in preurejeno iz [14, str. 313].

Kot zanimivost Lavričeva v [18, str. 10–13] s postopkom, ki je malo preurejen Belochin postopek, še analitično pokaže, da je ob primerno izbranih točkah A in B ter premicah r in s koeficient tangentnega pregiba rešitev kubične enačbe. Točki in premici izbere tako, da sta točki X in Y ravno presečišči z ordinatnima osema, iz česar lahko takoj razberemo koeficient tangente. V dokazu izpelje enačbi pripadajočih parabol in splošno enačbo njunih tangent ter iz tega dokaže rečeno. To je lahko odlična vaja za dijake, ki si želijo kakšnega izziva.

Primer reševanja kubične enačbe po Lillovi metodi

Več primerov uporabe Belochinega postopka za reševanje kubičnih enačb je opisanih v [31, str. 38–44], tu pa si pogledjmo, kako rešimo enačbo, ki ima tako pozitivne kot tudi negativne in ničelne koeficiente. Hull v [13, str. 90–92] obravnava enačbo

$$x^3 - 7x - 6 = 0.$$

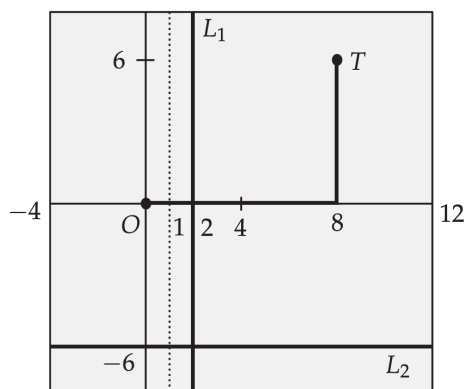
Po Lillovi metodi za točko A vzamemo izhodišče O in začrtamo želvino pot. Najprej gremo za 1 v desno ($a = 1$), se obrnemo za 90° v pozitivno smer in obstojim na mestu ($b = 0$), se zopet obrnemo 90° v pozitivno smer in se premaknemo za 7 v nasprotno smer, torej zopet v desno ($c = -7$), na koncu pa se po ponovnem obratu za 90° v pozitivno smer premaknemo za 6 navzgor ($d = -6$). Končamo v točki $T = (8, 6)$.

Označimo še premice $r : x = a = 1$, $r' (na\ sliki\ 45\ označena\ z\ L_1) : x = 2a = 2$, $s : y = b = 0$ in $s' (na\ sliki\ 45\ označena\ z\ L_2) : y = b + d = -6$.

Želvina pot je sedaj pripravljena, da točko O prepognemo na premico L_1 in hkrati točko T na premico L_2 . Presečišči pregiba s premicama r in s nam data točki, kjer se laserski žarek za pravi kot odbije in na koncu zadane točko T . Kot, ki ga oklepa žarek z x -osjo ob koordinatnem izhodišču, nam podaja rešitev enačbe.

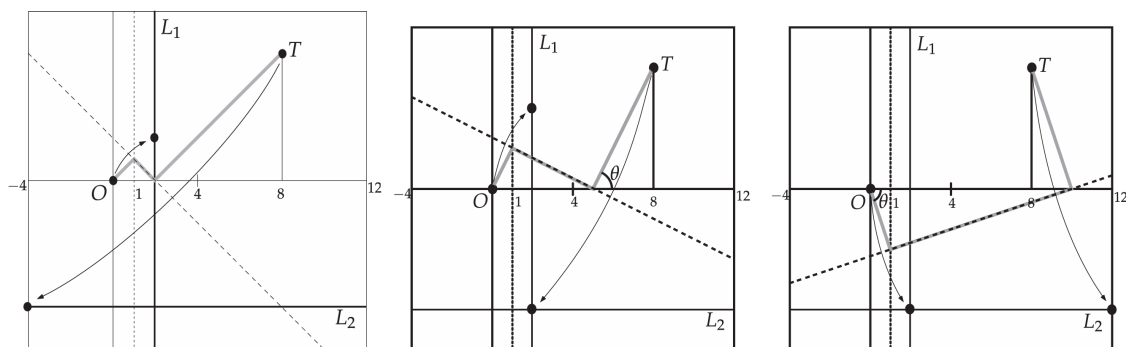
Na sliki 46 so konstrukcije vseh treh možnih pregibov. Začnimo z leve proti desni in za vsakega od njih pogledamo, kaj dobimo:

1. V prvem primeru se nam točka O preslika v točko $(2, 2)$, točka T pa v točko $(-4, -6)$, torej je kot $\theta = 45^\circ$, kar pomeni $x_{45^\circ} = -\tan 45^\circ = -1$. Preverimo, ali x_{45° res reši našo enačbo. Zares, $(-1)^3 - 7 \cdot (-1) - 6 = 0$.



Slika 45: Priprava želvine poti in premic za reševanje enačbe z Lillovo metodo. Vzeto iz [13, str. 87].

2. Točka T se v drugem primeru preslika ravno v presečišče premic L_1 in L_2 , torej v točko $(2, -6)$. Pregib torej premico s , ki je v našem primeru kar x -os, seka v točki $(5, 0)$ (ker je presečišče središče daljice s krajišči v točki T in njeni sliki). Rešitev x_θ lahko preberemo kar iz zadnjega pravokotnega trikotnika preko definicije konte funkcije tangens – $x_\theta = -\tan\theta = -6/3 = -2$. In res je $(-2)^3 - 7 \cdot (-2) - 6 = 0$.
3. V zadnjem primeru pa se v presečišče premic L_1 in L_2 preslika izhodišče O . Zato pregib premico r seka v točki $(1, -3)$ in za kot θ gledamo prvi pravokotni trikotnik. Dobimo $x_\theta = -\tan\theta = -(-3)/1 = 3$. Preverimo rešitev in dobimo $3^3 - 7 \cdot 3 - 6 = 0$.



Slika 46: Pregibi, ki rešijo kubično enačbo $x^3 - 7x - 6 = 0$. Vzeto iz [13, str. 91–92].

Seveda se da enačbo $x^3 - 7x - 6 = 0$ hitreje rešiti z računanjem, vendar je ravno zaradi tega lep primer za uporabo Lillove metode z Belochinim pregibom, saj se da rešitve iz konstrukcije (ob natančnih prepogibih) takoj prebrati.

6.2.2 Reševanje dveh starogrških problemov z Belochinim postopkom

Problema *podvojitve kocke* in *trisekcije kota* smo rešili že v razdelku 3.5, zato si tukaj le pogledamo nastavek reševanja še z uporabo ravno spoznane metode. Enostavno

povedano – preblema prevedimo v reševanje kubičnih enačb. Bralec je ob sledečih enačbah povabljen, da sam konstruira želvino pot in opravi Belochin pregib.

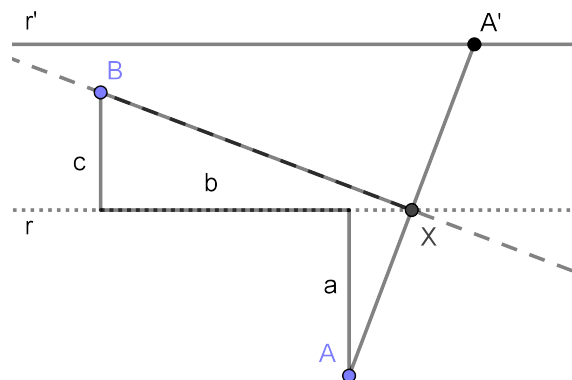
Pri podvojitvi kocke je to zelo enostavno, saj rešujemo enačbo $x^3 - 2 = 0$.

Za trisekcijo kota se spomnimo, da velja $\cos 3\theta = 4\cos^3 \theta - 3\cos \theta$. Naj bo $k = \cos 3\theta$ dana konstanta (saj imamo dan poljuben kot, za lažje reševanje recimo $3\theta = 60^\circ$, ki se ga z evklidskim orodjem ne da tretjiniti), iščemo pa $x = \cos \theta$. Torej rešujemo enačbo $4x^3 - 3x - k = 0$.

Lahko kkšna slika. Pa če enačbe omeniš že v poglavju o starogrških problemih, pol tle to podpoglavje samo spremeni v opombo, npr. spomnimo se blablabla in da lahko bralec te enačbe reši z Lillovo metodo.

6.2.3 Reševanje kvadratne enačbe z Lillovo metodo

Lillovo lahko uporabimo tudi za reševanje kvadratne enačbe $ax^2 + bx + c = 0, a \neq 0$. Na enak način v koordinatni sistem zarišemo želvino pot, ki se začne v točki A in konča v točki B . Za razliko od prej tu ne uporabimo Belochinega pregiba, temveč pregib iz operacije O6. Namesto dveh premic r in s imamo le eno – naj bo r nosilka daljice b . Kot prej – na razdalji a na drugi strani točke A – označimo še njeno vzporednico r' . Konstruiramo pregib, ki gre skozi točko B in točko A položi na premico r' . Njegovo presečišče s premico r nam določi točko X , kjer se žarek iz točke A pod pravim kotom odbije v točko B . Na sliki 47 je primer kosntrukcije pri negativnem koeficientu c . S tem je kot θ določen. Premislili smo tudi že, da sta možna največ dva pregiba in da je število pregibov enako številu realnih rešitev enačbe.



Slika 47: Reševanje kvadratne enačbe po Lillovi metodi z operacijo O6 ($c < 0$).

6.2.4 Hatorijeva konstrukcija

Japonski matematik Koshiro Hatori navaja postopek, ki je zelo podoben Belochinem postopku, vendar ga je avtor iznašel neodvisno od Belochinega dela. Brez škode za splošnost predpostavi $a = 1$ in za reševanje enačbe $x^3 + bx^2 + cx + d = 0$ sledi naslednjim korakom:

- Vkoordinatnem sistemu označimo točki $A = (b, 1)$ in $B = (d, c)$ ter premici $a : y = -1$ in $b : x = -d$.

- Opravimo pregib, ki točko A položi na premico a ter točko B na premico b (kar je ravno Belochin pregib).

Avtor zaključí, da je koeficient opravljenega pregiba rešitev naše enačbe.

Bralec lahko sam premisli, da je to v resnici ravno Belochin postopek, le da se želva na začetku svoje poti ne nahaja v koordinatnem izhodišču in je najprej usmerjena navzdol. Prav tako lahko izrazi koeficient pregiba s kotom ob začetni točki A in res dobi $k = -\tan \theta$. (to si tudi sama preverila in res drži). Za geometrijsko razlago preko parabol gl. [10].

Opomba 6.4. Seveda bi lahko vzeli katerikoli $a \in \mathbb{Q}$ in vzeli premico $a : y = -a$.

6.3 Kubična in kvartična enačba v afini ravnini

A je naslov ok ali je preveč misteriozen in kontraverzen?

Kot že omenjeno v uvodu tega poglavja, se Edwards in Shurman v [3] ukvarjata z reševanjem enačb tretje in četrte stopnje preko iskanja skupnih tangent na določene stožnice, pri tem pa uporabljata princip Belochinega pregiba. Pri kubični enačbi iz njenih koeficientov določita gorišči in premici vodnici dveh parabol, rešitve enačbe pa so koeficienti skupnih tangent. Postopek za reševanje kvartične enačbe je podoben, le da iz njenih koeficientov določita parabolo in krožnico, rešitve pa so začetne vrednosti skupnih tangent. Videli bomo, da slednji postopek deluje le za nekatere kvartične enačbe.

Preden se podamo na natančnejšo razčlenitev njunega dela, se najprej vprašajmo, kako lahko z origamijem določimo skupno tangento na parabolo in krožnico – do sedaj to namreč znamo le v primeru dveh parabol (preko Belochinega pregiba). Postopek je v svojem bistvu zelo enostaven. Pri danem gorišču in premici vodnici parabole ter krožnici s središčem v točki S in polmerom r zarišemo krožnico z istim središčem ter dvakratnim polmerom, torej $2r$. Nato po zgledu Belochinega pregiba opravimo pregib, ki gorišče parabole položi na njeno premico vodnico, središče S pa na rob krožnice s polmerom $2r$. Pregib je tako res skupna tangenta na parabolo in krožnico s polmerom r (slika **dej kakšen slikovni primeeeeeer – lahko kar sliko 3 iz tega vira**).

Opomba 6.5. V tem razdelku za potrebe reševanja izjemoma potrebujemo šestilo, s katerim iz koeficientov kvartične enačbe konstruiramo krožnico.

Postopek se trenutno lahko dozdeva enostaven, vendar nas do enačb iskanih stožnic čaka še dolga pot. (Nekeje od tega de se moramo spomnit splošne enačbe stožnic in affine pa projektivne geometrije blablabla)

Definicija projektivne geometrije nad vektorskim prostorom V (mi bomo imeli $V = \mathbb{R}^3$.)

Stožnica \mathcal{S} ima v $\mathcal{P}(\mathbb{R}^3)$ (A ta“P” je normalen font al tak kot tle?) homogenizirano (?) enačbo

$$\mathcal{S} : a_{11}x^2 + 2a_{12}xy + a_{22}y^2 + 2a_{13}xz + 2a_{23}yz + a_{33}z^2 = 0, \quad (6.2)$$

kar lahko zapišemo v obliki

$$\mathcal{S} : v^T M v = 0, \text{ kjer sta } v = \begin{bmatrix} x \\ y \\ z \end{bmatrix} \text{ in } M = \begin{bmatrix} a_{11} & a_{12} & a_{13} \\ a_{12} & a_{22} & a_{23} \\ a_{13} & a_{23} & a_{33} \end{bmatrix}.$$

Pri tem je simetrična matrika M definirana do neničelnega skalarnega večkratnika natančno. Stožnica \mathcal{S} je *neizrojena* (ni unija dveh premic ali ene, dvojno štete premice), če ima poln rang, t. j. **rang** (– dej v matematično okolje?) $M = 3$ oz. ekvivalentno, $\det M \neq 0$. V nadaljevanju bomo delali le z neizrojenimi stožnicami, torej vedno obstaja inverz matrike M , ki je prav tako simetričen.

Iz prvega minorja matrike M lahko takoj preberemo, za katero vrsto neizrojene stožnice gre. Naj bo $A_M = a_{11}a_{22} - a_{12}^2$ (Vir tega je Wikipedia: Matrix representation of conic sections. Kakšen bolj zanesljiv vir?):

- \mathcal{S} je hiperbola, če in samo če $A_M < 0$,
- \mathcal{S} je parabola, če in samo če $A_M = 0$ in
- \mathcal{S} je elipsa, če in samo če $A_M > 0$. Če poleg tega velja še $a_{11} = a_{22}$ in $a_{12} = 0$, je \mathcal{S} krožnica.

(Definicija dualnosti?)

Dualno stožnico (a je prevod ok?) stožnice \mathcal{S} definiramo z inverzno matriko:

$$\hat{\mathcal{S}} : v^T M^{-1} v = 0.$$

Naj bo $p \in \mathcal{S}$ točka na stožnici \mathcal{S} in naj bo $q = Mp$. Potem je

$$q^T M^{-1} q = (Mp)^T M^{-1} (Mp) = p^T M^T M^{-1} Mp = p^T Mp = 0,$$

kar pomeni, da je $q \in \hat{\mathcal{S}}$. Ker je M obrnljiva, je preslikava $\mathcal{S} \rightarrow \hat{\mathcal{S}}$ s predpisom $p \mapsto Mp$ bijekcija med stožnico \mathcal{S} in njeno dualno stožnico $\hat{\mathcal{S}}$. Kaj pa so točke dualne stožnice $\hat{\mathcal{S}}$? (Dokončaj; zakaj je q ravno tangenta na \mathcal{S} ?)

Naj bosta \mathcal{S}_1 in \mathcal{S}_2 stožnici s pripadajočima simetričnima obrnljivima matrikama M_1 in M_2 . Potem je njuna skupna tangenta skupna točka njunih dualnih stožnic $\hat{\mathcal{S}}_1$ in $\hat{\mathcal{S}}_2$. Torej iščemo $q \in \hat{\mathcal{S}}_1, \hat{\mathcal{S}}_2$, (a je q res prou tangenta? to je pač točka od dualne stožnice) ki reši sistem enačb

$$q^T M_1^{-1} q = 0 \quad \text{in} \quad q^T M_2^{-1} q = 0. \quad (6.3)$$

kakšne oblike je q ? oziroma tangenta?

Reševanje kubične enačbe

Zopet rešujemo kubično enačbo oblike $x^3 + bx^2 + cx + d = 0, d \neq 0$. Za stožnici vzamemo naslednji parabol:

- $\mathcal{P}_1 : (y + c)^2 = -4d(x - b)$ z goriščem $F_1(b - d, -c)$ in premico vodnico $L_1 : x = b + d$,
- $\mathcal{P}_2 : x^2 = -4y$ z goriščem $F_2(0, -1)$ in premico vodnico $L_2 : y = 1$.

Iz enačb parabol zapišemo njuni matriki

$$M_1 = \begin{bmatrix} 0 & 0 & 2d \\ 0 & 1 & c \\ 2d & c & c^2 - 4bd \end{bmatrix} \quad \text{in} \quad M_2 = \begin{bmatrix} 1 & 0 & 0 \\ 0 & 0 & 2 \\ 0 & 2 & 0 \end{bmatrix}$$

ter izračunamo njuna inverza

$$M_1^{-1} = \frac{1}{d} \begin{bmatrix} b & -c/2 & 1/2 \\ -c/2 & d & 0 \\ 1/2 & 0 & 0 \end{bmatrix} \quad \text{in} \quad M_2^{-1} = \begin{bmatrix} 1 & 0 & 0 \\ 0 & 0 & 1/2 \\ 0 & 1/2 & 0 \end{bmatrix}.$$

Naj bo $q = [A \ B \ C]^\top \in \hat{\mathcal{P}}_1, \hat{\mathcal{P}}_2$ skupna tangenta (je to res “tangenta” al kako se temu reče?) na parabolih \mathcal{P}_1 in \mathcal{P}_2 . Iz sistema enačb 6.3 dobimo nov sistem

$$bA^2 - cAB + AC + dB^2 = 0 \quad \text{in} \quad -BC = A^2. \quad (6.4)$$

Da dobimo nevertikalno afino skupno tangento na parabolih \mathcal{P}_1 in \mathcal{P}_2 , normaliziramo $B = -1$ in $z = 1$, s čimer dehomogeniziramo (? pogledj kako je z izrazi, pa $z = 1$ je verjetno pač k je afina ravnina, zakaj pa je $B = -1$?) tangento $Ax + By + Cz = 0$ v $y = Ax + C$. S tem se druga enačba v sistemu 6.4 preuredi v $C = A^2$, prva pa v

$$A^3 + bA^2 + cA + d = 0,$$

kar pomeni, da nam A , koeficient skupne tangente, reši izvorno kubično enačbo.

Opomba 6.6. S konstrukcijo pregibov pa še ne dobimo njegovega koeficienta. V praksi lahko to storimo tako, da poiščemo presečišče pregiba z x -osjo, npr. točko $(x_0, 0)$ in na razdalji 1 v desno konstruiramo pravokotnico na x -os skozi točko $(x_0 + 1, 0)$, ki bo tangento sekala ravno v točki $(x_0 + 1, A)$. Sedaj lahko tudi uradno potrdimo konstrukcijo realne rešitve kubične enačbe. Lahko daš eno slikco za izi prikaz.

Dodaj konkreten primer iz članka, origami pregibe si tudi fizično sprobala na enem listi.

Reševanje kvartične enačbe

Kot že povedano, sledeči postopek ne rešuje splošne enačbe četrte stopnje, temveč njeno zreducirano obliko

$$x^4 + bx^2 + 2cx + d = 0 \quad (6.5)$$

(Omeni, da se da vsako kvartično enačbo zreducirati v to?) Smiselno predpostavimo $d \neq 0$, saj bi se v nasprotnem primeru pri eliminaciji ničle $x = 0$ enačba prevedla na kubično. Poleg tega predpostavimo še $c \neq 0$, ki nam prepreči, da bi se enačba z uvedbo nove spremenljivke za x^2 prevedla celo na kvadratno enačbo.

omeni Bezuatov izrek al kaj je že in da dualne stožnice imajo kvadratno enačbo, kar pomeni, da imata dve največ štiri skupne točke (tangente) v kompleksni projekтивni ravnini; ker so inverzne matrike realne, nastopajo v konjugiranih parih, torej imata po nič, dve ali štiri skupne tangente (šteto z večkratnostjo). A je tu not tudi tangenta v neskončnosti všteta? Skratka, dve parabolih pa imata skupno tangento v neskončnosti, kar pomeni, da potem ne pustita dovolj afinih tangent, ki bi rešile kvartično enačbo (ker so afine tangente največ tri). Zato ne moremo vzeti dveh parabol.

Zgornjo metodo bi lahko uporabili tudi tu. Avtorja pri predpostavki $bd - c^2 \neq 0$ vzameta naslednji stožnici:

- $\mathcal{S} : dx^2 + 2cxy + by^2 + bd - c^2 = 0$ in
- parabolu od prej, t. j. $\mathcal{P} : x^2 = -4y$.

Bralec je povabljen, da po enakem postopku kot pri kubični enačbi izpelje, da koeficient skupne tangente $y = Ax + C$ reši enačbo 6.5. (To si izpeljala). Stožnicama \mathcal{S} in \mathcal{P} zaporedoma pripadata matriki

$$M_{\mathcal{S}} = \begin{bmatrix} d & c & 0 \\ c & b & 0 \\ 0 & 0 & bd - c^2 \end{bmatrix} \quad \text{in} \quad M_{\mathcal{P}} = \begin{bmatrix} 1 & 0 & 0 \\ 0 & 0 & 2 \\ 0 & 2 & 0 \end{bmatrix}.$$

Ker za glavni minor matrike $M_{\mathcal{S}}$ velja $A_{M_{\mathcal{S}}} = bd - c^2 \neq 0$, stožnica \mathcal{S} ni parabola in ker velja $c \neq 0$, ne more biti niti krožnica. Torej je lahko le elipsa ali hiperbola. Tu pa nastane težava, saj avtorja nista uspela najti splošne geometrijske metode za konstrukcijo skupne tangente na parabolo in elipso oz. hiperbolo. Ker pa znamo konstruirati skupno tangento na parabolo in krožnico, predlagata malo prilagojen postopek, ki je sicer algebraično manj eleganten, vendar geometrijsko toliko lažje izveden.

Pri danih koeficientih b, c, d enačbe 6.5 vpeljimo novi oznaki

$$e = \frac{\sqrt{bd - c^2}}{d} \quad \text{in} \quad r = |e|\sqrt{-d},$$

iz česar sledita relaciji, ki ju bomo kasneje uporabili pri izpeljavi:

$$b = de^2 + \frac{c^2}{d^2} \quad \text{in} \quad -\frac{de^2}{r^2} = 1. \quad (6.6)$$

Opomba 6.7. Smiselno za koeficiente b, c, d predpostavimo $bd - c^2 > 0$ in $d < 0$. Zato s tem postopkom ne moremo reševati poljubnih enačb četrte stopnje. Avtorja nato predlagata naslednji matriki za dualni stožnici $\hat{\mathcal{C}}$ in $\hat{\mathcal{P}}$:

$$M_{\hat{\mathcal{C}}}^{-1} = \begin{bmatrix} 1 & 0 & 0 \\ 0 & 1 & 0 \\ 0 & 0 & -1/r^2 \end{bmatrix} \quad \text{in} \quad M_{\hat{\mathcal{P}}}^{-1} = \begin{bmatrix} 0 & 0 & de/2 \\ 0 & -d & c/2 \\ de/2 & c/2 & 0 \end{bmatrix}.$$

Če izračunamo njuna inverza, dobimo matriki

$$M_{\mathcal{C}} = \begin{bmatrix} 1 & 0 & 0 \\ 0 & 1 & 0 \\ 0 & 0 & -r^2 \end{bmatrix} \quad \text{in} \quad M_{\mathcal{P}} = -\frac{1}{d^3 e^2} \begin{bmatrix} c^2 & -cde & -2d^2 e \\ -cde & d^2 e^2 & 0 \\ -2d^2 e & 0 & 0 \end{bmatrix}.$$

Iz njiju zapišemo predpisa stožnic v afini ravnini ($z = 1$) in dobimo:

- krožnico $\mathcal{C} : x^2 + y^2 = r^2$ s središčem v $S(0, 0)$ in polmerom r ter
- parabolo $\mathcal{P} : c^2 x^2 - 2cdexy + d^2 e^2 y^2 - 4d^2 ex = 0$ (ker je $A_{M_{\mathcal{P}}} = 0$, je \mathcal{P} res parabola).

Z določitvijo gorišča in premice vodnice parabole \mathcal{P} se bomo ukvarjali pozneje; najprej algebraično poiščimo skupno tangento na dani stožnici.

Naj bo $q = [A \ B \ C]^\top$ presečišče dualnih stožnic $\hat{\mathcal{C}}$ in $\hat{\mathcal{P}}$. Iz sistema enačb 6.3 dobimo nov sistem

$$A^2 + B^2 = \frac{C^2}{r^2} \quad \text{in} \quad deAC - dB^2 + cBC = 0. \quad (6.7)$$

Z določitvijo $B = -1$ in $z = 1$ zopet dobimo afino obliko skupne tangente kot $y = Ax + C$. Ko B vstavimo v sistem 6.7, prvo enačbo množimo z de^2C^2 , drugo kvadriramo, delimo z d in vstavimo v prvo enačbo, dobimo

$$-\frac{de^2}{r^2}C^4 - (de^2 + \frac{c^2}{d})C^2 + 2cC + d = 0.$$

V dobljeno enačbo vstavimo relaciji 6.6 in dobimo

$$C^4 + bC^2 + 2cC + d = 0,$$

kar pomeni, da nam C , začetna vrednost tangente oz. njeno presečišče z ordinatno osjo reši izvorno kvartično enačbo.

Sedaj poiščimo še gorišče in premico vodnico parabole \mathcal{P} . Potem bo postopek konstrukcije skupne tangente, kot smo ga opisali že zgoraj – najprej narišemo krožnico s središčem S in polmerom $2r$ ter gorišče in premico vodnico parabole. Nato opravimo pregib, ki hkrati položi gorišče na premico vodnico in središče krožnice na njen rob. Presečišče pregiba z ordinatno osjo je rešitev naše enačbe (seveda poiščemo vse možne pregibe, ki so največ štirje).

Iz enačbe parabole $\mathcal{P} : c^2x^2 - 2cdexy + d^2e^2y^2 - 4d^2ex = 0$ ne moremo enostavno prebrati gorišča in premice vodnice, zato (x, y) -sistem prevedimo v (a je izraz primeren?) (z, w) -sistem s sledečo preslikavo (od kje pride ta P ?):

$$\begin{bmatrix} x \\ y \\ 1 \end{bmatrix} = P \cdot \begin{bmatrix} z \\ w \\ 1 \end{bmatrix}, \quad \text{kjer je } P = \begin{bmatrix} c/bd & de & c^2e/b^2 \\ -e/b & c & -(bc + cde^2)/b^2 \\ 0 & 0 & 1 \end{bmatrix}.$$

Ko to vstavimo v matrično enačbo parabole $[x \ y \ 1]P[x \ y \ 1]^\top$, po računanju in poenostavljanju⁷ na koncu dobimo

$$\mathcal{P} : z^2 = 4d^3e^2w.$$

V (z, w) sistemu ima parabola gorišče v $F_{zw}(0, d^3e^2)$ in premico vodnico $L_{zw} : w = -d^3e^2$ oziroma $L_{zw} : (z, w) = (0, -d^3e^2) + t(1, 0), t \in \mathbb{R}$. Izhodišče v (x, y) -sistemu je tako v točki $O_{xy}(c^2e/b^2, -(bc + cde^2)/b^2)$. Iz tega lahko izračunamo še gorišče in premico vodnico v (x, y) -sistemu:

$$F_{xy} = P \cdot \begin{bmatrix} 0 \\ d^3e^2 \\ 1 \end{bmatrix} \longrightarrow F_{xy} = O_{xy} + d^3e^2(de, c) = \left(\frac{c^2e}{b^2} + d^4e^3, -\frac{bc + cde^2}{b^2} + cd^3e^2\right),$$

⁷Za izračun je potrebna programska oprema, kot je npr. Wolfram Mathematica. imaš zračunano, lahko vstavim tle screenshot za dokaz, da sem zračunala?

$$L_{xy} = P \cdot \left(\begin{bmatrix} 0 \\ -d^3 e^2 \\ 1 \end{bmatrix} + t \cdot \begin{bmatrix} 1 \\ 0 \\ 1 \end{bmatrix} \right) \longrightarrow L_{xy} : (x, y) = O_{xy} - d^3 e^2 (de, c) + t(c, -de), t \in R.$$

V eksplisitivni obliki je enačba za premico vodnico

$$L_{xy} : y = -\frac{de}{c} \cdot x - \frac{1}{bc}(c^2 + bc^2 d^3 e^2 + bd^5 e^4).$$

Kot vidimo, gorišče in premica vodnica nimata lepih predpisov, vendar je po eni strani ta metoda precej bolj zanimiva kot pretvorba kvartične enačbe na enačbe nižje stopnje in reševanje z običajno Lillovo metodo.

lahko daš še slikovni primer (slika 4 iz istega vira) poleg konkretne enačbe, samo zaokus. Sta pa slika 3 in slika 4 povezani med sabo, gre za iste podatke.

6.4 Alperinova rešitev

Za konec si pogledjmo še eno zelo enostavno metodo, ki nam rešuje kubične enačbe. Lahko bi jo opisali že pred razdelkom 6.2, vendar je zaradi rahle povezave s postopkom v prejšnjem razdelku zapišemo tu. Alperin v [1, str. 129] sicer namesto splošne kubične enačbe vzame zreducirano obliko $x^3 + cx + d = 0$ ⁸, za paraboli pa enačbi kot v prejšnjem razdelku pri reševanju kubične enačbe, vendar s spremenljivkami, pomnoženimi z $-1/2$:

- $\mathcal{P}_1 : \left(y - \frac{c}{2}\right)^2 = 2dx$ z goriščem v točki $(\frac{d}{2}, \frac{c}{2})$ in premico vodnico $x = -\frac{d}{2}$ in
- $\mathcal{P}_2 : x^2 = 2x$ z goriščem v točki $(0, \frac{1}{2})$ in premico vodnico $y = -\frac{1}{2}$.

Avtor nato opravi Belochin pregib, ki gorišče vsake parabole položi na njeno premico vodnico in tako konstruira skupno tangento. Za njegovo enačbo obstaja le en tak pregib. **Zakaj, a je samo ena realna rešitev?** Sedan pa se ne poslužimo uporabe matrik kot v zgornjem postopku, temveč analitično izrazimo koeficient skupne tangente. Naj bo k iskani koeficient ter (x_0, y_0) točka tangentnosti na prvi in (x_1, y_1) točka tangentnosti na drugi paraboli. Iz enačbe prve parabole z implicitnim odvajanjem dobimo

$$2\left(y - \frac{c}{2}\right) \frac{dy}{dx} = 2d, \text{ torej } y_0 = \frac{d}{k} + \frac{c}{2} \text{ in } x_0 = \frac{\left(y_0 - \frac{c}{2}\right)^2}{2d} = \frac{d}{2k^2},$$

iz enačbe druge parabole pa

$$\frac{dy}{dx} = x, \text{ torej } x_1 = k \text{ in } y_1 = \frac{k^2}{2}.$$

Ko koordinate vstavimo še v klasično enačbo za koeficient premice skozi dve točki, dobimo

$$k = \frac{y_1 - y_0}{x_1 - x_0} = \frac{\frac{k^2}{2} - \frac{d}{k} - \frac{c}{2}}{k - \frac{d}{2k^2}}.$$

Enačbo poenostavimo in res dobimo $k^3 + ck + d = 0$, torej je koeficient skupne tangente rešitev izvirne zreducirane kubične enačbe.

⁸V splošno kubično enačbo $x^3 + bx^2 + cx + d = 0$ vpeljemo novo spremenljivko $z = x - (1/3)b$. Bralec lahko za vajo izračuna, da s tem dobimo splošno kubično enačbo za z brez kvadratnega člena.

7 Alhazenov problem

Vir: članek od mentorja in tudi [22, str. 137–139].

Problem se prevede na iskanje elipse, ki je tangentna na dano krožnico in ima uni dve točki za gorišče. Zaenkrat ta tema ni povezana s tem, kar smo do zdaj delali, bom videla, ali jo vključim ali ne.

8 Origami konstrukcije z več hkratnimi prepogibi

Kvartična enačba (str. 386, https://www.researchgate.net/publication/255578688_One_Two_and_Multi-Fold_Origami_Axioms#pf16)

Alperin, Lang, Lucero so neki delali, 2-fold origami za teve enačbe.

Kvintična enačba

petinjenje kota

9 Zaključek

Prepogibanje z enkratnimi pregibi, brez svinčnika. Znamo zrcalit, rotirati točke, prenašati razdalje (simulacija krožnice).

Origami konstrukcije so močnejše od evklidskih – medtem ko lahko z neoznačenim ravnilom in šestilom konstruiramo rešitve poljubne kvadratne enačbe z racionalnimi koeficienti (oz. poljubna števila oblike $a + b\sqrt{r}$; $a, b, r \in \mathbb{Q}$), zmoremo s prepogibanjem papirja poleg tega reševati še kubične in kvartične enačbe, tretjiniti poljubne kote, konstruirati tretje korene poljubnih origami-konstruktibilnih števil ter konstruirati N -kotnike za vsak N oblike $2^i 3^j (2^k 3^l + 1)$, kjer je število v oklepaju praštevilo. Zaslugo za nadvlado origamija nad evklidskim orodjem ima Belochin pregib, ki edina od origami operacij ne more biti konstruirana z neoznačenim ravnilom in šestilom.

Zelo didaktičen pripomoček za popestritev pouka in pokazat, kako se matematiki skriva v malih stvareh, kako jo opaziti, kako sam izpeljati stvari, raziskovati, kako konstrukcija deluje (preko podvprašanj ipd. kot ima hull2013).

The Influence of Origami on mathematics Study by Yutian Wong (script.org) ima lepe misli in zaključek, lohk kej ponucaš. Maš to na telefonu v enem zavihku.

Literatura

- [1] R. C. Alperin, *A mathematical theory of origami constructions and numbers*, New York Journal of Mathematics **6** (2000) 119–133, dostopno na <https://nyjm.albany.edu/j/2000/6-8.pdf>.
- [2] R. F. Amir Fathi Pooya Mobadersany, *A simple method to solve quartic equations*, Australian Journal of Basic and Applied Sciences **6**(6) (2012) 331–336.
- [3] J. S. B. Carter Edwards, *Folding quartic roots*, Mathematics Magazine **74**(1) (2001) 19–25.
- [4] D. J. Struik, *Kratka zgodovina matematike* (ur. C. Velkovrh), prev. T. Bohte, Društvo matematikov, fizikov in astronomov SR Slovenije, Ljubljana, 1986.
- [5] W. contributors, *Quartic equation – Wikipedia, The Free Encyclopedia*, 2024, dostopno na https://en.wikipedia.org/w/index.php?title=Quartic_equation&oldid=1262196167.
- [6] R. Geretschläger, *Euclidean constructions and the geometry of origami*, Mathematics Magazine **68**(5) (1995) 357–371, dostopno na <http://www.jstor.org/stable/2690924>.
- [7] R. Geretschläger, *Euclidean constructions and the geometry of origami*, Mathematics Magazine **68**(5) (1995) 357–371, [ogled 29.12.2024], dostopno na <http://www.jstor.org/stable/2690924>.
- [8] A. M. Gleason, *Angle trisection, the heptagon, and the triskaidecagon*, The American Mathematical Monthly **95**(3) (1988) 185–194.
- [9] K. Haga, *Origamics: mathematical explorations through paper folding*, World Scientific Publishing Co. Pte. Ltd., 2008.
- [10] K. Hatori, *Origami Construcions*, 2003, dostopno na <https://origami.ousaan.com/library/conste.html>.
- [11] T. L. Heath, *The thirteen books of euclid's elements, Vol. 1 (books i and ii)*, Dover Publications, Inc., 1956.
- [12] T. C. Hull, *Origametry: mathematical methods in paper folding*, Cambridge University Press, 2020, dostopno na <https://books.google.si/books?id=LdX7DwAAQBAJ>.
- [13] T. C. Hull, *Project origami: activities for exploring matmehatics – second edition*, Taylor & Francis Group, 2013.
- [14] T. C. Hull, *Solving cubics with creases: the work of beloch and lill*, The American Mathematical Monthly **118**(4) (2011) 307–315.
- [15] M. Jerman, *O konstrukcijah z ravnilom in šestilom*, Obzornik za matematiko in fiziko **3**(45) (1998) 73–78.
- [16] R. J. Lang, *British origami*, Four Problems **132**(3) (1988) 7–11.

- [17] R. J. Lang, *Origami and geometric constructions*, v: 2013, dostopno na https://langorigami.com/wp-content/uploads/2015/09/origami_constructions.pdf.
- [18] P. Lavrič, *Hagovi izreki za srebrne pravokotnike*, 2013, dostopno na http://pefprints.pef.uni-lj.si/1534/1/Hagovi_izreki_za_srebrne_pravokotnike_PetraLavric.pdf.
- [19] E. Lill, *Résolution graphique des equations numériques d'un degré quelconque à une inconnue*, Nouvelles Annales de Mathématiques **6**(2) (1867) 359–362.
- [20] A. J. Lotka, *Construction of conic sections by paper-folding*, School Science and Mathematics **7**(7) (1907) 595–597.
- [21] S. Maraž, T. Božič in M. Torkar, *ORIGAMIKA: Matematično raziskovanje enakostraničnega trikotnika s prepogibanjem papirja*, raziskovalna naloga, 2016.
- [22] G. E. Martin, *Geometric constructions*, Springer New York, 1997.
- [23] P. Messer, *Problem 1054*, Crux Mathematicorum **12**(10) (1986) 284–285, dostopno na https://cms.math.ca/wp-content/uploads/crux-pdfs/Crux_v12n10_Dec.pdf.
- [24] M. Mrinal, *Galois theory and the abel-ruffini theorem*, v: 2019, dostopno na <https://math.uchicago.edu/~may/REU2019/REUPapers/Mrinal.pdf>.
- [25] N. Robinson, *History of origami*, 2024, dostopno na <https://www.britannica.com/art/origami/History-of-origami>.
- [26] M. Hvidsten, *Geometry with geometry explorer* (ur. R. E. Ross), The McGraw-Hill Companies, Inc, 2005.
- [27] S. G. Smith, *Paper folding and conic sections*, The Mathematics Teachers **96**(3) (2003) 202–207.
- [28] C. R. Videla, *On points constructible from conics*, The Mathematical Intelligencer **19**(2) (1997).
- [29] Wikipedia contributors, *Envelope (mathematics)* — *Wikipedia, The Free Encyclopedia*, 2024, dostopno na [https://en.wikipedia.org/w/index.php?title=Envelope_\(mathematics\)&oldid=1223619712](https://en.wikipedia.org/w/index.php?title=Envelope_(mathematics)&oldid=1223619712).
- [30] T. S. Row, *Geometric exercises in paper folding* (ur. D. E. S. Wooster WOoodruff Beman), The Open Court Publishing Company, 1917, dostopno na <https://ia800907.us.archive.org/7/items/tsundararowsgeo00rowrich/tsundararowsgeo00row.pdf>.
- [31] T. Zore, *Origami geometrija*, 2022, dostopno na http://pefprints.pef.uni-lj.si/7209/1/Origami_geometrija_-_Tja%C5%A1a_Zore.pdf.